

LHCb

Wat doen wij?



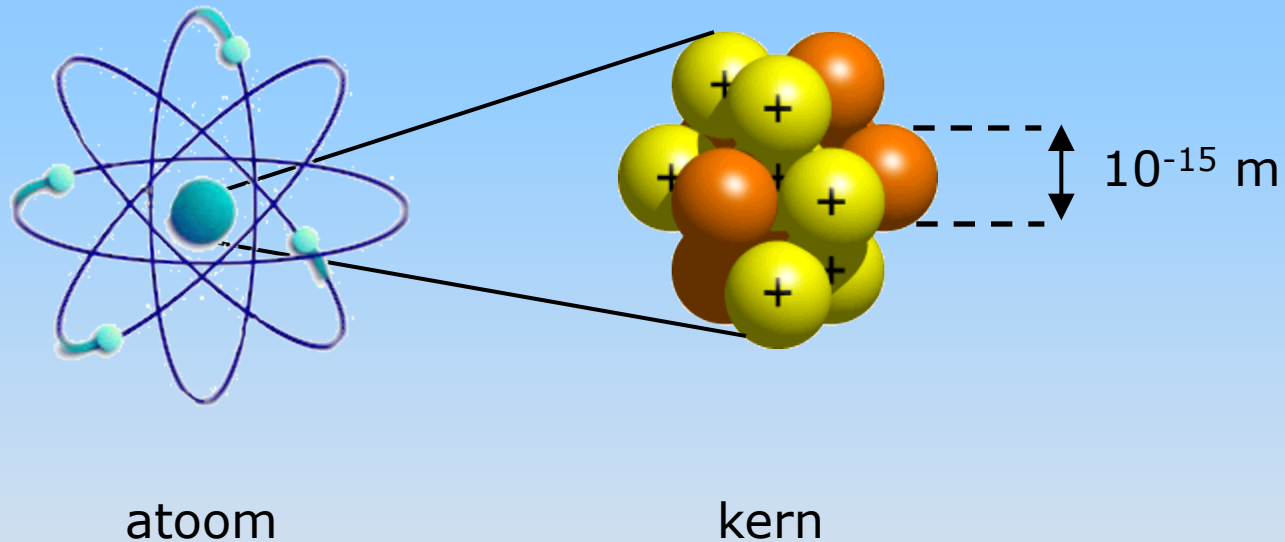
Niels Tuning – 27 sep 2019

LHCb

- Waarom deeltjesfysica?
- Waarom LHCb?
- Resultaten
- Higgs en LHCb

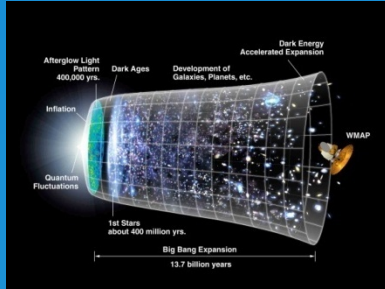
Deeltjesfysica

Bestudeert de natuur op afstanden $< 10^{-15}$ m



Quantum theorie beschrijft alle metingen tot 10^{-18} m
(Ter vergelijik: 10^{+18} m = 100 lichtjaar)

Machten van tien ...



Heelal
 10^{26} m



Melkweg
 10^{21} m



Zonnestelsel
 10^{13} m

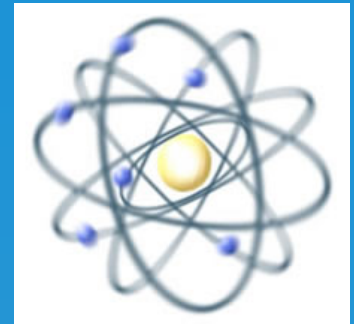


Aarde
 10^7 m

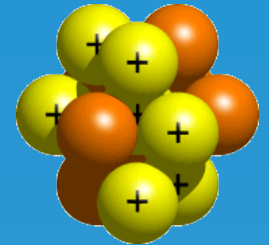
Spin
 10^{-2} m



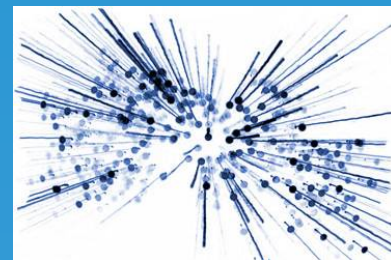
Atoom
 10^{-10} m



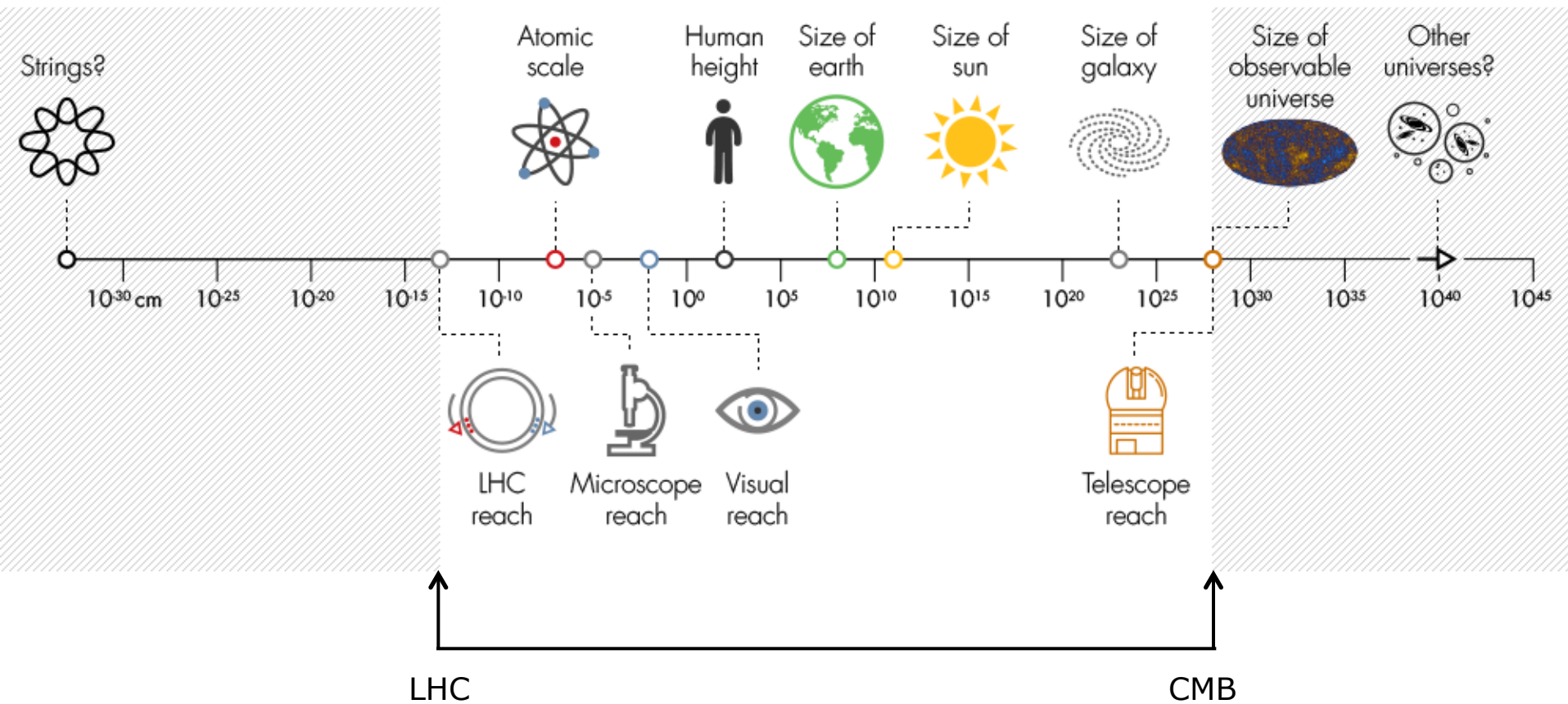
Kern
 10^{-15} m



Botsingen
 10^{-18} m



Schaal

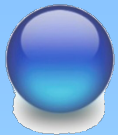


De stand van zaken in 2019



[http:// pdg.lbl.gov](http://pdg.lbl.gov)

De elementaire deeltjes



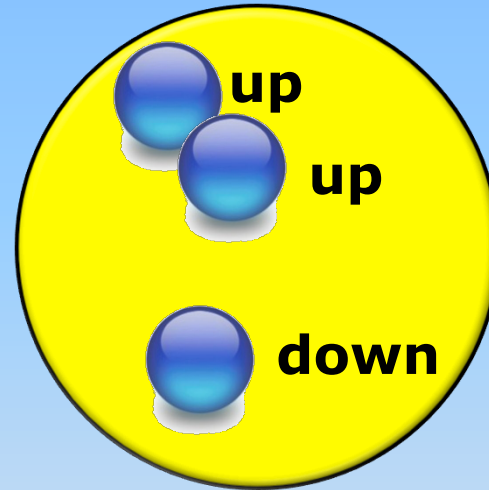
up



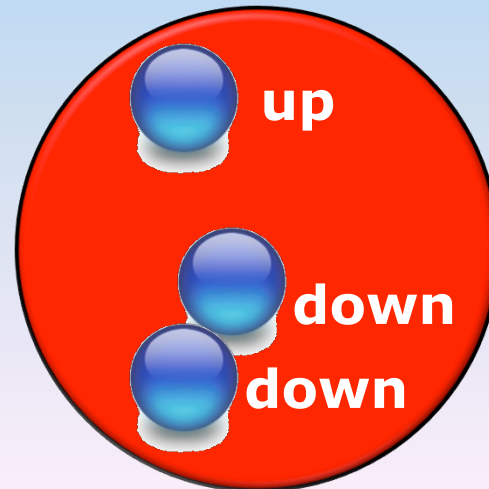
down



elektron



Proton



Neutron

De elementaire deeltjes

Niet één serie, maar drie!

I

II

III

quarks

u

c

t

(1976)

(1995)

d

s

b

(1947)

(1978)

leptons

e

μ

τ

(1895)

(1936)

(1973)

ν_e

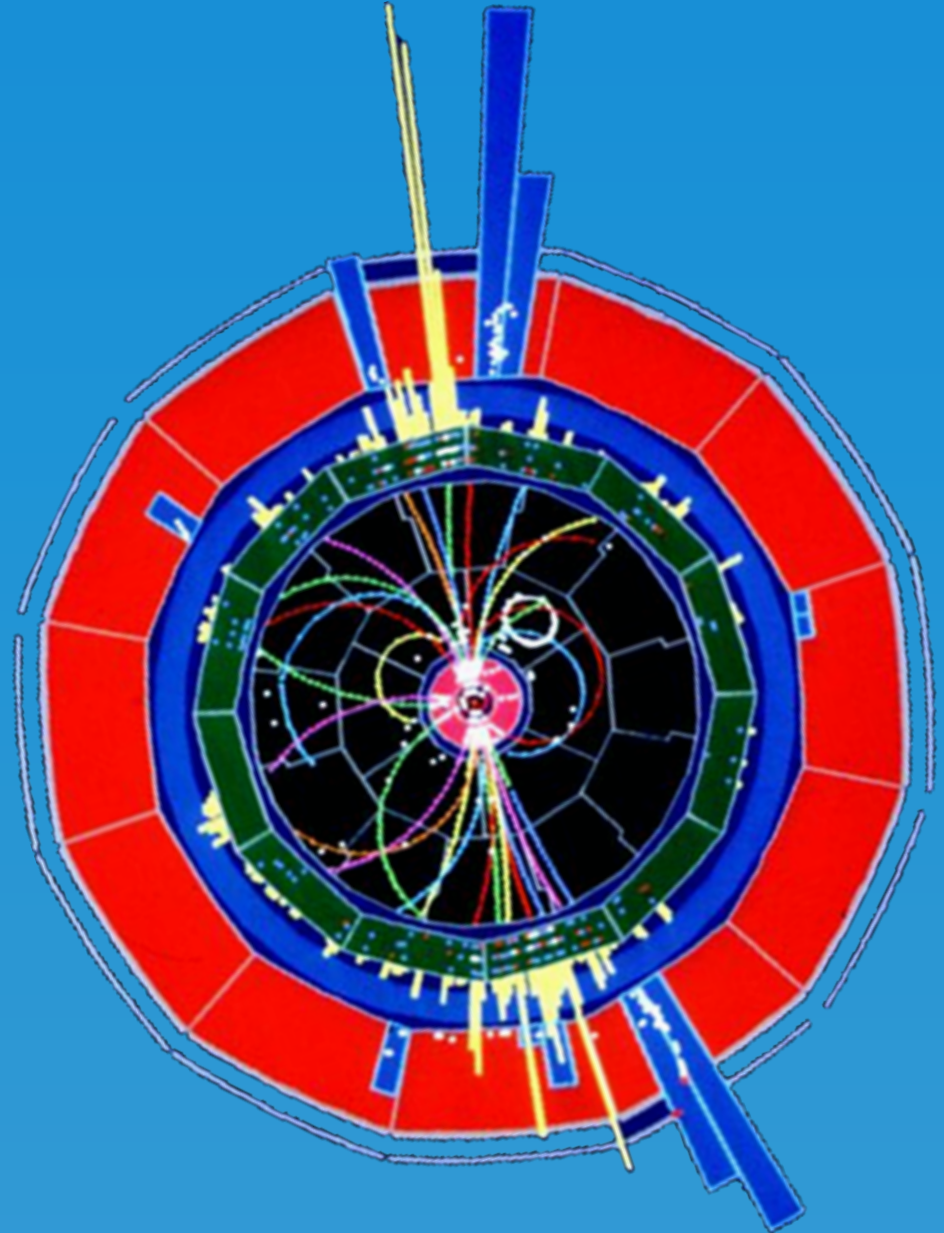
ν_μ

ν_τ

(1956)

(1963)

(2000)



De elementaire deeltjes

Generatie:

I

II

III

Lading

quarks

u

c

t

$+2/3 e$

(1976)

(1995)

d

s

b

$-1/3 e$

(1947)

(1978)

leptons

e

μ

τ

$-1 e$

(1895)

(1936)

(1973)

ν_e

ν_μ

ν_τ

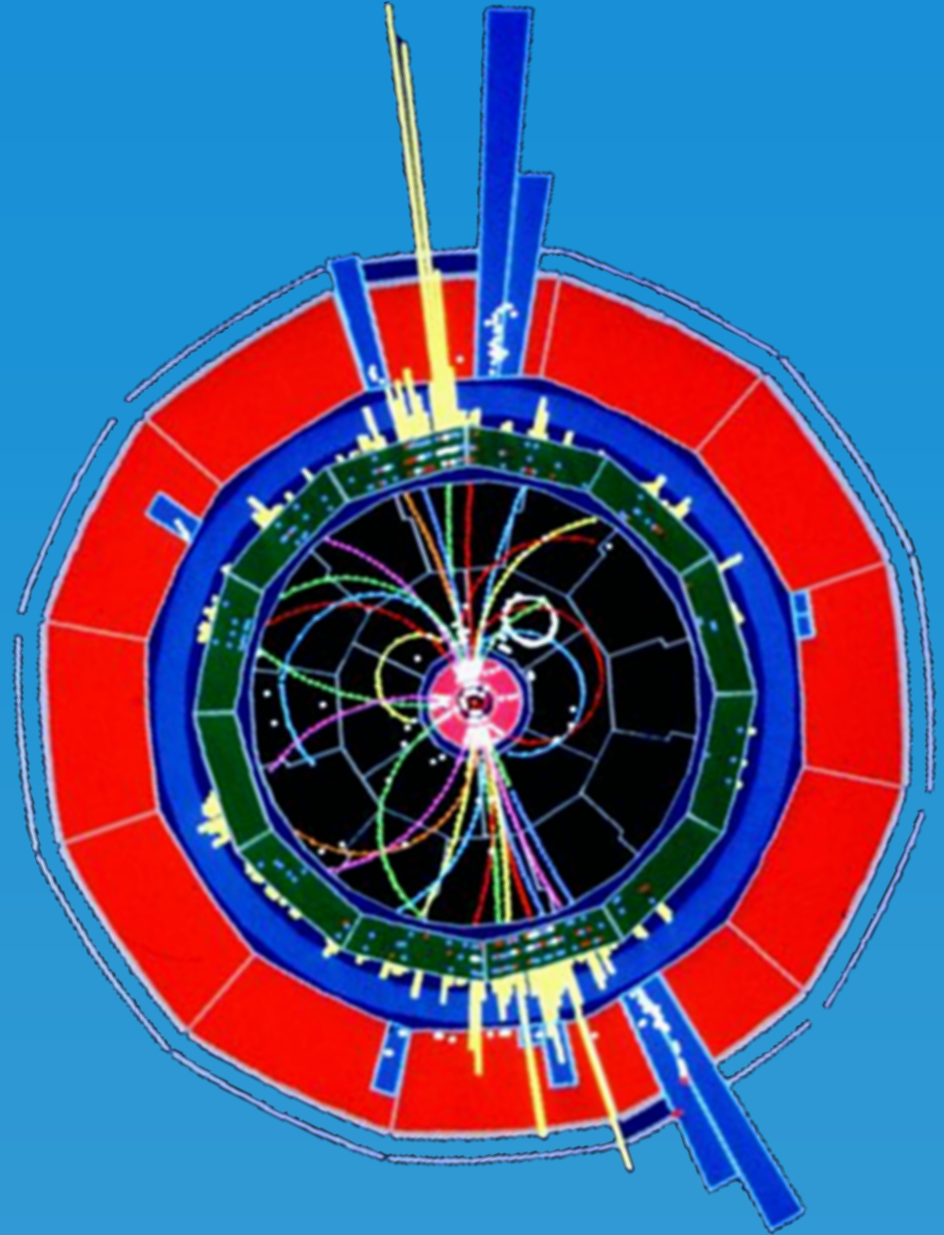
$0 e$

(1956)

(1963)

(2000)

Materie



Is dit alles?

Generatie:

I

II

III

Lading

quarks

u

c

t

+2/3 e

(1976)

(1995)

d

s

b

-1/3 e

(1947)

(1978)

leptons

e

μ

τ

-1 e

(1895)

(1936)

(1973)

ν_e

ν_μ

ν_τ

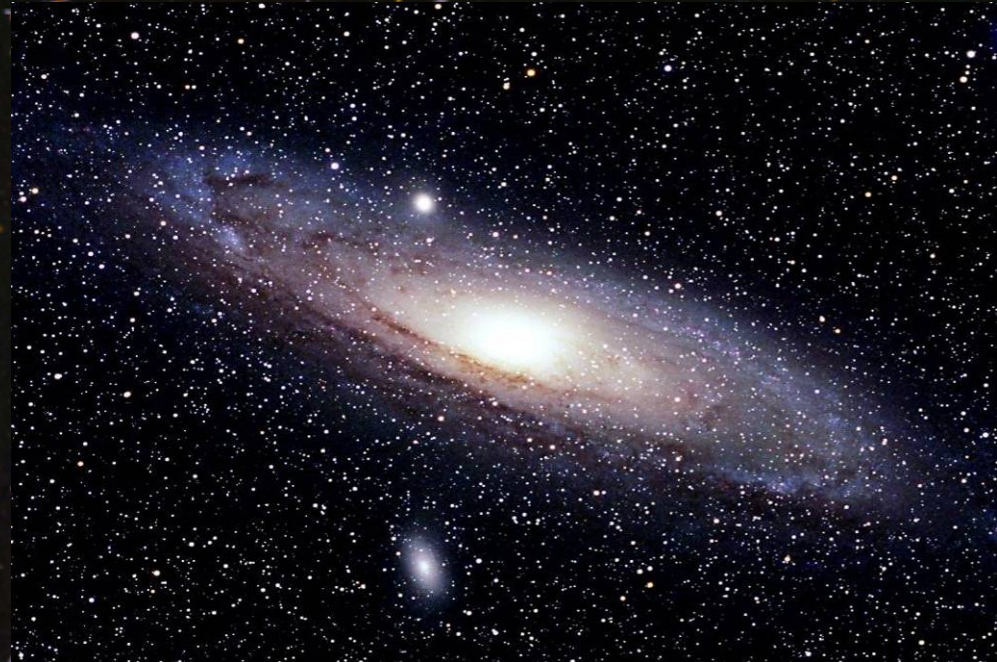
0 e

(1956)

(1963)

(2000)

Materie



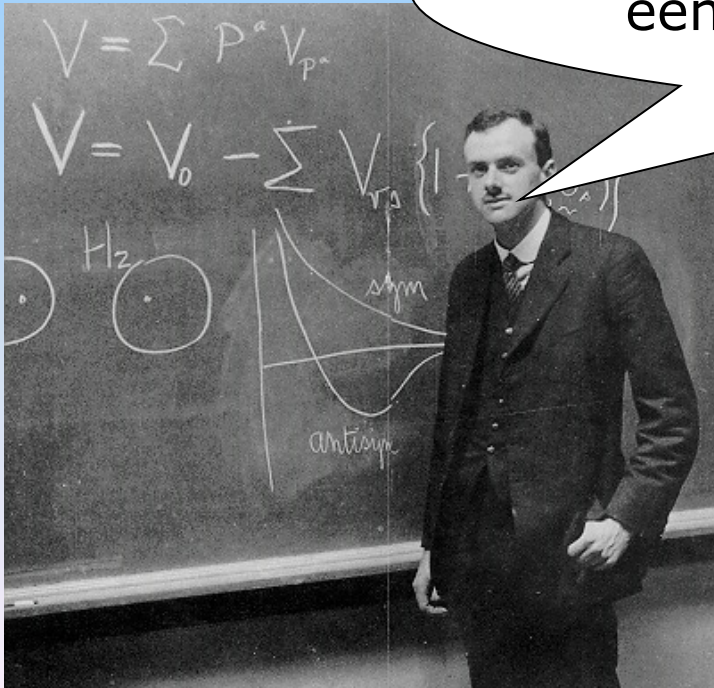
Anti-materie

Revoluties begin vorige eeuw:

- Relativiteitstheorie
- Quantum Mechanica

Paul Dirac (1928): relativistische quantum theorie!

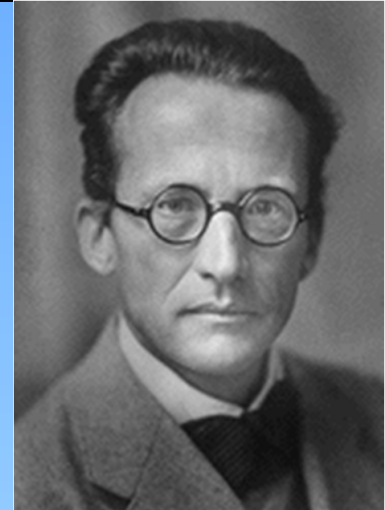
Voor elk materiedeeltje bestaat een anti-materiedeeltje!



Anti-materie deeltje:

- Zelfde massa
- Tegenovergestelde lading

Schrödinger



Klassiek verband tussen E and p :

$$E = \frac{\vec{p}^2}{2m}$$

Quantum mechanische substitutie:
(operator acting on wave function ψ)

$$E \rightarrow i \frac{\partial}{\partial t} \quad \text{and} \quad \vec{p} \rightarrow -i \vec{\nabla}$$

Schrodinger vergelijking:

$$i \frac{\partial}{\partial t} \psi = \frac{-1}{2m} \nabla^2 \psi$$

Oplossing:

$$\psi = N e^{i(\vec{p}\vec{x} - Et)}$$

•(show it is a solution)

Klein-Gordon

Relativistisch verband tussen E and p:

$$E^2 = \vec{p}^2 + m^2$$

Quantum mechanische substitutie:
(operator acting on wave function ψ)

$$E \rightarrow i \frac{\partial}{\partial t} \quad \text{and} \quad \vec{p} \rightarrow -i \vec{\nabla}$$

Klein Gordon vergelijking:

$$-\frac{\partial^2}{\partial t^2} \phi = -\nabla^2 \phi + m^2 \phi$$

$$\begin{aligned} \text{or :} \quad & (\square + m^2) \phi(x) = 0 \\ \text{or :} \quad & (\partial_\mu \partial^\mu + m^2) \phi(x) = 0 \end{aligned}$$

Oplossing:

$$\phi(x) = N e^{-ip_\mu x^\mu}$$

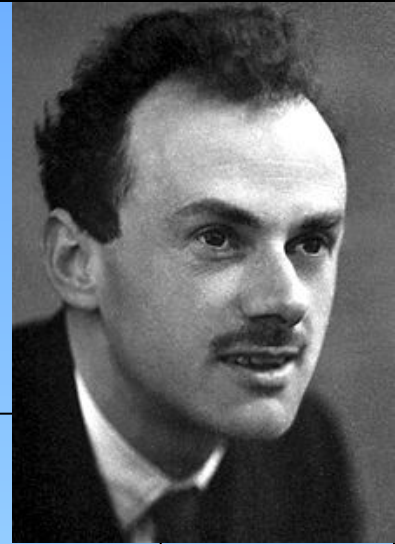
$$E^2 = \vec{p}^2 + m^2$$

Maar: negatieve energie oplossing?

$$E = \pm \sqrt{\vec{p}^2 + m^2}$$



Dirac



Paul Dirac zocht een vergelijking, die

- relativistisch correct is,
- Maar lineair in d/dt om negatieve energie te vermijden
- (en lineair in d/dx (or ∇) vanwege Lorentz covariantie)

Hij vond een vergelijking, die

- spin-1/2 deeltjes bleek te beschrijven en
- het bestaan van anti-deeltjes voorspelde

Dirac

➤ How to find that relativistic, linear equation ??

Write Hamiltonian in general form,

$$H\psi = (\vec{\alpha} \cdot \vec{p} + \beta m) \psi$$

but when squared, it must satisfy:

$$H^2\psi = (\vec{p}^2 + m^2) \psi$$

Let's find α_i and β !

$$\begin{aligned} H^2\psi &= (\alpha_i p_i + \beta m)^2 \psi \quad \text{with : } i = 1, 2, 3 \\ &= \left(\underbrace{\alpha_i^2}_{=1} p_i^2 + \underbrace{(\alpha_i \alpha_j + \alpha_j \alpha_i)}_{=0 \quad i>j} p_i p_j + \underbrace{(\alpha_i \beta + \beta \alpha_i)}_{=0} p_i m + \underbrace{\beta^2}_{=1} m^2 \right) \psi \end{aligned}$$

So, α_i and β must satisfy:

- $\alpha_1^2 = \alpha_2^2 = \alpha_3^2 = \beta^2$
- $\alpha_1, \alpha_2, \alpha_3, \beta$ anti-commute with each other
- (not a unique choice!)

Dirac

$$H\psi = (\vec{\alpha} \cdot \vec{p} + \beta m) \psi$$

➤ What are α and β ??

- The lowest dimensional matrix that has the desired behaviour is 4x4 !?

$$\vec{\alpha} = \begin{pmatrix} 0 & \vec{\sigma} \\ \vec{\sigma} & 0 \end{pmatrix} \quad ; \quad \beta = \begin{pmatrix} I & 0 \\ 0 & -I \end{pmatrix}$$

- Often used
- Pauli-Dirac representation:

- with:
$$\sigma_1 = \begin{pmatrix} 0 & 1 \\ 1 & 0 \end{pmatrix} \quad ; \quad \sigma_2 = \begin{pmatrix} 0 & -i \\ i & 0 \end{pmatrix} \quad ; \quad \sigma_3 = \begin{pmatrix} 1 & 0 \\ 0 & -1 \end{pmatrix}$$

So, α_i and β must satisfy:

- $\alpha_1^2 = \alpha_2^2 = \alpha_3^2 = \beta^2$
- $\alpha_1, \alpha_2, \alpha_3, \beta$ anti-commute with each other
- (not a unique choice!)

Dirac

$$H\psi = (\vec{\alpha} \cdot \vec{p} + \beta m) \psi$$

Usual substitution:

$$H \rightarrow i\frac{\partial}{\partial t}, \vec{p} \rightarrow -i\vec{\nabla}$$

Leads to:

$$i\frac{\partial}{\partial t}\psi = (-i\vec{\alpha} \cdot \vec{\nabla} + \beta m) \psi$$

Multiply by β :

$$\left(i\beta\frac{\partial}{\partial t}\psi + i\beta\alpha_1\frac{\partial}{\partial x} + i\beta\alpha_2\frac{\partial}{\partial y} + i\beta\alpha_3\frac{\partial}{\partial z} \right) \psi - m\psi = 0 \quad \bullet(\beta^2=1)$$

Gives the famous Dirac equation:

$$(i\gamma^\mu\partial_\mu - m) \psi = 0$$

with : $\gamma^\mu = (\beta, \beta\vec{\alpha}) \equiv$ Dirac γ -matrices

$$\text{for each } j=1,2,3,4 : \sum_{k=1}^4 \left[\sum_{\mu=0}^3 i(\gamma^\mu)_{jk} \partial_\mu - m\delta_{jk} \right] (\psi_k) = 0$$

Dirac

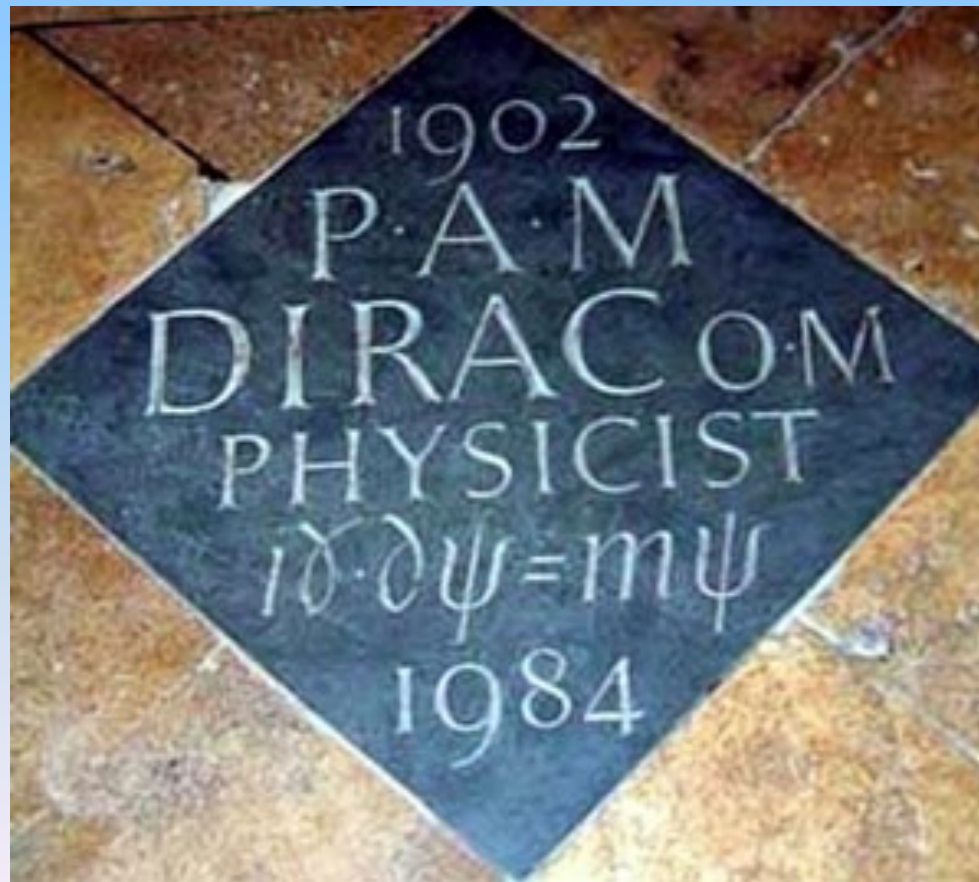
$$H\psi = (\vec{\alpha} \cdot \vec{p} + \beta m) \psi$$

The famous Dirac equation:

$$(i\gamma^\mu \partial_\mu - m) \psi = 0$$

with : $\gamma^\mu = (\beta, \beta\vec{\alpha}) \equiv$ Dirac γ -matrices

R.I.P. :



Dirac vergelijking

Schrödinger equation

- Time-dependence of wave function

$$E = \frac{\vec{p}^2}{2m}$$

$$i \frac{\partial}{\partial t} \psi = \frac{-1}{2m} \nabla^2 \psi$$

Klein-Gordon equation

- Relativistic equation of motion of scalar particles

$$E^2 = \vec{p}^2 + m^2$$

$$-\frac{\partial^2}{\partial t^2} \phi = -\nabla^2 \phi + m^2 \phi$$

Dirac equation

- Relativistically correct, and linear
- Equation of motion for spin-1/2 particles
- Prediction of anti-matter

$$(i\gamma^\mu \partial_\mu - m) \psi = 0$$



$$\psi = \begin{pmatrix} \psi_1 \\ \psi_2 \\ \psi_3 \\ \psi_4 \end{pmatrix}$$

De elementaire deeltjes

	I	II	III	<u>Lading</u>
quarks	u	c (1976)	t (1995)	$+2/3 e$
	d	s (1947)	b (1978)	$-1/3 e$
leptons	e (1895)	μ (1936)	τ (1973)	$-1 e$
	ν_e (1956)	ν_μ (1963)	ν_τ (2000)	$0 e$

Materie

De elementaire deeltjes

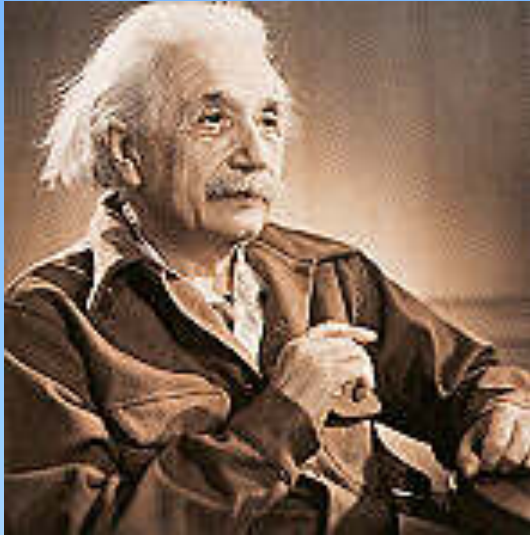
	I	II	III	<u>Lading</u>
quarks	u	c (1976)	t (1995)	$+2/3 e$
	d	s (1947)	b (1978)	$-1/3 e$
leptons	e (1895)	μ (1936)	τ (1973)	$-1 e$
	ν_e (1956)	ν_μ (1963)	ν_τ (2000)	$0 e$

Materie

<u>Lading</u>	I	II	III
$-2/3 e$	\bar{u}	\bar{c}	\bar{t}
$+1/3 e$	\bar{d}	\bar{s}	\bar{b}
$+1 e$	\bar{e}	$\bar{\mu}$	$\bar{\tau}$
$0 e$	$\bar{\nu}_e$	$\bar{\nu}_\mu$	$\bar{\nu}_\tau$

Anti-materie

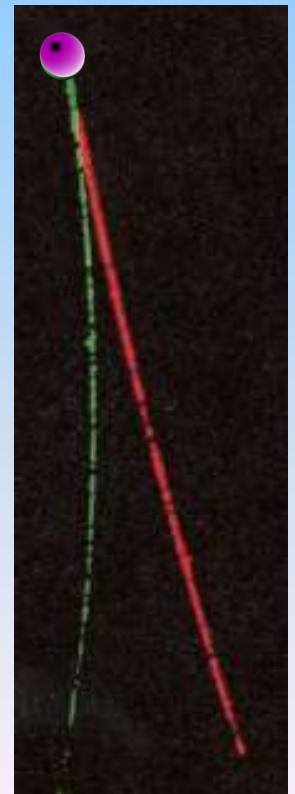
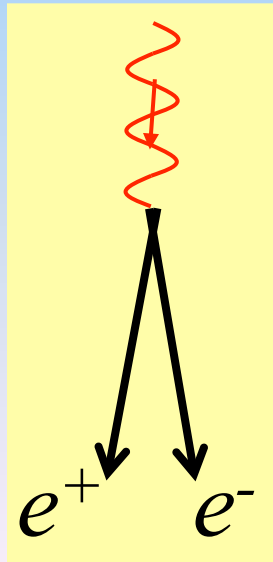
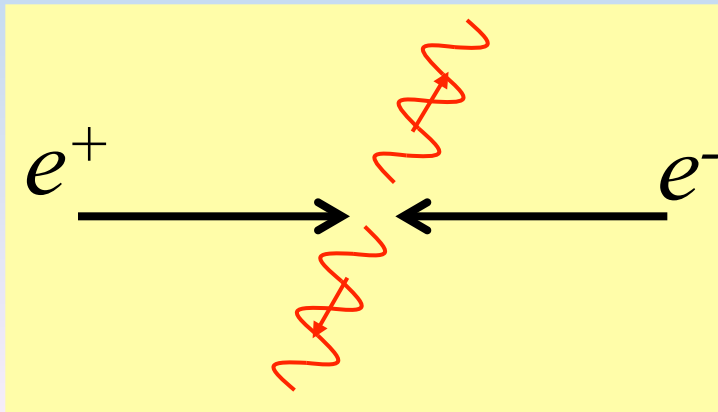
Hoe maak je anti-materie??



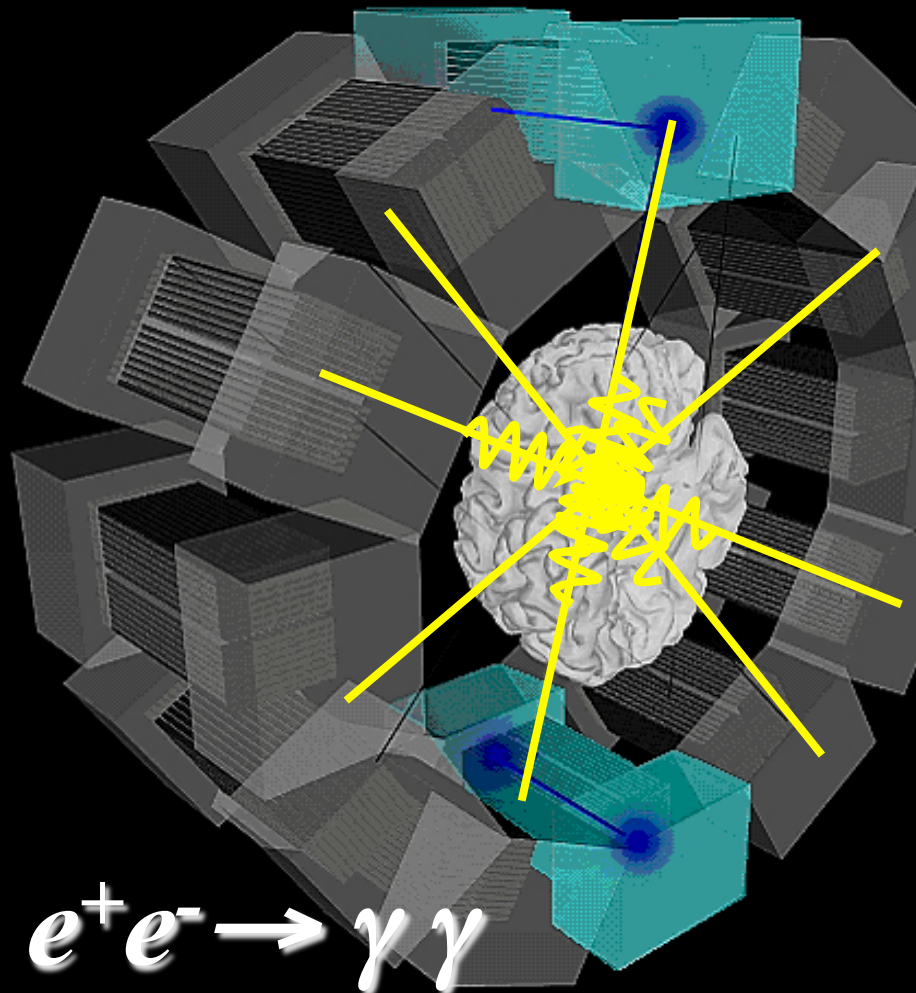
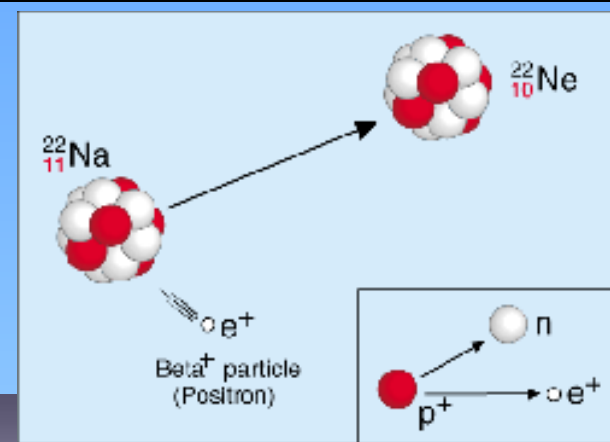
Albert Einstein:
 $E=mc^2$

materie + antimaterie = licht !

(en vice versa)



Anti-materie in ziekenhuizen: de PET-scan



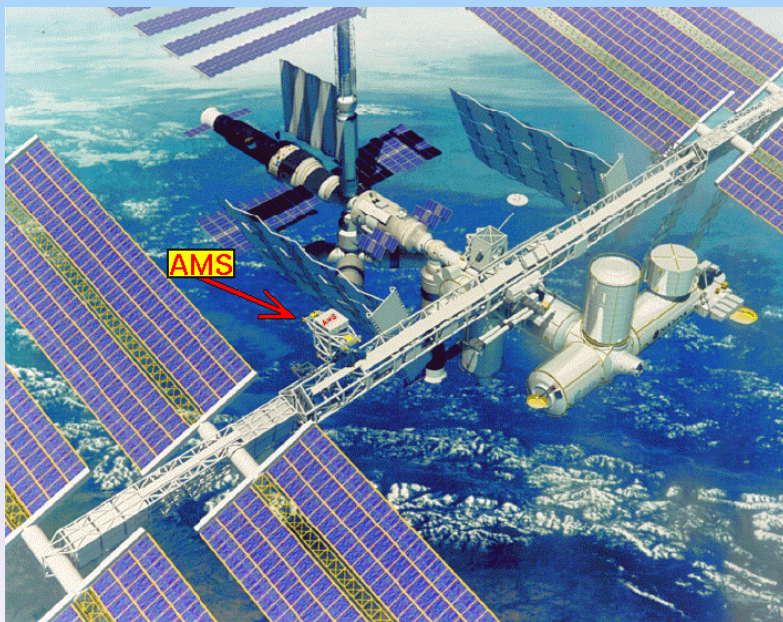
Wat snappen we nog niet:



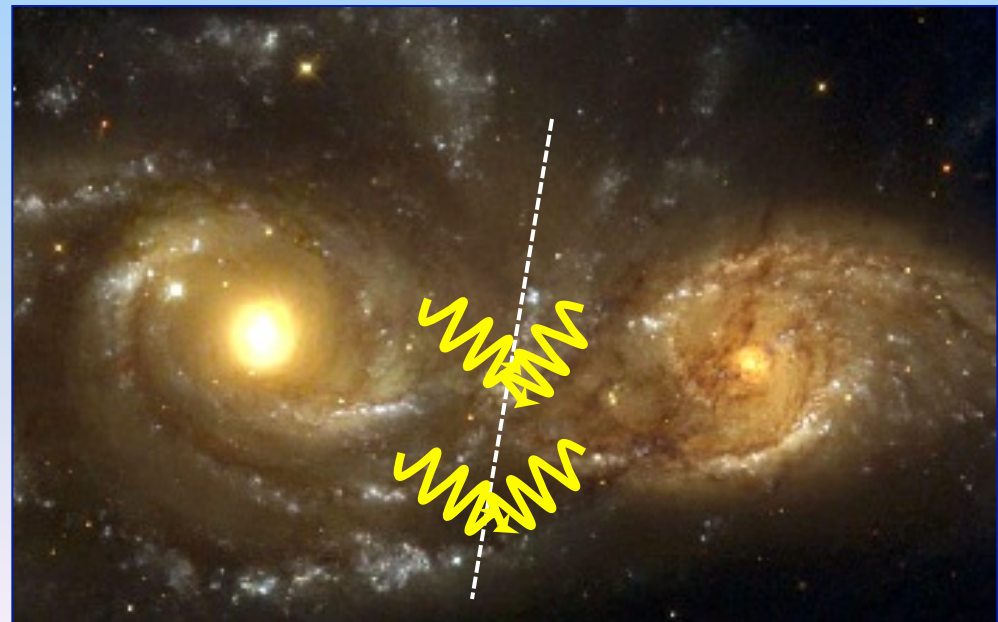
I. Wat snappen we nog niet? “*Anti-materie*”

Waar is de anti-materie gebleven?

*Geen anti-materie
met satellieten*



*Geen anti-materie
sterrenstelsels*



II. Wat snappen we nog niet? “Higgs”

(Gedeeltelijk beantwoord op 4 juli 2012 !)

Massa van deeltjes



Bijzondere voorspelling:

Het Higgs boson:

zorgt ervoor dat deeltjes massa kunnen hebben in de theorie

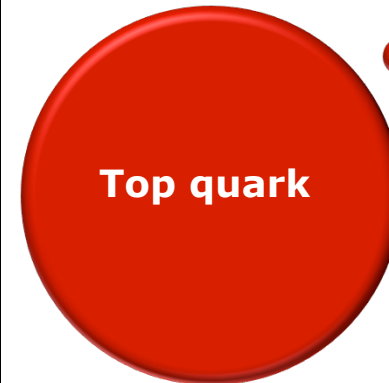
Neutrino's

- Elektron
- Muon
- Tau



up, down, strange

charm

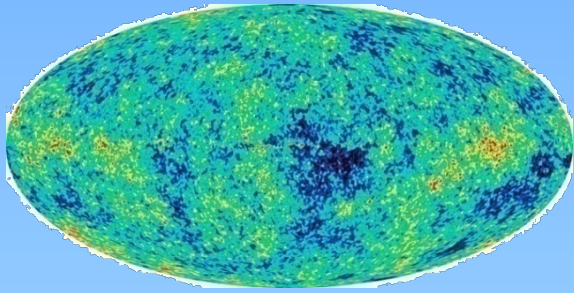


Top quark

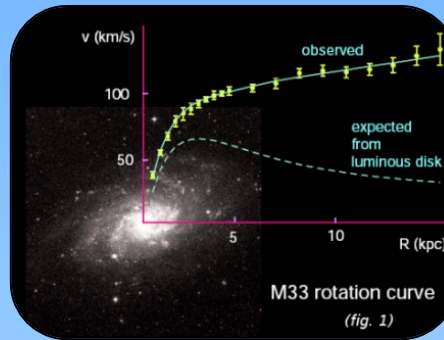


bottom

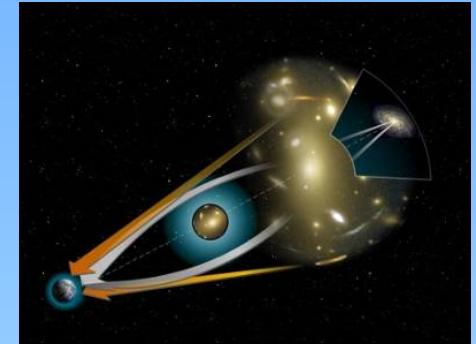
III. Wat snappen we nog niet? “*Donkere materie*”



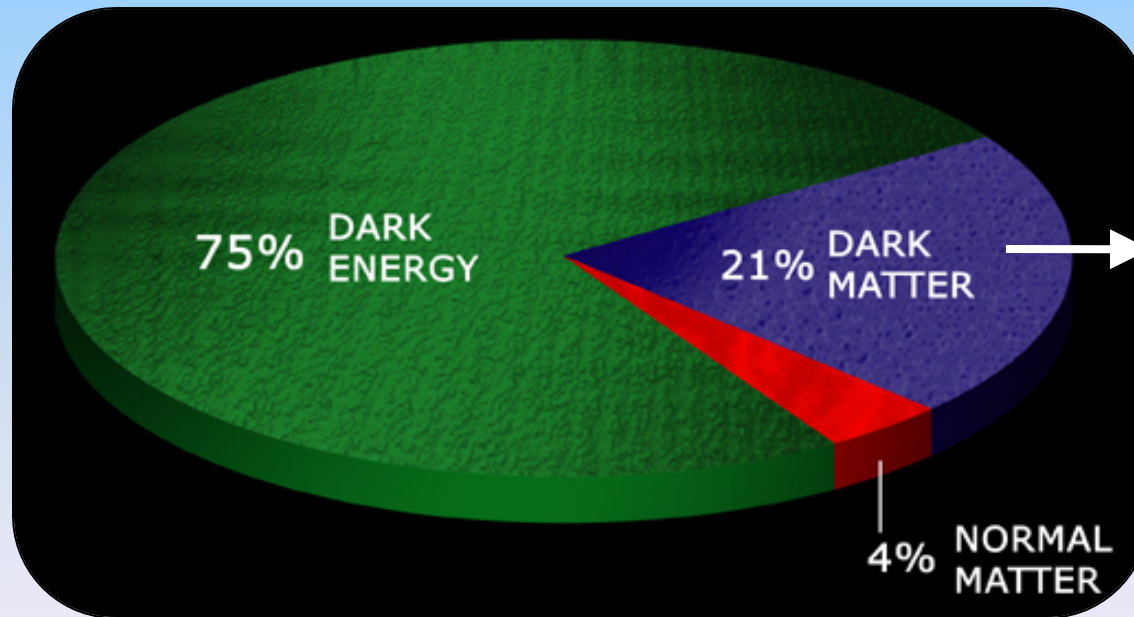
Temperatuurfluctuaties
structuur van het heelal



Rotatie-curves



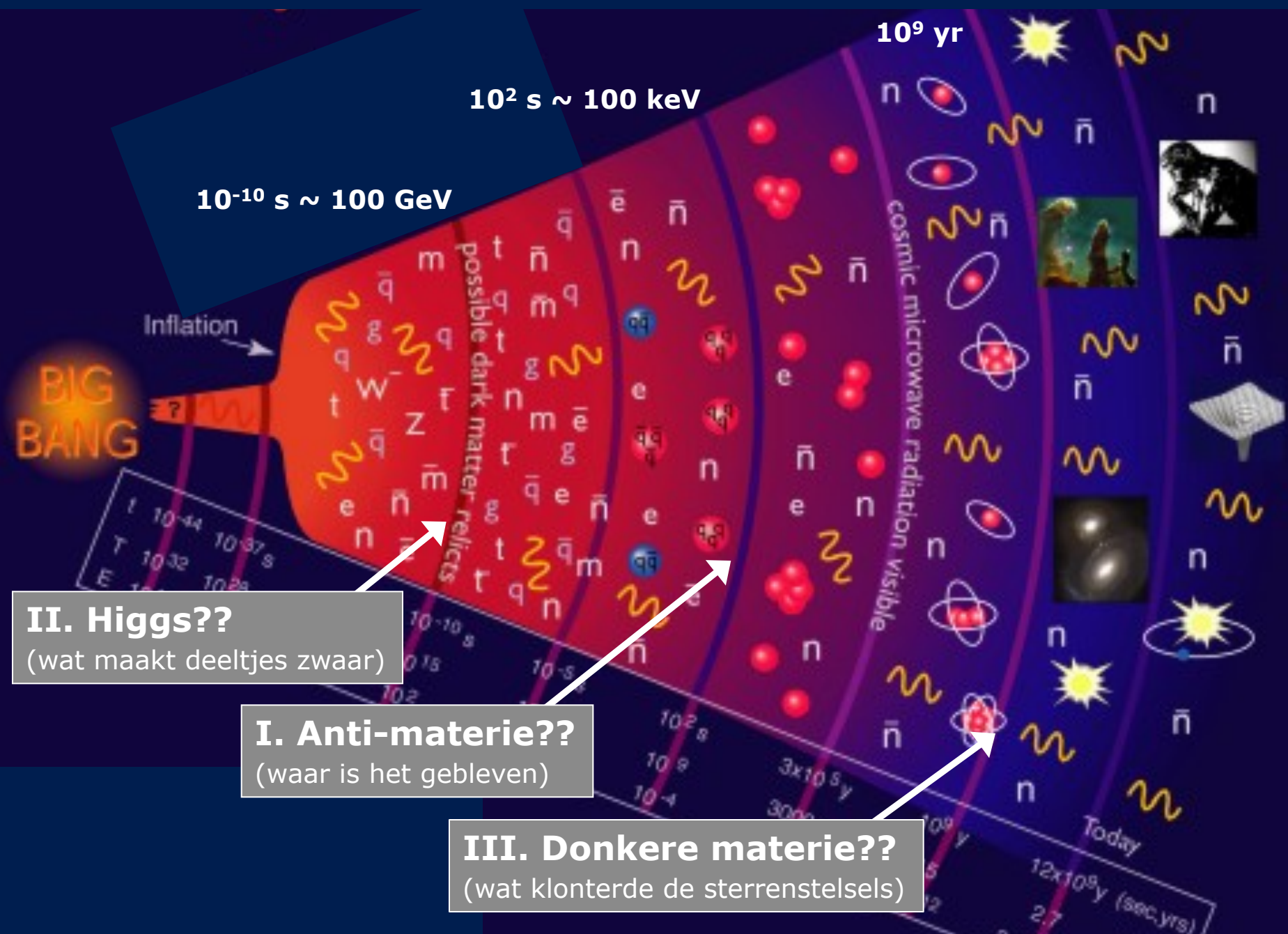
Gravitationele lens



Wat is de
donkere materie ?

We hebben al die tijd maar 4% van het heelal bestudeerd!

Wat snappen we niet? Drie Grote Vragen



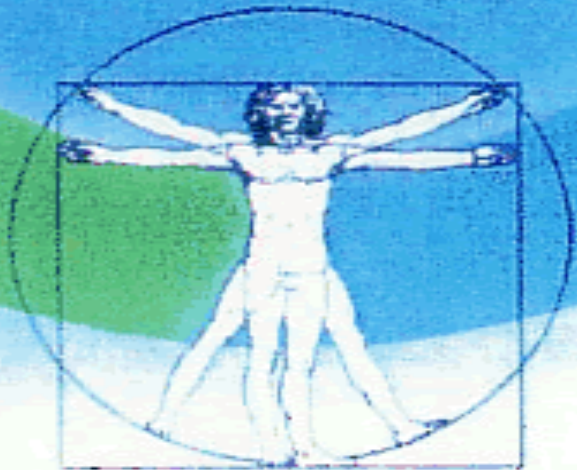
Astronomie

Deeltjes
fysica

Fundamenteel

(nieuwsgierigheid gedreven)

onderzoek



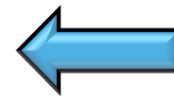
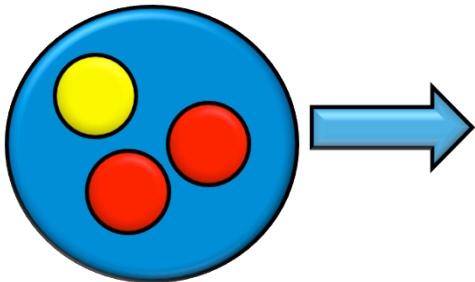




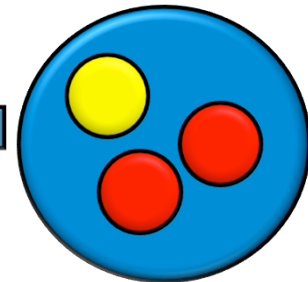
Klassiek botsen

Quantummechanisch botsen

proton



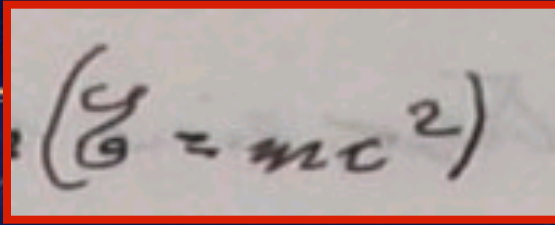
proton



Wat verwacht je ?

$$\begin{aligned} & -\frac{1}{2}\partial_\nu g_\mu^a \partial_\nu g_\mu^a - g_s f^{abc} \partial_\mu g_\nu^a g_\mu^b g_\nu^c - \frac{1}{4}g_s^2 f^{abc} f^{ade} g_\mu^b g_\nu^c g_\mu^d g_\nu^e + \\ & \frac{1}{2}ig_s^2 (\bar{q}_i^\sigma \gamma^\mu q_j^\sigma) g_\mu^a + \bar{G}^a \partial^2 G^a + g_s f^{abc} \partial_\mu G^a G^b g_\mu^c - \partial_\nu W_\mu^+ \partial_\nu W_\mu^- - \\ & M^2 W_\mu^+ W_\mu^- - \frac{1}{2}\partial_\nu Z_\mu^0 \partial_\nu Z_\mu^0 - \frac{1}{2c_w^2} M^2 Z_\mu^0 Z_\mu^0 - \frac{1}{2}\partial_\mu A_\nu \partial_\mu A_\nu - \frac{1}{2}\partial_\mu H \partial_\mu H - \\ & \frac{1}{2}m_h^2 H^2 - \partial_\mu \phi^+ \partial_\mu \phi^- - M^2 \phi^+ \phi^- - \frac{1}{2}\partial_\mu \phi^0 \partial_\mu \phi^0 - \frac{1}{2c_w^2} M \phi^0 \phi^0 - \beta_h \left[\frac{2M^2}{g^2} + \right. \\ & \left. \frac{2M}{g} H + \frac{1}{2}(H^2 + \phi^0 \phi^0 + 2\phi^+ \phi^-) \right] + \frac{2M^4}{g^2} \alpha_h - ig_{cw} [\partial_\nu Z_\mu^0 (W_\mu^+ W_\nu^- - \\ & W_\nu^+ W_\mu^-) - Z_\nu^0 (W_\mu^+ \partial_\nu W_\mu^- - W_\mu^- \partial_\nu W_\mu^+) + Z_\mu^0 (W_\nu^+ \partial_\nu W_\mu^- - \\ & W_\nu^- \partial_\nu W_\mu^+) - ig_{sw} [\partial_\nu A_\mu (W_\mu^+ W_\nu^- - W_\nu^+ W_\mu^-) - A_\nu (W_\mu^+ \partial_\nu W_\mu^- - \\ & W_\mu^- \partial_\nu W_\mu^+) + A_\mu (W_\nu^+ \partial_\nu W_\mu^- - W_\nu^- \partial_\nu W_\mu^+)] - \frac{1}{2}g^2 W_\mu^+ W_\mu^- W_\nu^+ W_\nu^- + \\ & \frac{1}{2}g^2 W_\mu^+ W_\nu^- W_\mu^+ W_\nu^- + g^2 c_w^2 (Z_\mu^0 W_\mu^+ Z_\nu^0 W_\nu^- - Z_\mu^0 Z_\mu^0 W_\nu^+ W_\nu^-) + \\ & g^2 s_w^2 (A_\mu W_\mu^+ A_\nu W_\nu^- - A_\mu A_\mu W_\nu^+ W_\nu^-) + g^2 s_w c_w [A_\mu Z_\nu^0 (W_\mu^+ W_\nu^- - \\ & W_\nu^+ W_\mu^-) - 2A_\mu Z_\mu^0 W_\nu^+ W_\nu^-] - g\alpha [H^3 + H\phi^0 \phi^0 + 2H\phi^+ \phi^-] - \\ & \frac{1}{8}g^2 \alpha_h [H^4 + (\phi^0)^4 + 4(\phi^+ \phi^-)^2 + 4(\phi^0)^2 \phi^+ \phi^- + 4H^2 \phi^+ \phi^- + 2(\phi^0)^2 H^2] - \\ & gMW_\mu^+ W_\mu^- H - \frac{1}{2}g \frac{M}{c_w^2} Z_\mu^0 Z_\mu^0 H - \frac{1}{2}ig[W_\mu^+ (\phi^0 \partial_\mu \phi^- - \phi^- \partial_\mu \phi^0) - \\ & W_\mu^- (\phi^0 \partial_\mu \phi^+ - \phi^+ \partial_\mu \phi^0)] + \frac{1}{2}g[W_\mu^+ (H \partial_\mu \phi^- - \phi^- \partial_\mu H) - W_\mu^- (H \partial_\mu \phi^+ - \\ & \phi^+ \partial_\mu H)] + \frac{1}{2}g \frac{1}{c_w} (Z_\mu^0 (H \partial_\mu \phi^0 - \phi^0 \partial_\mu H) - ig \frac{s_w^2}{c_w} M Z_\mu^0 (W_\mu^+ \phi^- - W_\mu^- \phi^+) + \\ & ig_{sw} M A_\mu (W_\mu^+ \phi^- - W_\mu^- \phi^+) - ig \frac{1-2c_w^2}{2c_w} Z_\mu^0 (\phi^+ \partial_\mu \phi^- - \phi^- \partial_\mu \phi^+) + \\ & ig_{sw} A_\mu (\phi^+ \partial_\mu \phi^- - \phi^- \partial_\mu \phi^+) - \frac{1}{4}g^2 W_\mu^+ W_\mu^- [H^2 + (\phi^0)^2 + 2\phi^+ \phi^-] - \\ & \frac{1}{4}g^2 \frac{1}{c_w^2} Z_\mu^0 Z_\mu^0 [H^2 + (\phi^0)^2 + 2(2s_w^2 - 1)^2 \phi^+ \phi^-] - \frac{1}{2}g^2 \frac{s_w^2}{c_w} Z_\mu^0 \phi^0 (W_\mu^+ \phi^- + \\ & W_\mu^- \phi^+) - \frac{1}{2}ig^2 \frac{s_w^2}{c_w} Z_\mu^0 H (W_\mu^+ \phi^- - W_\mu^- \phi^+) + \frac{1}{2}g^2 s_w A_\mu \phi^0 (W_\mu^+ \phi^- + \\ & W_\mu^- \phi^+) + \frac{1}{2}ig^2 s_w A_\mu H (W_\mu^+ \phi^- - W_\mu^- \phi^+) - g^2 \frac{s_w}{c_w} (2c_w^2 - 1) Z_\mu^0 A_\mu \phi^+ \phi^- - \\ & g^2 s_w^2 A_\mu A_\mu \phi^+ \phi^- - \bar{e}^\lambda (\gamma \partial + m_e^\lambda) e^\lambda - \bar{\nu}^\lambda \gamma \partial \nu^\lambda - \bar{u}_j^\lambda (\gamma \partial + m_u^\lambda) u_j^\lambda - \\ & \bar{d}_j^\lambda (\gamma \partial + m_d^\lambda) d_j^\lambda + ig_{sw} A_\mu [-\bar{e}^\lambda \gamma^\mu e^\lambda + \frac{2}{3}(\bar{u}_j^\lambda \gamma^\mu u_j^\lambda) - \frac{1}{3}(\bar{d}_j^\lambda \gamma^\mu d_j^\lambda)] + \\ & \frac{ig}{4c_w} Z_\mu^0 [(\bar{\nu}^\lambda \gamma^\mu (1 + \gamma^5) \nu^\lambda) + (\bar{e}^\lambda \gamma^\mu (4s_w^2 - 1 - \gamma^5) e^\lambda) + (\bar{u}_j^\lambda \gamma^\mu (\frac{4}{3}s_w^2 - \\ & 1 - \gamma^5) u_j^\lambda) + (\bar{d}_j^\lambda \gamma^\mu (1 - \frac{8}{3}s_w^2 - \gamma^5) d_j^\lambda)] + \frac{ig}{2\sqrt{2}} W_\mu^+ [(\bar{\nu}^\lambda \gamma^\mu (1 + \gamma^5) e^\lambda) + \\ & (\bar{u}_j^\lambda \gamma^\mu (1 + \gamma^5) C_{\lambda\kappa} d_j^\kappa)] + \frac{ig}{2\sqrt{2}} W_\mu^- [(\bar{e}^\lambda \gamma^\mu (1 + \gamma^5) \nu^\lambda) + (\bar{d}_j^\kappa C_{\lambda\kappa}^\dagger \gamma^\mu (1 + \\ & \gamma^5) u_j^\lambda)] + \frac{ig}{2\sqrt{2}} \frac{m_e^\lambda}{M} [-\phi^+ (\bar{\nu}^\lambda (1 - \gamma^5) e^\lambda) + \phi^- (\bar{e}^\lambda (1 + \gamma^5) \nu^\lambda)] - \\ & \frac{g}{2} \frac{m_e^\lambda}{M} [H (\bar{e}^\lambda e^\lambda) + i\phi^0 (\bar{e}^\lambda \gamma^5 e^\lambda)] + \frac{ig}{2M\sqrt{2}} \phi^+ [-m_d^\kappa (\bar{u}_j^\lambda C_{\lambda\kappa} (1 - \gamma^5) d_j^\kappa) + \\ & m_u^\kappa (\bar{d}_j^\lambda C_{\lambda\kappa}^\dagger (1 + \gamma^5) u_j^\kappa)] + \frac{ig}{2M\sqrt{2}} \phi^- [m_d^\lambda (\bar{d}_j^\lambda C_{\lambda\kappa}^\dagger (1 + \gamma^5) u_j^\kappa) - m_u^\kappa (\bar{d}_j^\lambda C_{\lambda\kappa}^\dagger (1 - \\ & \gamma^5) u_j^\kappa)] - \frac{g}{2} \frac{m_u^\lambda}{M} H (\bar{u}_j^\lambda u_j^\lambda) - \frac{g}{2} \frac{m_d^\lambda}{M} H (\bar{d}_j^\lambda d_j^\lambda) + \frac{ig}{2} \frac{m_\lambda^2}{M} \phi^0 (\bar{u}_j^\lambda \gamma^5 u_j^\lambda) - \\ & \frac{ig}{2} \frac{m_\lambda^2}{M} \phi^0 (\bar{d}_j^\lambda \gamma^5 d_j^\lambda) + \bar{X}^+ (\partial^2 - M^2) X^+ + \bar{X}^- (\partial^2 - M^2) X^- + \bar{X}^0 (\partial^2 - \\ & \frac{M^2}{c_w^2}) X^0 + \bar{Y} \partial^2 Y + ig_{cw} W_\mu^+ (\partial_\mu \bar{X}^0 X^- - \partial_\mu \bar{X}^+ X^0) + ig_{sw} W_\mu^+ (\partial_\mu \bar{Y} X^- - \\ & \partial_\mu \bar{X}^+ Y) + ig_{cw} W_\mu^- (\partial_\mu \bar{X}^- X^0 - \partial_\mu \bar{X}^0 X^+) + ig_{sw} W_\mu^- (\partial_\mu \bar{X}^- Y - \\ & \partial_\mu \bar{Y} X^+) + ig_{cw} Z_\mu^0 (\partial_\mu \bar{X}^+ X^+ - \partial_\mu \bar{X}^- X^-) + ig_{sw} A_\mu (\partial_\mu \bar{X}^+ X^+ - \\ & \partial_\mu \bar{X}^- X^-) - \frac{1}{2}gM [\bar{X}^+ X^+ H + \bar{X}^- X^- H + \frac{1}{c_w^2} \bar{X}^0 X^0 H] + \\ & \frac{1-2c_w^2}{2c_w} igM [\bar{X}^+ X^0 \phi^+ - \bar{X}^- X^0 \phi^-] + \frac{1}{2c_w} igM [\bar{X}^0 X^- \phi^+ - \bar{X}^0 X^+ \phi^-] + \\ & igM s_w [\bar{X}^0 X^- \phi^+ - \bar{X}^0 X^+ \phi^-] + \frac{1}{2}igM [\bar{X}^+ X^+ \phi^0 - \bar{X}^- X^- \phi^0] \end{aligned}$$

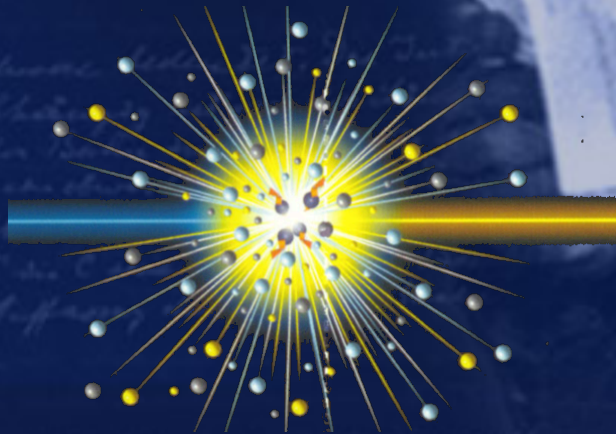
Al 40 jaar bestaan er precieze
wiskundige voorspellingen!

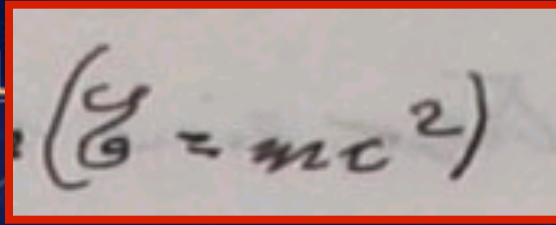

$$E = mc^2$$

Hoe ontdekken we nieuwe deeltjes?

Bij de LHC op Cern:

1) Verander energie in materie!

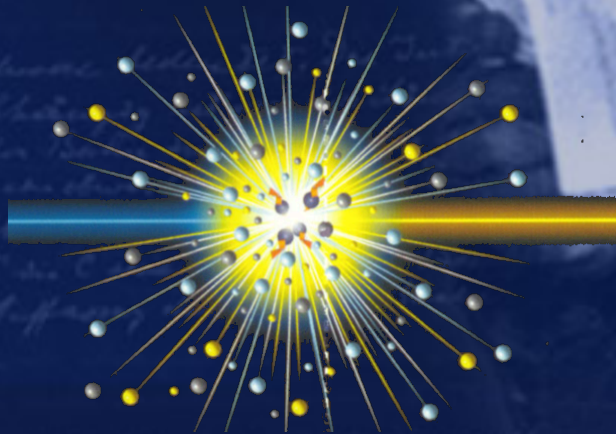


A close-up of a handwritten equation $E = mc^2$ on a piece of paper, with a red rectangular border around it. The handwriting is in cursive, and the paper is slightly aged.
$$E = mc^2$$

Hoe ontdekken we nieuwe deeltjes?

Bij de LHC op Cern:

- 1) Verander energie in materie!
- 2) Nieuwe deeltjes veranderen voorspellingen





LHCb

ATLAS

CMS

ALICE



2) Nieuwe deeltjes
veranderen voorspellingen

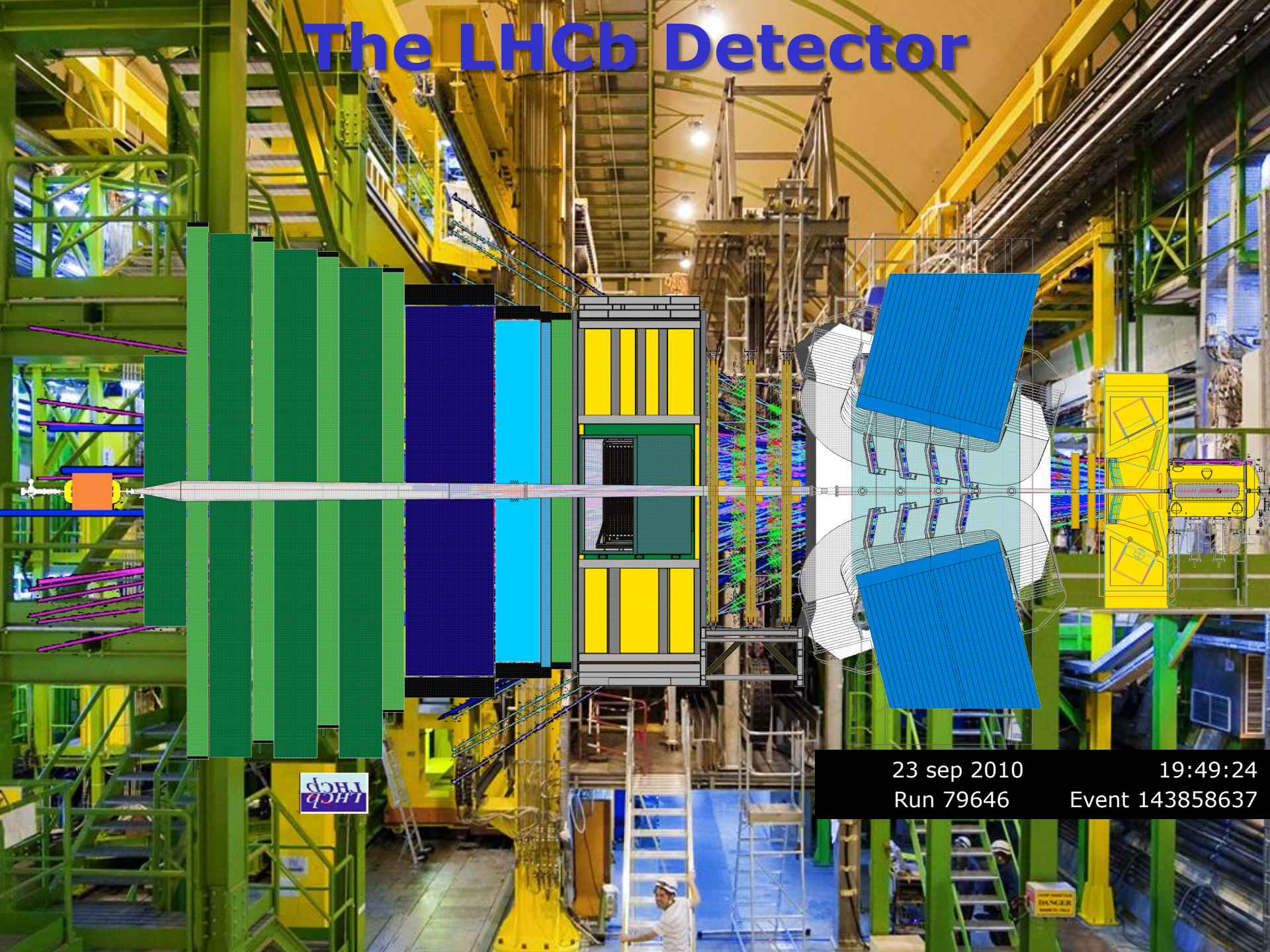
The image shows an aerial view of a vast, green landscape with a patchwork of fields. A red oval line is drawn across the landscape, representing the LHC tunnel. Several small red circles are placed along this line, indicating the locations of different experiments. Two blue boxes with white text are overlaid on the image: one labeled 'LHCb' and another labeled 'ATLAS'. Two blue text boxes with white text are also present: one on the left stating '2) Nieuwe deeltjes veranderen voorspellingen' and one on the right stating '1) Verander energie in materie'. In the background, a range of snow-capped mountains is visible under a clear blue sky.

1) Verander energie in
materie

LHCb

ATLAS

The LHCb Detector



23 sep 2010
Run 79646

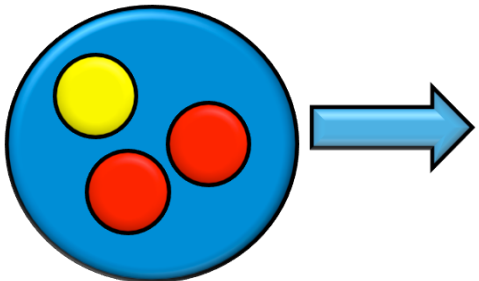
19:49:24
Event 143858637

HAZARD
DANGER

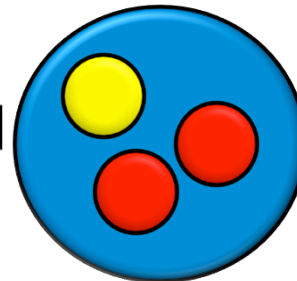
$$\begin{aligned}
& -\frac{1}{2}\partial_\nu g_\mu^a \partial_\nu g_\mu^a - g_s f^{abc} \partial_\mu g_\nu^a g_\mu^b g_\nu^c - \frac{1}{2}g_s^2 f^{abc} f^{ade} g_\mu^b g_\nu^c g_\mu^d g_\nu^e + \\
& \frac{1}{2}ig_s^2 (\bar{q}^c \gamma^\mu q_f^c) g_\mu^a + G^a \partial^2 G^a + g_s f^{abc} \partial_\mu G^a G^b g_\mu^c - \partial_\nu W_\mu^+ \partial_\nu W_\mu^- - \\
& M^2 W_\mu^+ W_\mu^- - \frac{1}{2}\partial_\nu Z_\mu^0 \partial_\nu Z_\mu^0 - \frac{1}{2}M^2 Z_\mu^0 Z_\mu^0 - \frac{1}{2}\partial_\mu A_\nu \partial_\mu A_\nu - \frac{1}{2}\partial_\mu H \partial_\mu H - \\
& \frac{1}{2}m_h^2 H^2 - \partial_\mu \phi^+ \partial_\mu \phi^- - M^2 \phi^+ \phi^- - \frac{1}{2}\partial_\mu \phi^0 \partial_\mu \phi^0 - \frac{1}{2c_w} M \phi^0 \phi^0 - \beta_h [\frac{2M^2}{\partial^2} + \\
& \frac{2M}{g} H + \frac{1}{2}(H^2 + \phi^0 \phi^0 + 2\phi^+ \phi^-)] + \frac{2M}{g^2} \alpha_h - ig_{cw} [\partial_\nu Z_\mu^0 (W_\mu^+ W_\nu^- - \\
& W_\nu^+ W_\mu^-) - Z_\mu^0 (W_\mu^+ \partial_\nu W_\nu^- - W_\nu^+ \partial_\mu W_\mu^-) + Z_\mu^0 (W_\nu^+ \partial_\mu W_\mu^- - \\
& W_\mu^+ \partial_\nu W_\nu^-)] - ig_{sw} [\partial_\nu (W_\mu^+ W_\nu^- - W_\nu^+ W_\mu^-) - A_\nu (W_\mu^+ \partial_\nu W_\mu^- - \\
& W_\nu^+ \partial_\mu W_\mu^-) + A_\mu (W_\mu^+ \partial_\nu W_\nu^- - W_\nu^+ \partial_\mu W_\mu^-)] - \frac{1}{2}g^2 W_\mu^+ W_\nu^- W_\nu^+ W_\mu^- + \\
& \frac{1}{2}g^2 W_\mu^+ W_\nu^- W_\nu^+ W_\mu^- + g^2 c_w^2 (Z_\mu^0 W_\nu^+ Z_\mu^0 W_\nu^- - Z_\mu^0 Z_\nu^0 W_\mu^+ W_\nu^-) + \\
& g^2 s_w^2 (A_\mu W_\nu^+ A_\nu W_\mu^- - A_\mu A_\nu W_\nu^+ W_\mu^-) + g^2 s_w c_w [A_\mu W_\nu^+ (W_\mu^+ W_\nu^- - \\
& W_\nu^+ W_\mu^-) - 2A_\mu Z_\mu^0 W_\nu^+ W_\nu^-] - g\alpha [H^2 + H \phi^0 \phi^0 + 2H \phi^+ \phi^-] - \\
& \frac{1}{8}g^2 \alpha_h [H^4 + (\phi^0)^4 + 4(\phi^+ \phi^-)^2 + 4(\phi^0)^2 \phi^+ \phi^- + 4H^2 \phi^+ \phi^- + 2(\phi^0)^2 H^2] - \\
& gM W_\mu^+ W_\mu^- H - \frac{1}{2}g \frac{M}{c_w} Z_\mu^0 Z_\mu^0 H - \frac{1}{2}ig [W_\mu^+ (\phi^0 \partial_\mu \phi^- - \phi^- \partial_\mu \phi^0) - \\
& W_\nu^- (\phi^0 \partial_\nu \phi^+ - \phi^+ \partial_\nu \phi^0)] + \frac{1}{2}g [W_\mu^+ (H \partial_\mu \phi^- - \phi^- \partial_\mu H) - W_\nu^- (H \partial_\nu \phi^+ - \\
& \phi^+ \partial_\nu H)] + \frac{1}{2}g \frac{1}{c_w} (Z_\mu^0 (H \partial_\mu \phi^0 - \phi^0 \partial_\mu H) - ig_{cw}^2 M Z_\mu^0 (W_\mu^+ \phi^- - W_\mu^- \phi^+) + \\
& ig_{sw} M A_\mu (W_\mu^+ \phi^- - W_\mu^- \phi^+) - ig \frac{1-2c_w^2}{2c_w} Z_\mu^0 (\phi^+ \partial_\mu \phi^- - \phi^- \partial_\mu \phi^+) + \\
& ig_{sw} A_\mu (\phi^+ \partial_\mu \phi^- - \phi^- \partial_\mu \phi^+) - \frac{1}{4}g^2 W_\mu^+ W_\mu^- [H^2 + (\phi^0)^2 + 2\phi^+ \phi^-] - \\
& \frac{1}{2}g^2 \frac{1}{c_w} Z_\mu^0 Z_\mu^0 [H^2 + (\phi^0)^2 + 2(2s_w^2 - 1)^2 \phi^+ \phi^-] - \frac{1}{2}g^2 \frac{2c_w^2}{c_w} Z_\mu^0 \phi^0 (W_\mu^+ \phi^- + \\
& W_\mu^- \phi^+) - \frac{1}{2}ig \frac{2c_w^2}{c_w} Z_\mu^0 H (W_\mu^+ \phi^- - W_\mu^- \phi^+) + \frac{1}{2}g^2 s_w A_\mu \phi^0 (W_\mu^+ \phi^- + \\
& W_\mu^- \phi^+) + \frac{1}{2}ig^2 s_w A_\mu H (W_\mu^+ \phi^- - W_\mu^- \phi^+) - g^2 \frac{2c_w^2}{c_w} (2c_w^2 - 1) Z_\mu^0 A_\mu \phi^+ \phi^- - \\
& g^4 s_w^2 A_\mu A_\mu \phi^+ \phi^- - \bar{e}^\lambda (\gamma^\mu \partial + m_e^\lambda) e^\lambda - \bar{\nu}^\lambda \gamma^\mu \partial \nu^\lambda - \bar{u}_j^\lambda (\gamma^\mu \partial + m_u^\lambda) u_j^\lambda - \\
& \bar{d}_j^\lambda (\gamma^\mu \partial + m_d^\lambda) d_j^\lambda + ig_{sw} A_\mu [-(\bar{e}^\lambda \gamma^\mu e^\lambda) + \frac{2}{3}(\bar{u}_j^\lambda \gamma^\mu u_j^\lambda) - \frac{1}{3}(\bar{d}_j^\lambda \gamma^\mu d_j^\lambda)] + \\
& \frac{ig}{4c_w} Z_\mu^0 [(\bar{\nu}^\lambda \gamma^\mu (1 + \gamma^5) \nu^\lambda) + (\bar{e}^\lambda \gamma^\mu (4s_w^2 - 1 - \gamma^5) e^\lambda) + (\bar{u}_j^\lambda \gamma^\mu (\frac{8}{3}s_w^2 - \\
& 1 - \gamma^5) u_j^\lambda) + (\bar{d}_j^\lambda \gamma^\mu (1 - \frac{8}{3}s_w^2 - \gamma^5) d_j^\lambda)] + \frac{ig}{2\sqrt{2}} W_\mu^+ [(\bar{\nu}^\lambda \gamma^\mu (1 + \gamma^5) e^\lambda) + \\
& (\bar{u}_j^\lambda \gamma^\mu (1 + \gamma^5) C_{\lambda k} d_k^\lambda)] + \frac{ig}{2\sqrt{2}} W_\mu^- [(\bar{e}^\lambda \gamma^\mu (1 + \gamma^5) \nu^\lambda) + (\bar{d}_j^\lambda \gamma^\mu (1 + \\
& \gamma^5) u_j^\lambda)] + \frac{ig}{2\sqrt{2}} \frac{m_\lambda^2}{M} [-\phi^+ (\bar{\nu}^\lambda (1 - \gamma^5) e^\lambda) + \phi^- (\bar{e}^\lambda (1 + \gamma^5) \nu^\lambda)] - \\
& \frac{g}{2} \frac{m_\lambda^2}{M} [H (\bar{e}^\lambda e^\lambda) + i\phi^0 (\bar{e}^\lambda \gamma^5 e^\lambda)] + \frac{ig}{2M\sqrt{2}} \phi^+ [-m_d^\lambda (\bar{u}_j^\lambda C_{\lambda k} (1 - \gamma^5) d_k^\lambda) + \\
& m_u^\lambda (\bar{u}_j^\lambda C_{\lambda k} (1 + \gamma^5) d_k^\lambda)] + \frac{ig}{2M\sqrt{2}} \phi^- [m_d^\lambda (\bar{d}_j^\lambda C_{\lambda k}^\dagger (1 + \gamma^5) u_j^\lambda) - m_u^\lambda (\bar{d}_j^\lambda C_{\lambda k}^\dagger (1 - \\
& \gamma^5) u_j^\lambda)] - \frac{g}{2} \frac{m_\lambda^2}{M} H (\bar{u}_j^\lambda u_j^\lambda) - \frac{g}{2} \frac{m_\lambda^2}{M} H (\bar{d}_j^\lambda d_j^\lambda) + \frac{ig}{2} \frac{m_\lambda^2}{M} \phi^0 (\bar{u}_j^\lambda \gamma^5 u_j^\lambda) - \\
& \frac{ig}{2} \frac{m_\lambda^2}{M} \phi^0 (\bar{d}_j^\lambda \gamma^5 d_j^\lambda) + \bar{X}^+ (\partial^2 - M^2) X^+ + \bar{X}^- (\partial^2 - M^2) X^- + \bar{X}^0 (\partial^2 - \\
& \frac{M^2}{c_w^2}) X^0 + \bar{Y} \partial^2 Y + ig_{cw} W_\mu^+ (\partial_\mu \bar{X}^0 X^- - \partial_\mu \bar{X}^+ X^0) + ig_{sw} W_\mu^+ (\partial_\mu \bar{Y} X^- - \\
& \partial_\mu \bar{X}^+ Y) + ig_{cw} W_\mu^- (\partial_\mu \bar{X}^- X^0 - \partial_\mu \bar{X}^0 X^+) + ig_{sw} W_\mu^- (\partial_\mu \bar{X}^- Y - \\
& \partial_\mu \bar{Y} X^+) + ig_{cw} Z_\mu^0 (\partial_\mu \bar{X}^+ X^- - \partial_\mu \bar{X}^- X^+) + ig_{sw} A_\mu (\partial_\mu \bar{X}^+ X^- - \\
& \partial_\mu \bar{X}^- X^+) - \frac{1}{2}gM [\bar{X}^+ X^+ H + \bar{X}^- X^- H + \frac{1}{c_w^2} \bar{X}^0 X^0 H] + \\
& \frac{1-2c_w^2}{2c_w} igM [\bar{X}^+ X^0 \phi^+ - \bar{X}^- X^0 \phi^-] + \frac{1}{2c_w} igM [\bar{X}^0 X^- \phi^+ - \bar{X}^0 X^+ \phi^-] + \\
& igM s_w [\bar{X}^0 X^- \phi^+ - \bar{X}^0 X^+ \phi^-] + \frac{1}{2}igM [\bar{X}^+ X^+ \phi^0 - \bar{X}^- X^- \phi^0]
\end{aligned}$$

Quantummechanisch botsen

proton



proton



LHCb in getallen

120,000 B events per sec

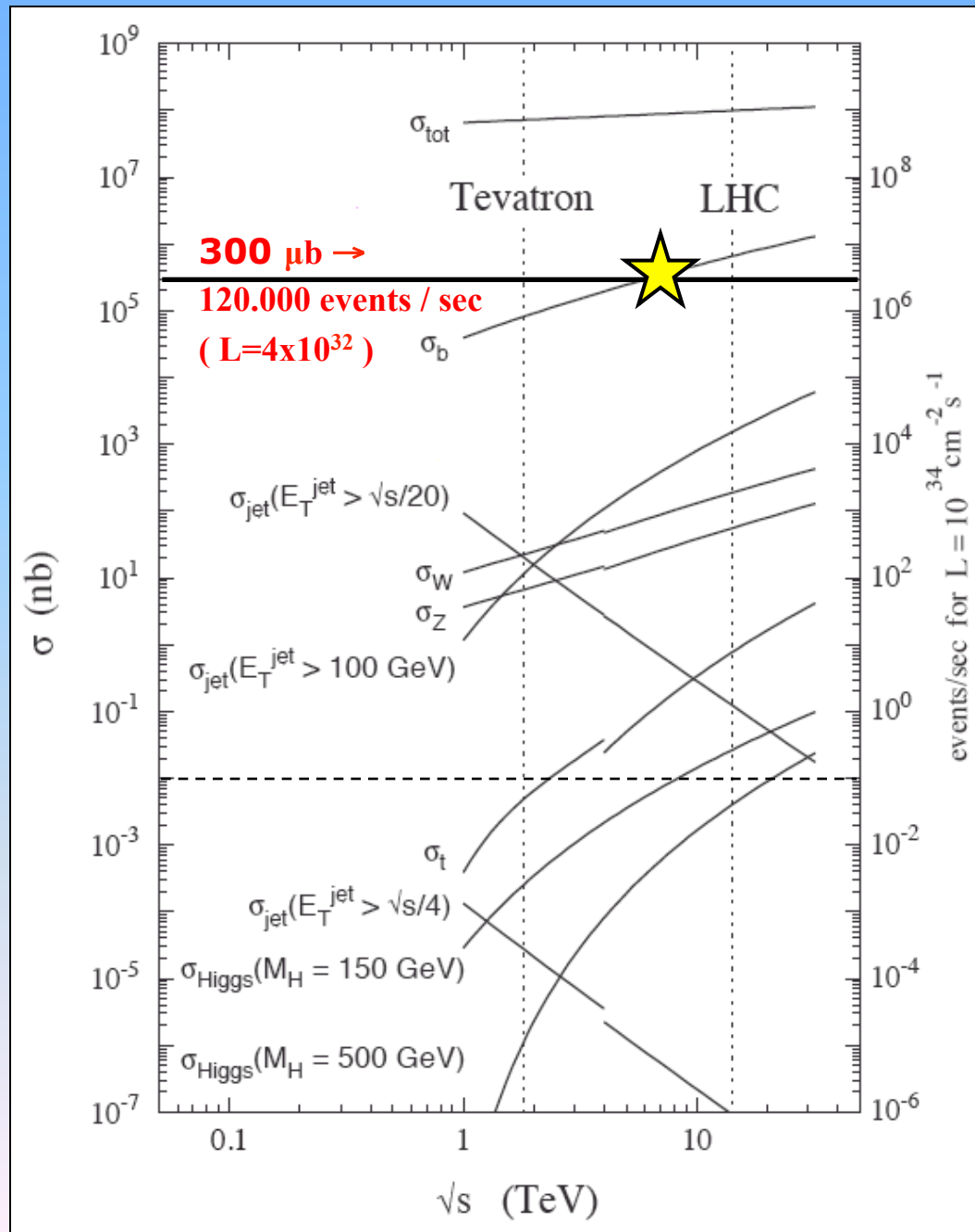
(ter vergelijik: in ATLAS : 1 Higgs in 100 sec)

10^{11} B events in 2011

(ter vergelijik: Babar heeft in totaal 10^9 B events)

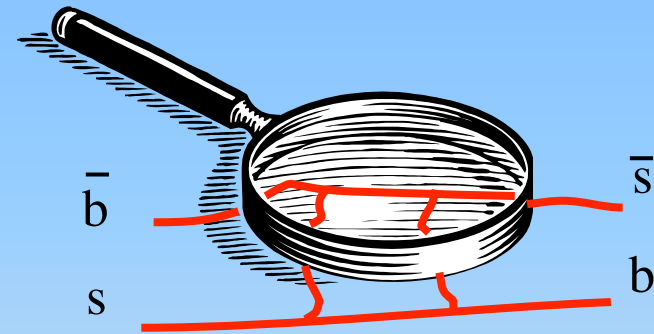
3 kHz naar tape

(ter vergelijik: ATLAS schrijft 200 Hz weg)

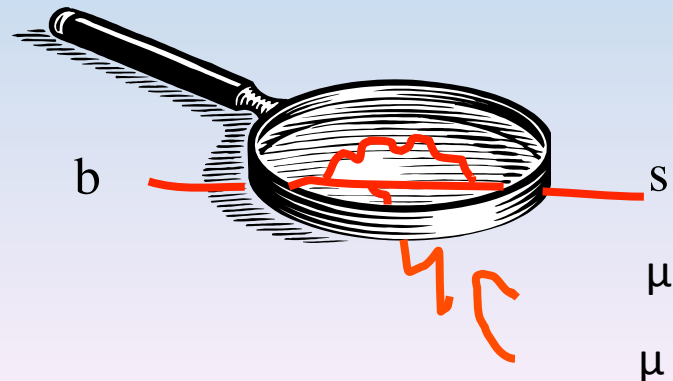


LHCb: bestuderen van B deeltje

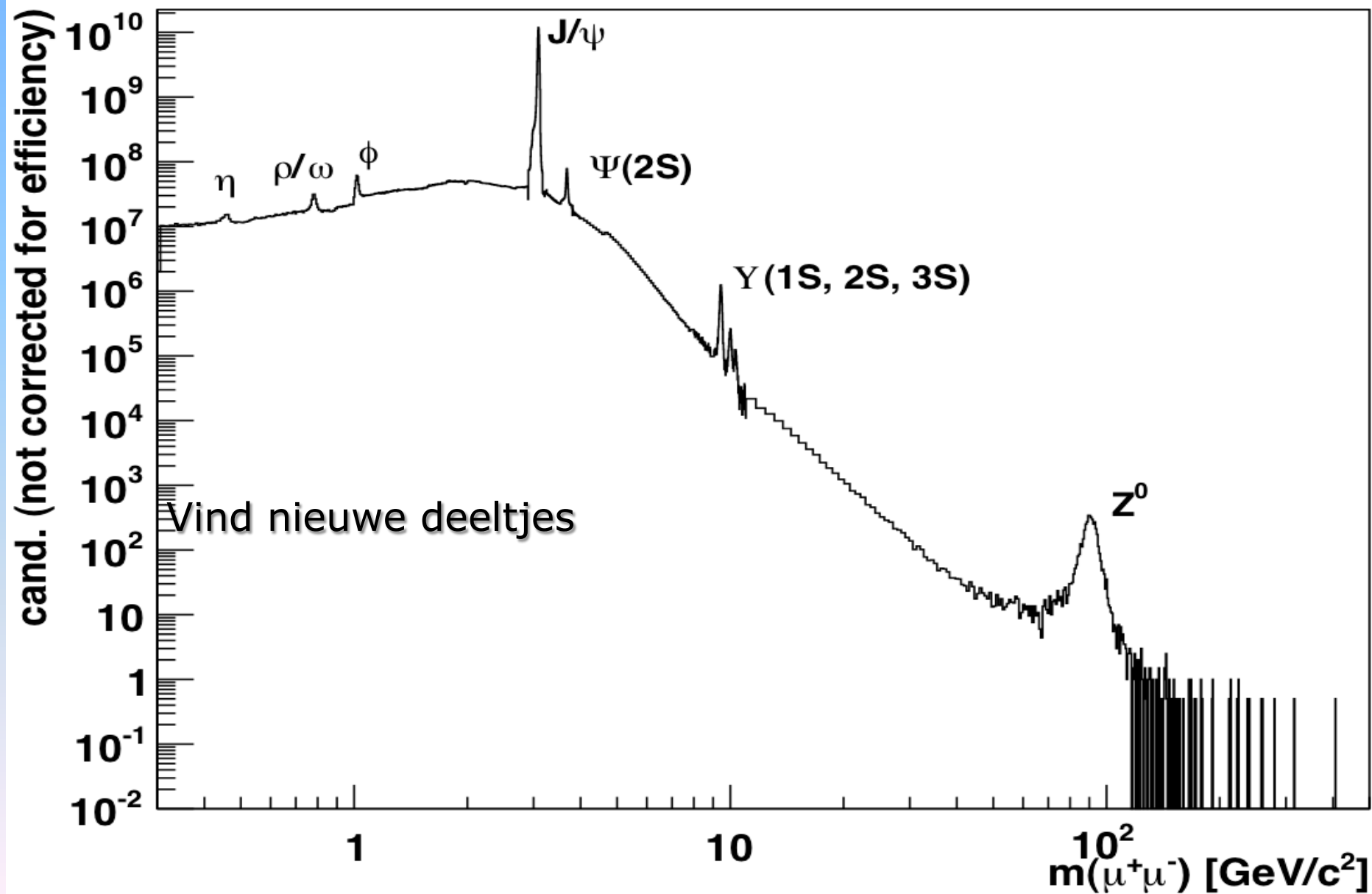
1) Vind verschillen tussen materie en anti-materie



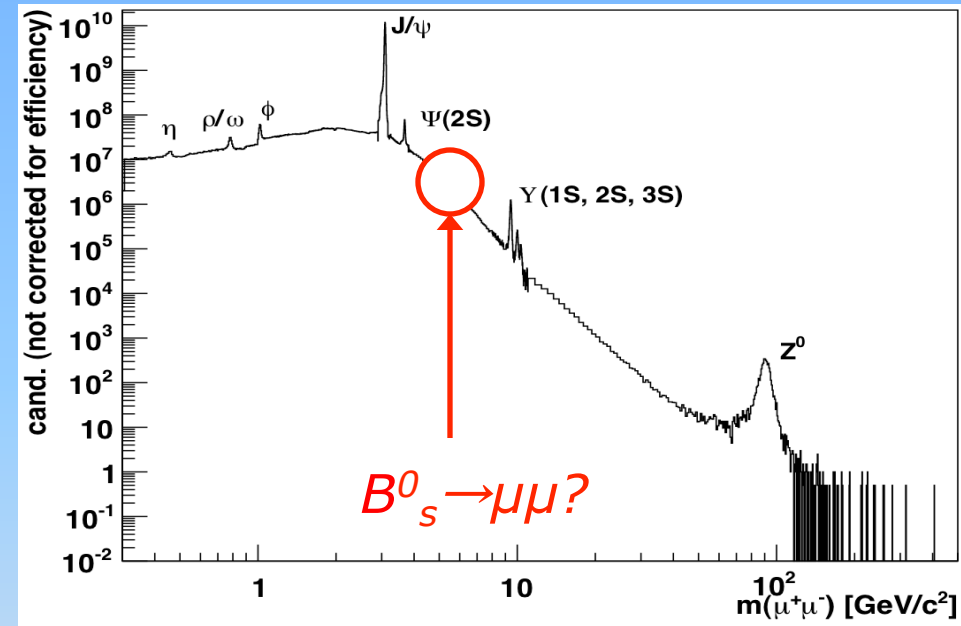
2) Vind nieuwe deeltjes



LHCb: bestuderen van B deeltje

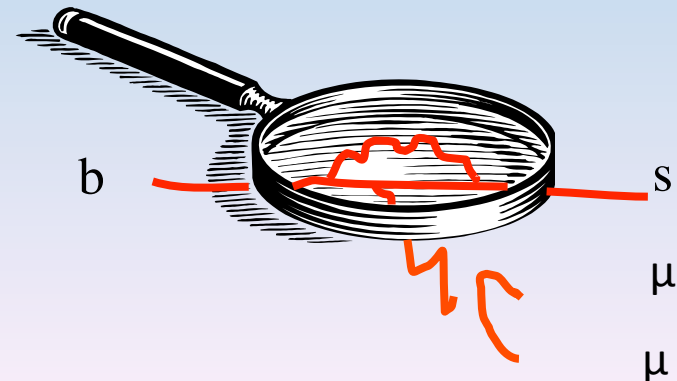
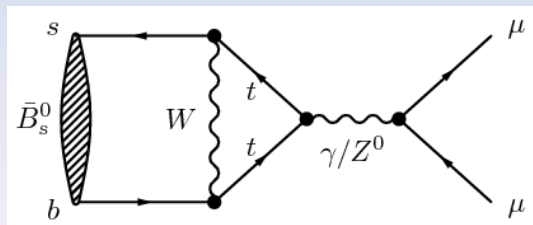


LHCb: bestuderen van B deeltje

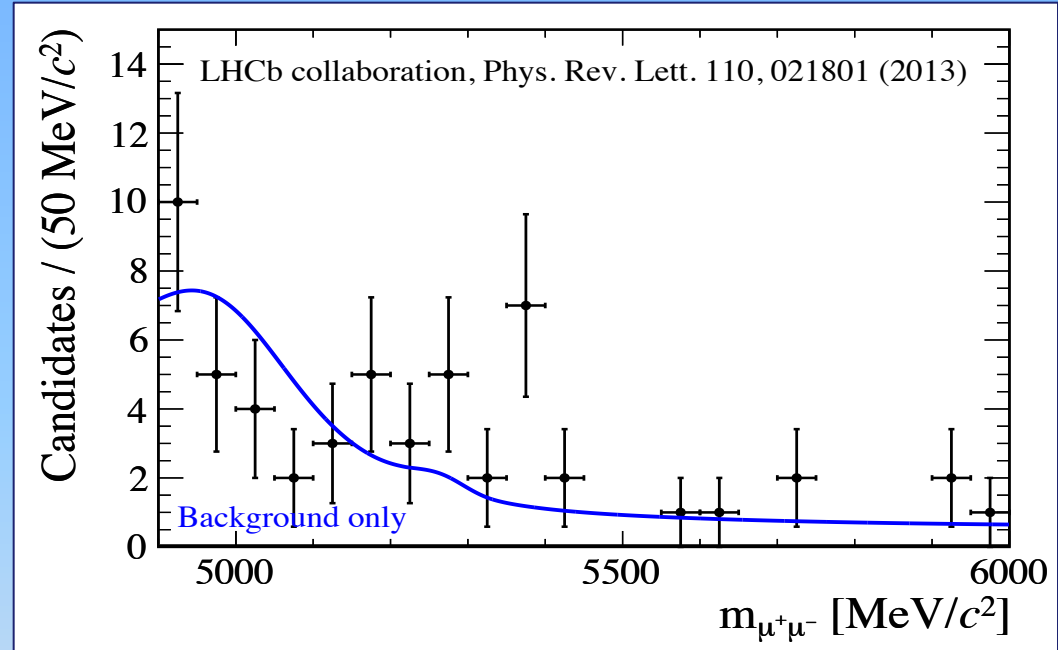


2) Vind nieuwe deeltjes

$$B^0_s \rightarrow \mu\mu$$

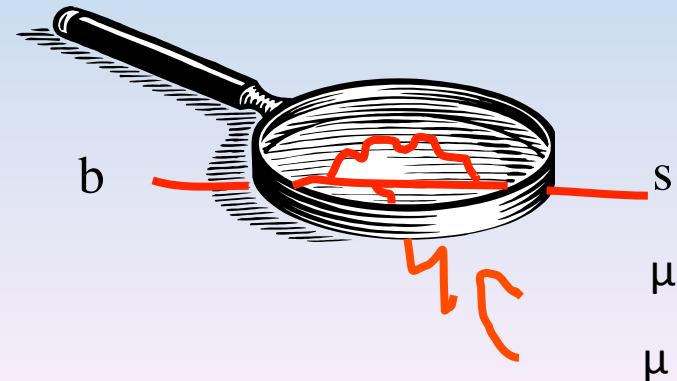


LHCb: bestuderen van B deeltje

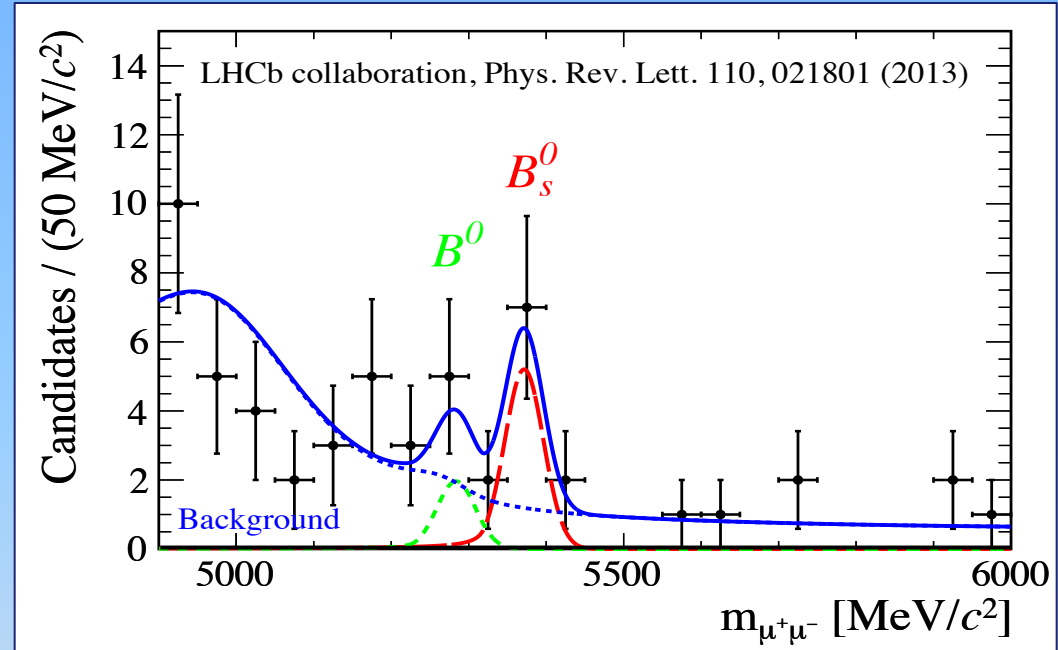


Slechts 3 op de miljard B deeltjes vervalt naar 2 muonen

Bestaan er nieuwe deeltjes?

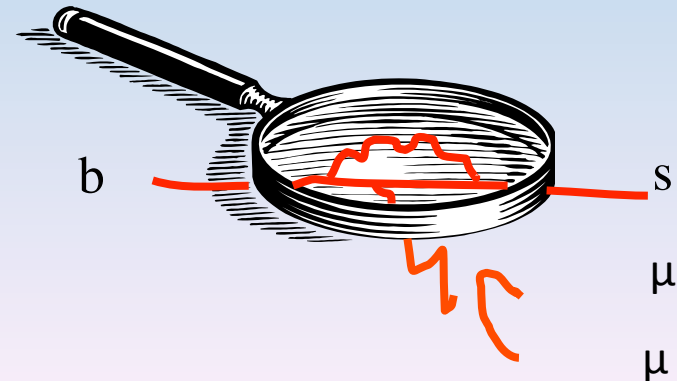


LHCb: bestuderen van B deeltje

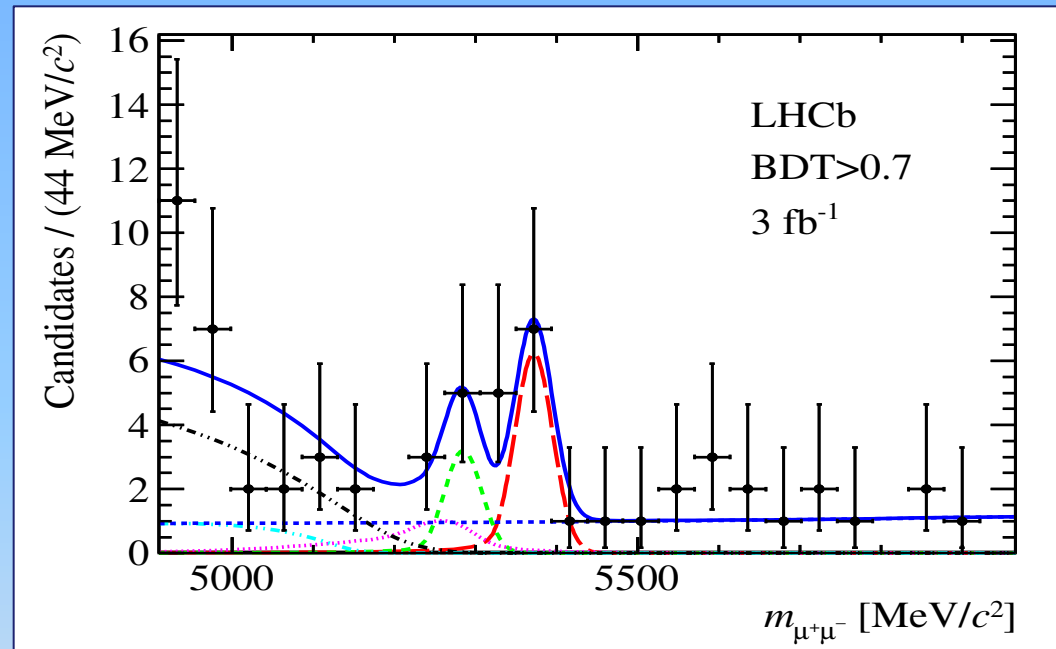


Slechts 3 op de miljard B deeltjes vervalst naar 2 muonen

Bestaan er nieuwe deeltjes?

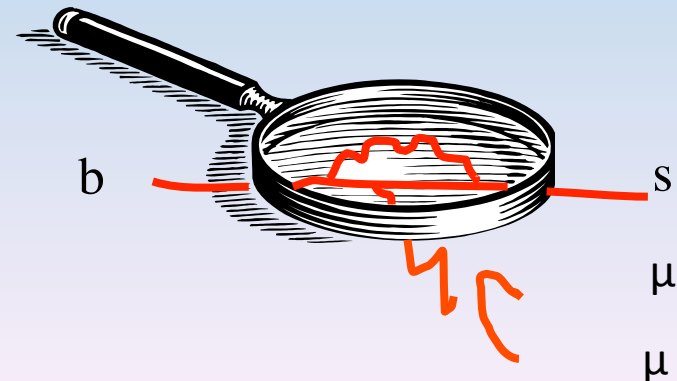


LHCb: bestuderen van B deeltje

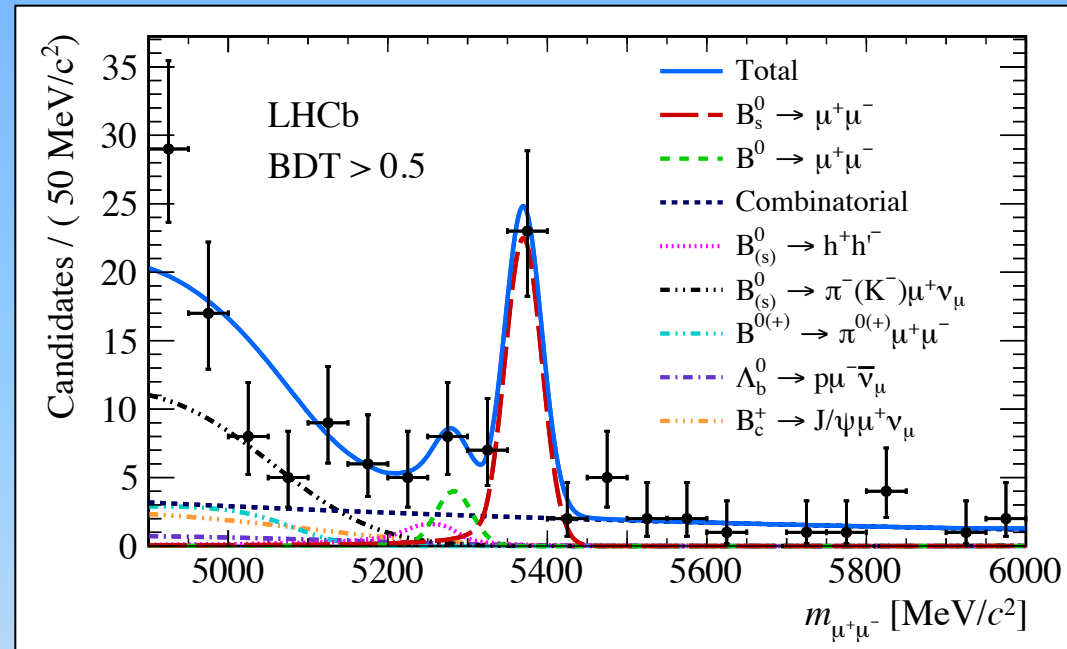


Slechts 3 op de miljard B deeltjes vervalst naar 2 muonen

Bestaan er nieuwe deeltjes?

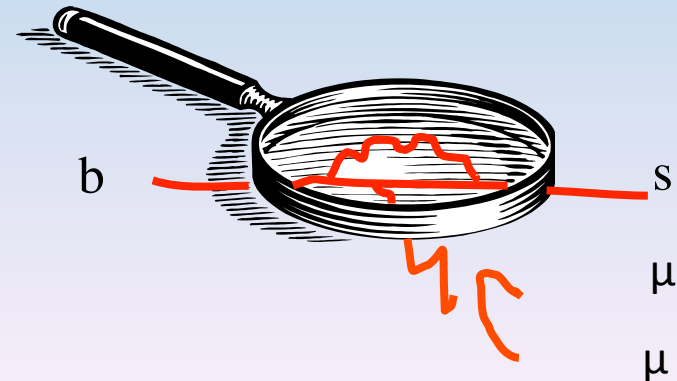


LHCb: bestuderen van B deeltje

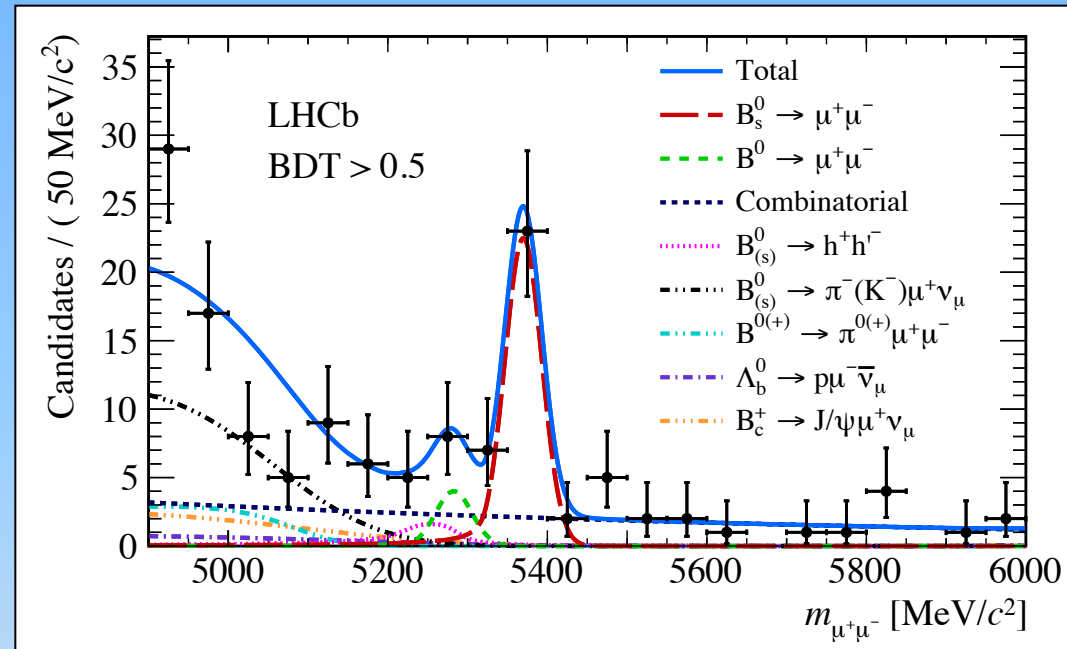


Slechts 3 op de miljard B deeltjes vervalst naar 2 muonen

Bestaan er nieuwe deeltjes?



LHCb: bestuderen van B deeltje



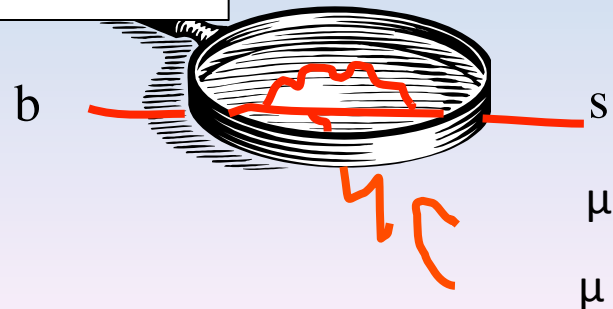
$$\mathcal{B}(B_s^0 \rightarrow \mu^+\mu^-) = (3.0 \pm 0.6^{+0.3}_{-0.2}) \times 10^{-9}$$

$$\mathcal{B}(B^0 \rightarrow \mu^+\mu^-) < 3.4 \times 10^{-10}$$

Theory:

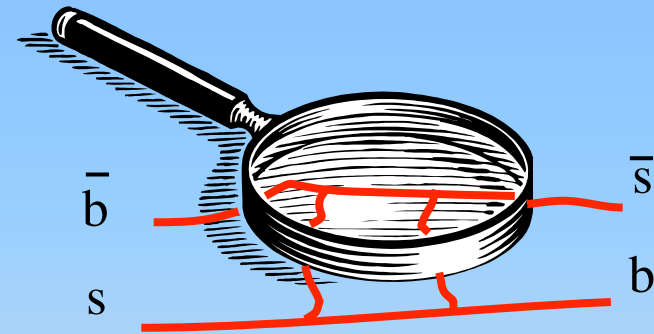
$$\mathcal{B}(B_s^0 \rightarrow \mu^+\mu^-) = (3.65 \pm 0.23) \times 10^{-9}$$

$$\mathcal{B}(B^0 \rightarrow \mu^+\mu^-) = (1.06 \pm 0.09) \times 10^{-10}$$

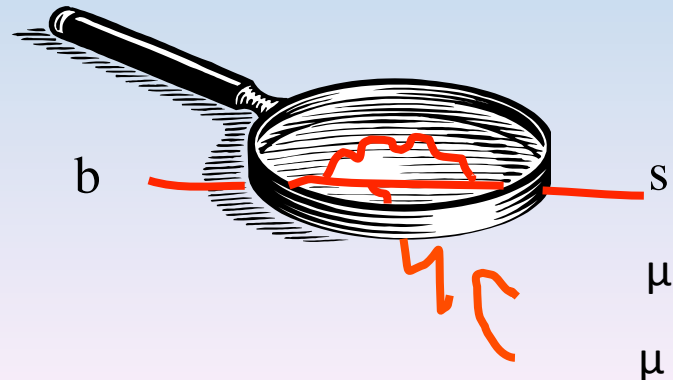


LHCb: bestuderen van B deeltje

1) Vind verschillen tussen materie en anti-materie



2) Vind nieuwe deeltjes



LHCb: highlights

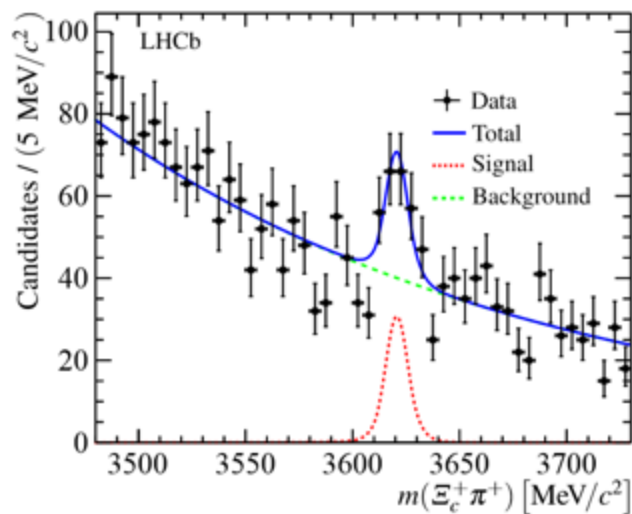
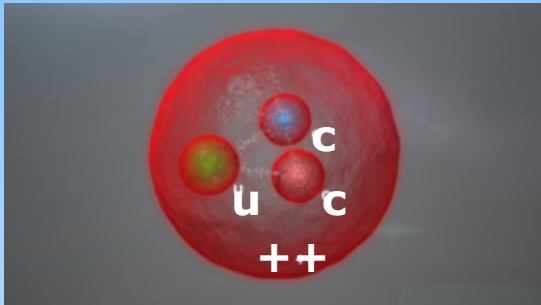
- 1) Nieuwe 'gewone' hadronen
- 2) Nieuwe 'exotische' hadronen: Tetraquark en pentaquark
- 3) Ontdekking 'CP schending' B_s
- 4) Ontdekking 'CP schending' charm

Hot topic:

- 5) Verschil electron, muon, tau??

LHCb: nieuwe 'gewone' hadronen

(ccu): Ξ_{cc}^{++}



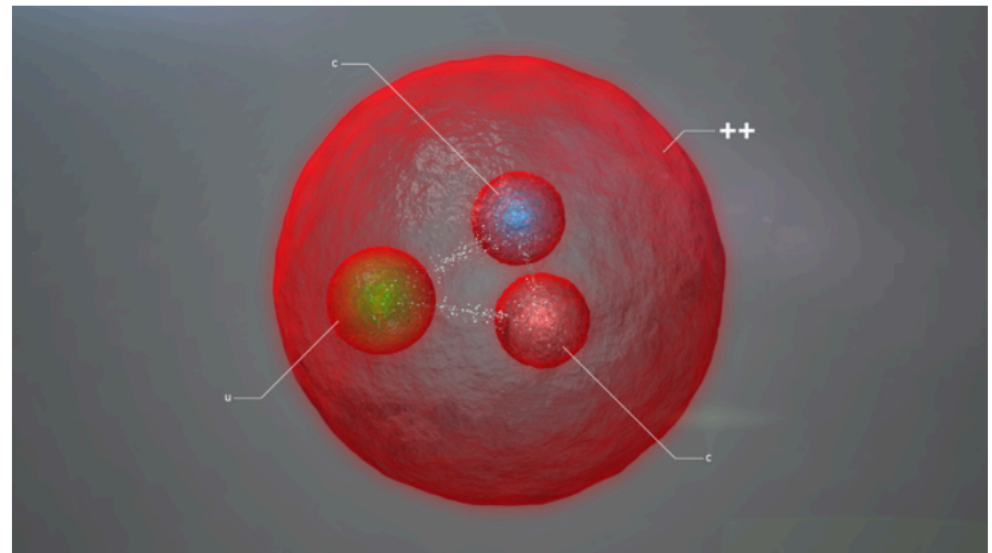
NewScientist
IDEEËN DIE DE WERELD VERANDEREN

Nieuw zwaar deeltje legt sterke kernkracht op de pijnbank

12 juli 2017



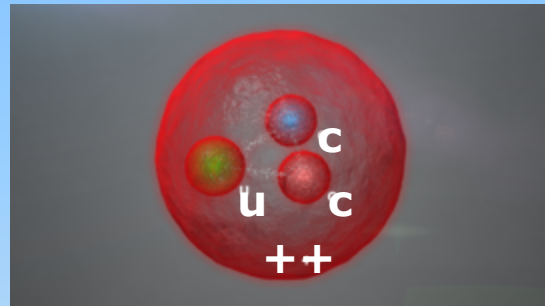
Jacob Aron en Leah Crane



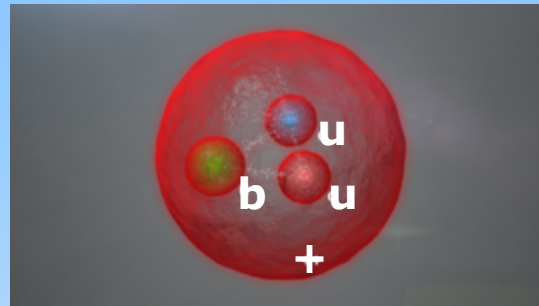
Het nieuwe deeltje bevat twee charm-quarks in het midden en een up-quark daaromheen. Beeld: Daniel Dominguez/CERN.

LHCb: nieuwe 'gewone' hadronen

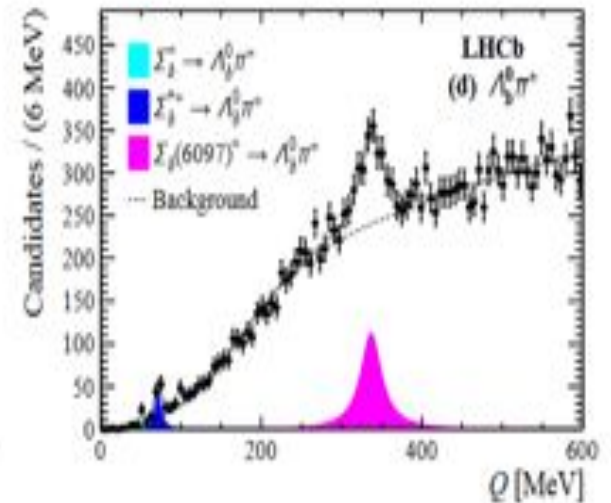
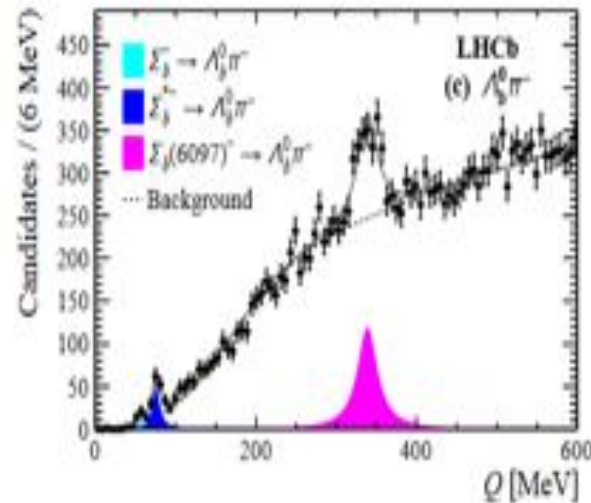
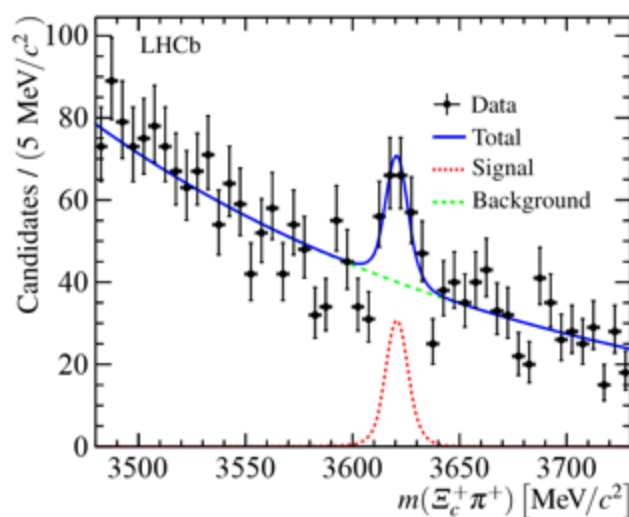
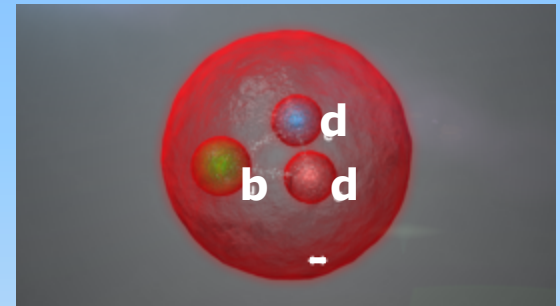
(ccu): Ξ_{cc}^{++}



(buu): $\Sigma_b(6097)^+$

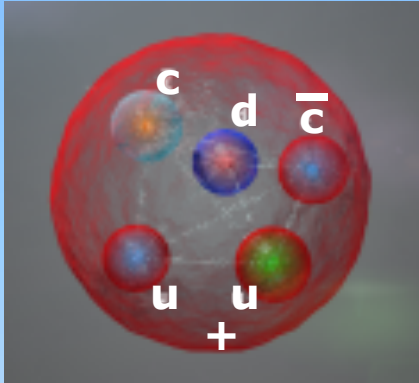


(bdd): $\Sigma_b(6097)^-$

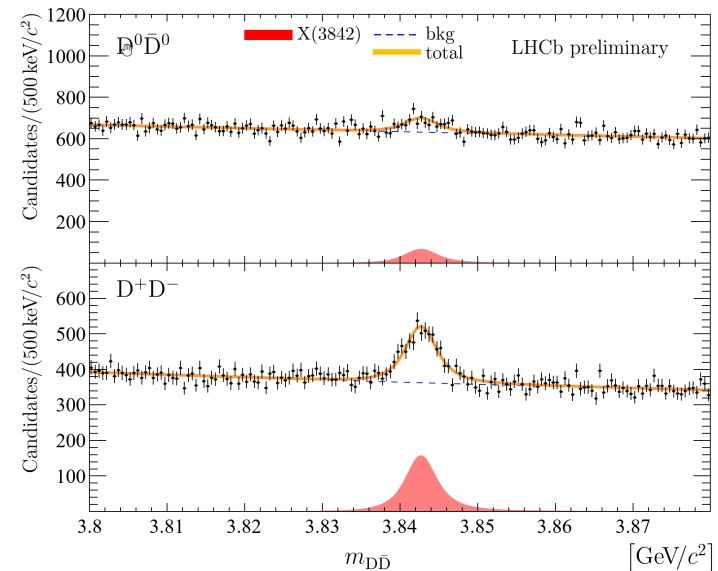
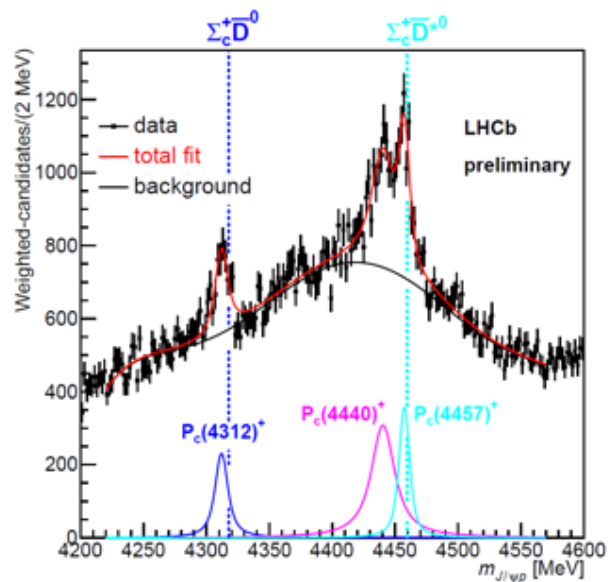
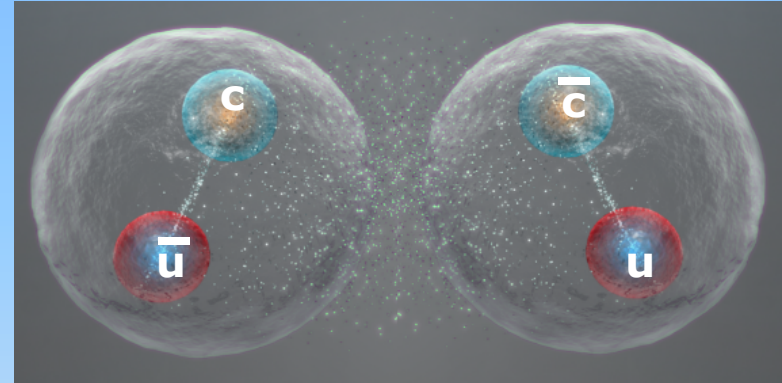


LHCb: nieuwe 'exotische' hadronen

$(c\bar{c}duu): \mathbf{P}_c(\mathbf{4312})^+$

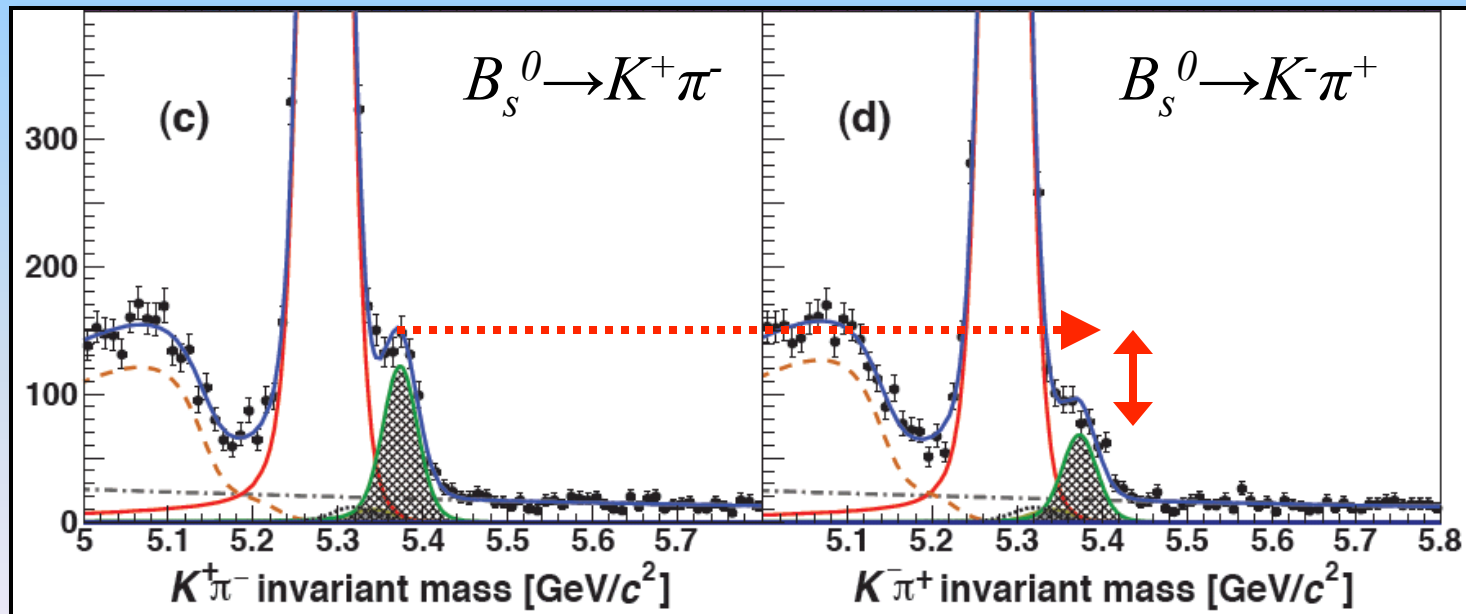
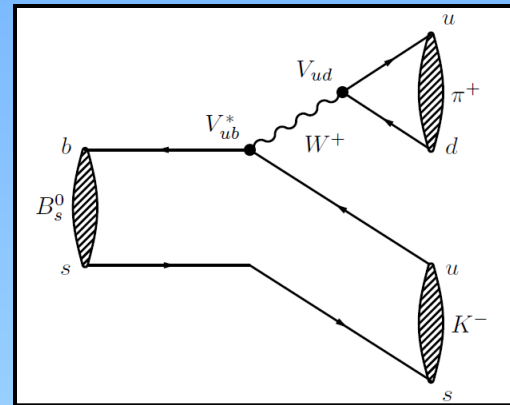


$(c\bar{u} \bar{c}u): \mathbf{X}(\mathbf{3842})$



LHCb: antimaterie verschil in B_s^0

CP schending in B_s^0



LHCb: antimaterie verschil in charm

“CP schending”

$D^0 \rightarrow K^+ K^-$ same as

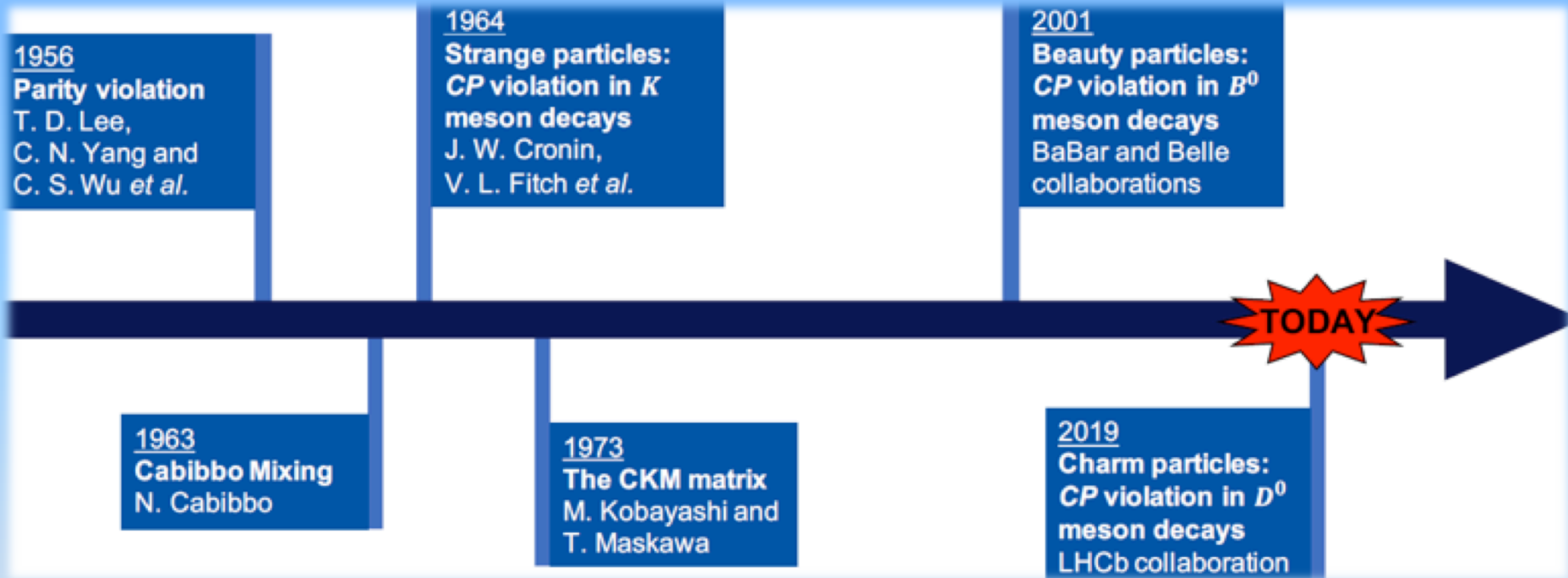
$\bar{D}^0 \rightarrow K^+ K^-$??

at least it is different compared to
 $D^0 \rightarrow \pi^+ \pi^- \dots$:

$$\Delta A_{CP} = (-15.4 \pm 2.9) \times 10^{-4}$$



LHCb: antimaterie verschillen



(ds)	1964: CP schending met K^0	(Nobelprijs 1980)
(bd)	2000: CP schending met B^0	(Nobelprijs 1998)
(bs)	2012: CP schending met B_s^0	(LHCb)
(cu)	2019: CP schending met D^0	(LHCb)

LHCb: highlights

- 1) Nieuwe 'gewone' hadronen
- 2) Nieuwe 'exotische' hadronen: Tetraquark en pentaquark
- 3) Ontdekking 'CP schending' B_s
- 4) Ontdekking 'CP schending' charm

Hot topic:

- 5) Verschil electron, muon, tau??

LHCb: hot topic

NewScientist
IDEEËN DIE DE WERELD VERANDEREN

Cern vindt nieuwe hint voor scheurtjes in standaardmodel

19 april 2017



George van Hal



mogelijke hint dat er meer is dan alleen het standaardmodel. Beeld: Cern.

de Volkskrant

CERN is 'voorzichtig opgewonden' over subtiële verschillen in deeltjeswereld

Een gevoel van 'voorzichtige opwindning' heeft zich meester gemaakt van deeltjesfysici van CERN in Genève. Dinsdag maakte de LHCb-detector daar bekend subtiële verschillen te zien tussen bepaalde deeltjes. De gangbare deeltjestheorie neemt aan dat deeltjes in essentie identiek zijn.

Martijn van Calmthout 19 april 2017, 21:29



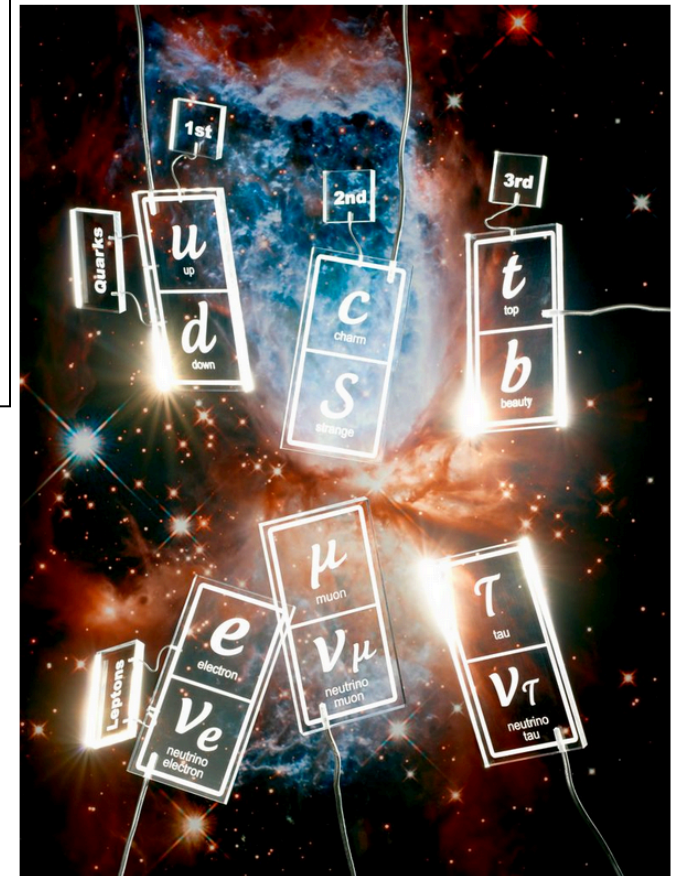
Wellicht is de deeltjeswereld niet zo democratisch als vooraf gedacht werd. Beeld: epa

de Volkskrant

Moeder aller deeltjes: de zoektocht naar de leptoquark

Is het fundamenteelste deeltje in het universum altijd over het hoofd gezien? Komende week kan de wereld opgeschud worden, als natuurkundigen in Seoul hun resultaten bekendmaken. Leptoquark, onthoud dat woord.

Martijn van Calmthout 29 juni 2018, 11:25



Beeld: Rein Janssen

LHCb: hot topic

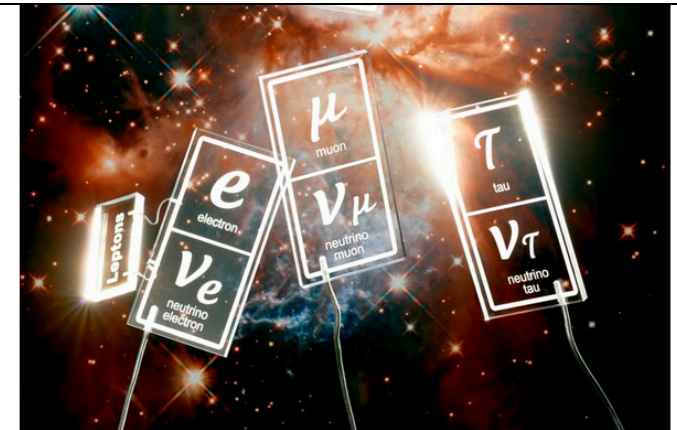
de Volkskrant

Moeder aller deeltjes: de zoektocht naar de leptoquark

Is het fundamenteelste deeltje in het universum altijd over het hoofd gezien? Komende week kan de wereld opgeschud worden, als natuurkundigen in Seoul hun resultaten bekendmaken. Leptoquark, onthoud dat woord.

Martijn van Calmthout 29 juni 2018, 11:25

Maar de LHCb-metingen geven al jaren kleine hints dat er iets mis is met deze keurige lepton-universaliteit. En dat elektronen en muonen ergens diep van binnen toch net iets anders met quarks omgaan.



Beeld Rein Janssen

$$t \rightarrow W^+ b$$

$$BR(t \rightarrow Wb) = \frac{\Gamma(t \rightarrow Wb)}{\Gamma(t \rightarrow Wb) + \Gamma(t \rightarrow Wc) + \Gamma(t \rightarrow Ws)}$$

$$= \frac{|V_{tb}|^2}{|V_{tb}|^2 + |V_{ts}|^2 + |V_{td}|^2}$$

$$\approx \frac{(0.9945)^2}{(0.9945)^2 + (0.0079)^2 + (0.004)^2}$$

$$= 99.82\%$$

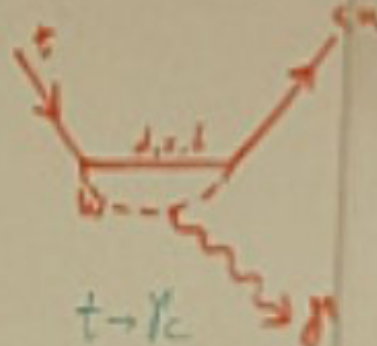


but F.C.N.C...



$$t \rightarrow Zc$$

$$t \rightarrow Zn$$



$$t \rightarrow Yc$$

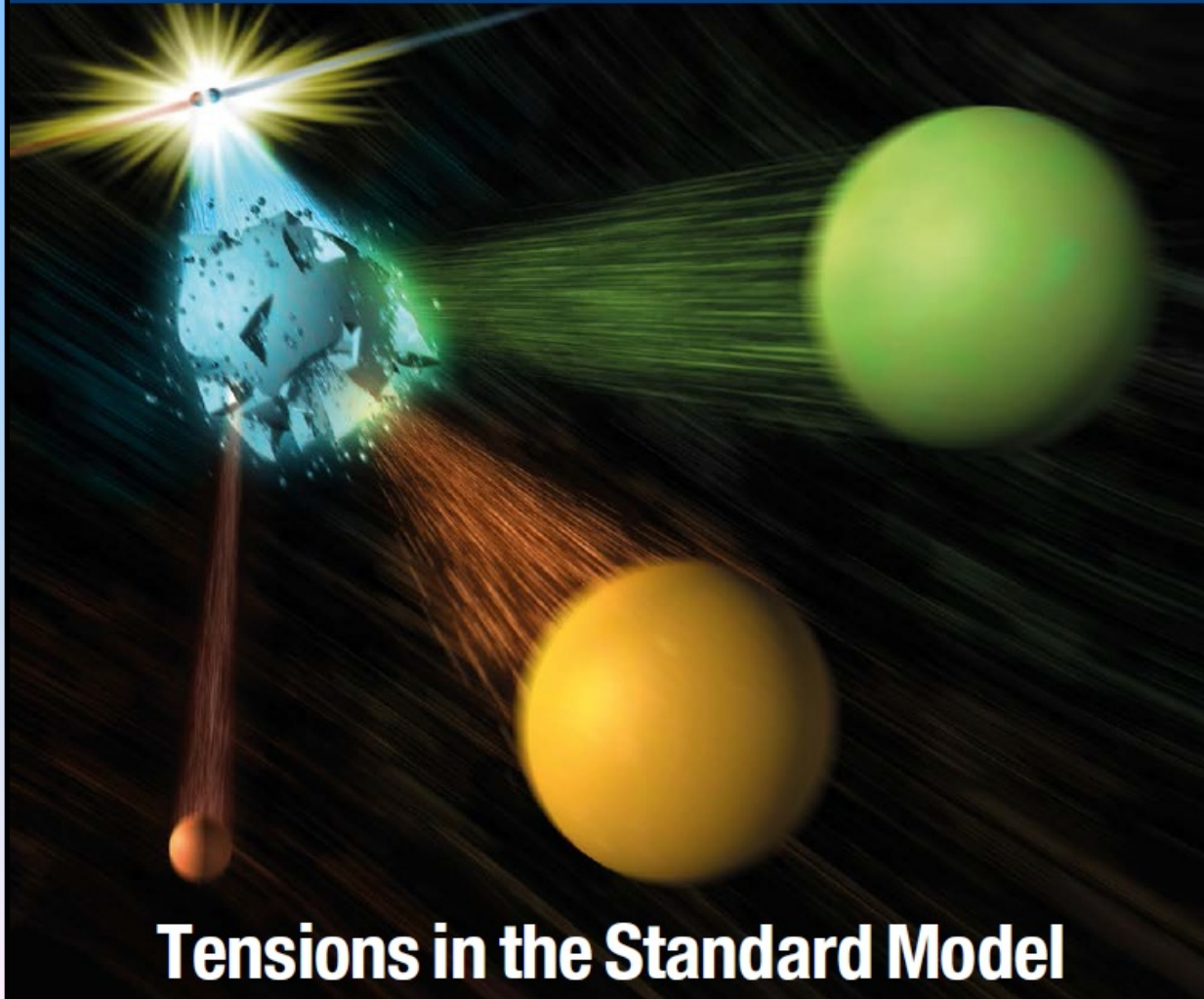
$$t \rightarrow Yn$$

$$U_{CKM} = \begin{pmatrix} c_{12}c_{13} & s_{12}c_{13} & s_{13}e^{-i\delta} \\ -s_{12}c_{13} - c_{12}s_{13}e^{i\delta} & c_{12}c_{13} & s_{13}e^{i\delta} \\ s_{12}s_{13} - c_{12}c_{13}e^{i\delta} & -s_{13}e^{i\delta} & c_{13} \end{pmatrix}$$

INTERNATIONAL JOURNAL OF HIGH-ENERGY PHYSICS

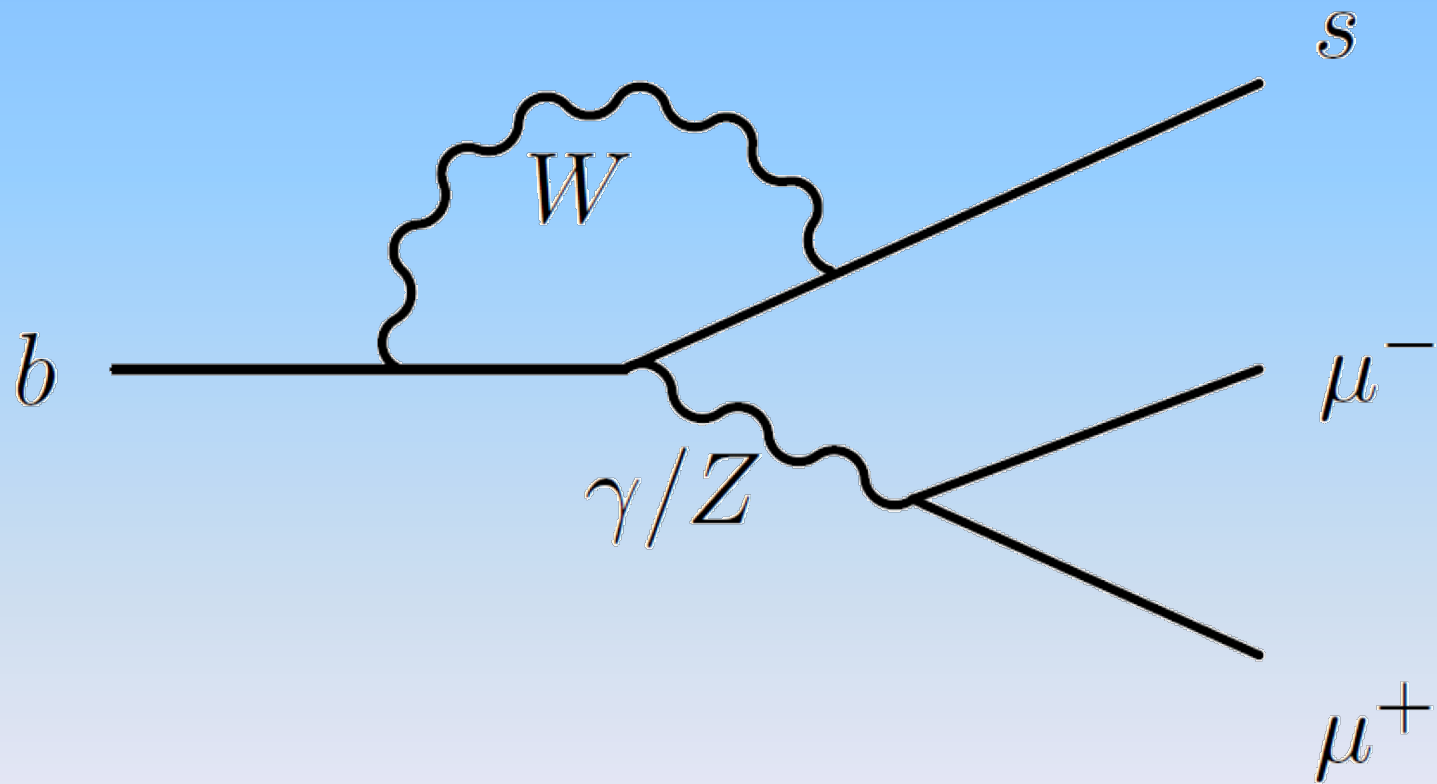
CERN COURIER

VOLUME 55 NUMBER 9 NOVEMBER 2015

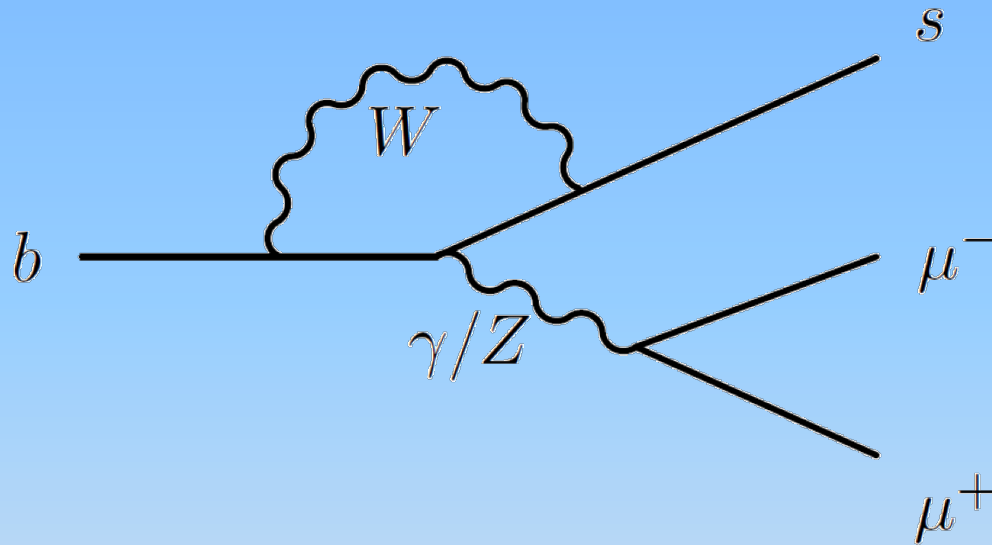


Tensions in the Standard Model

LHCb: hot topic



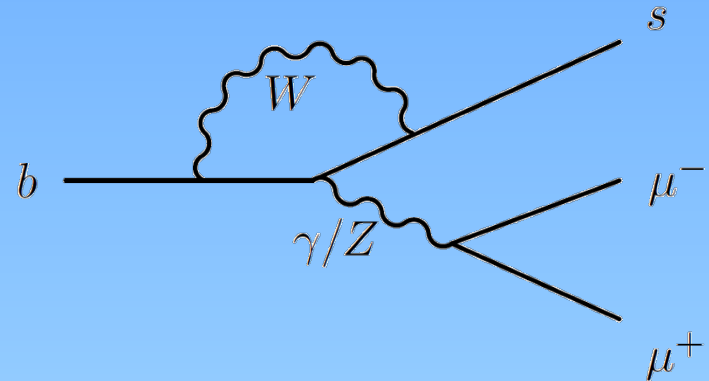
LHCb: hot topic



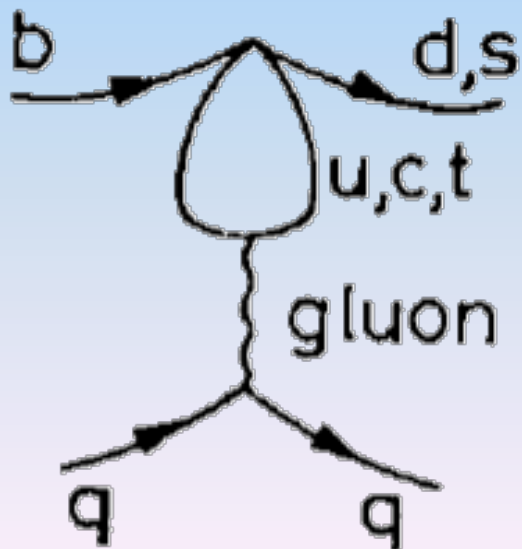
Flavour changing neutral current electroweak penguin

FCNC EWP

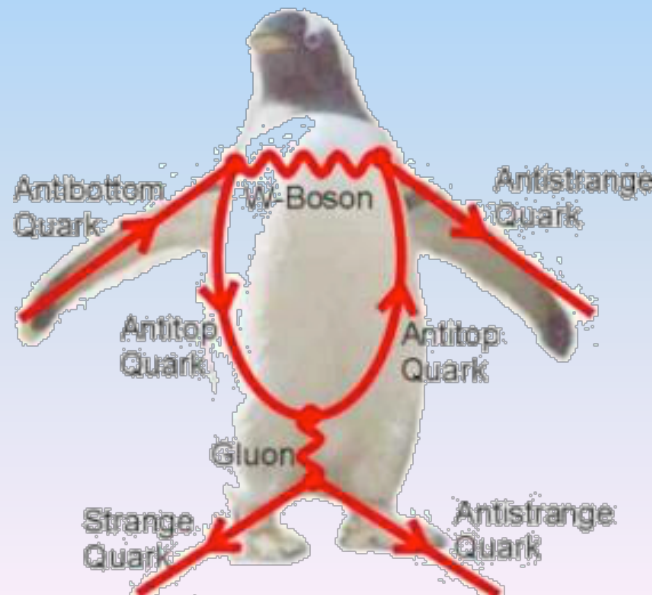
LHCb: hot topic



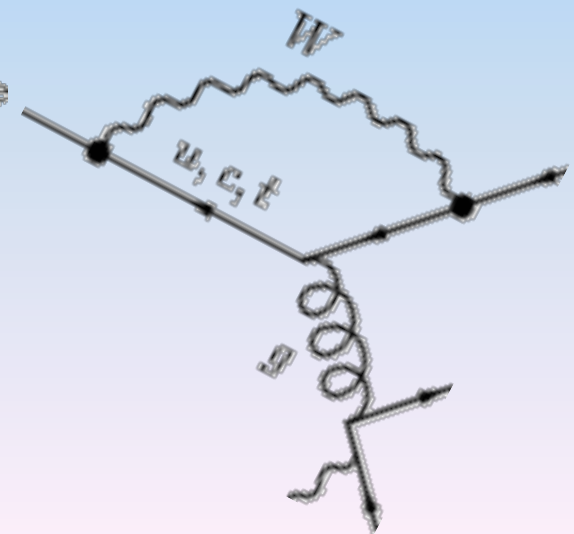
The original penguin:



A real penguin:

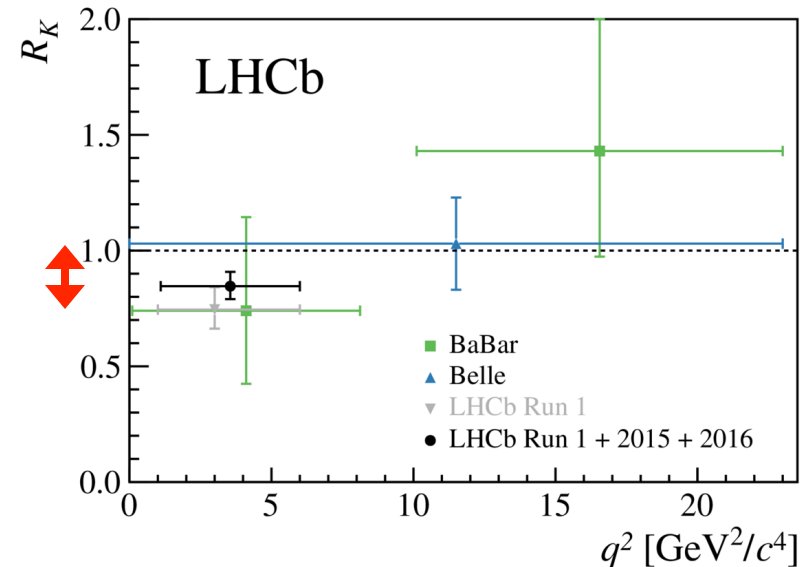
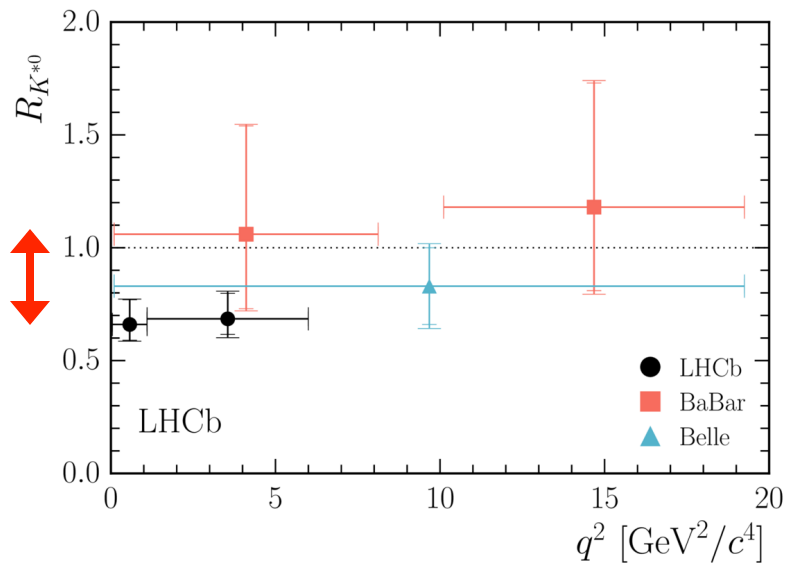
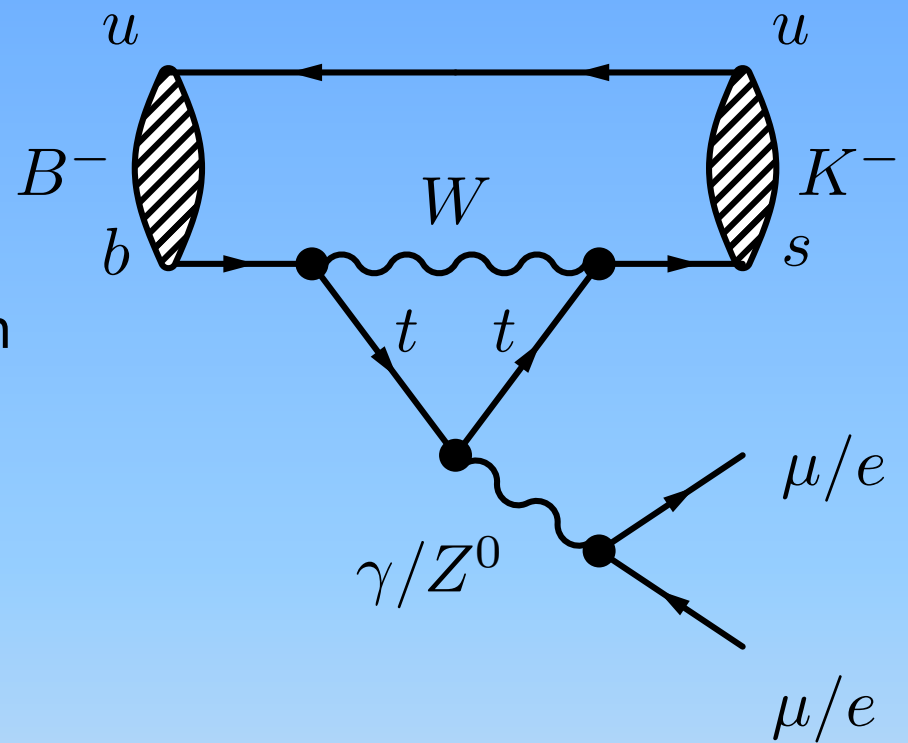


Our penguin:



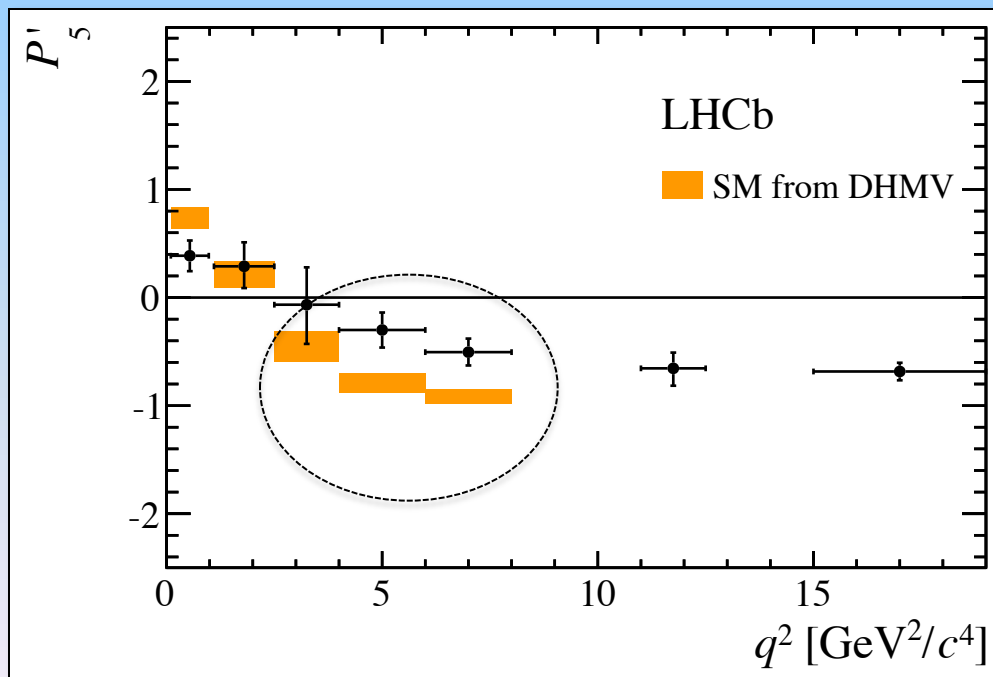
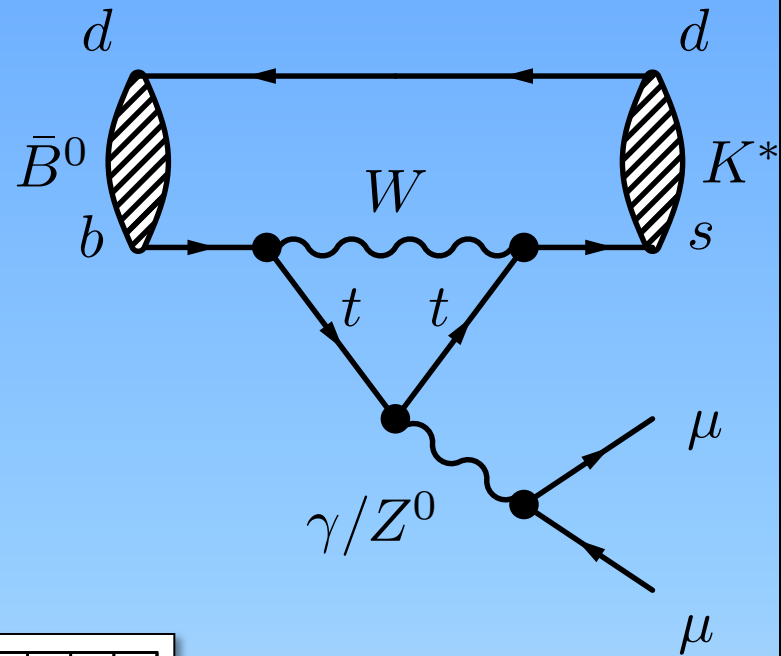
LHCb: hot topic

Electronen en muonen gedragen zich anders?



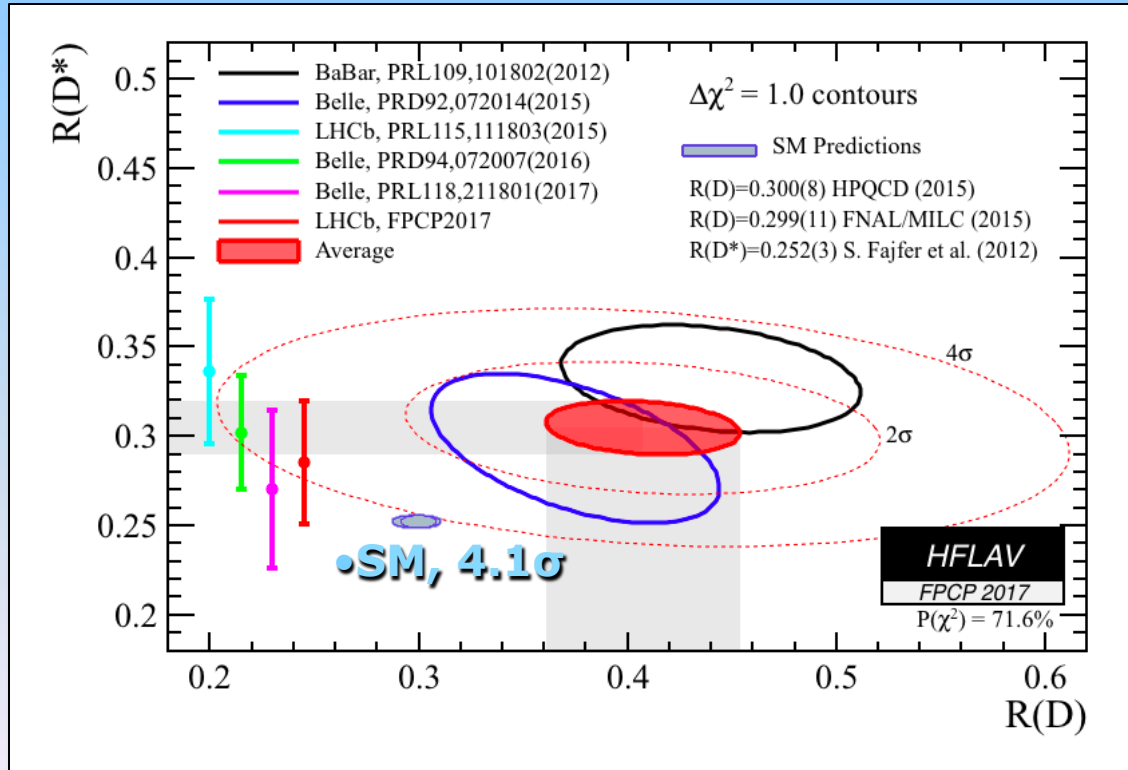
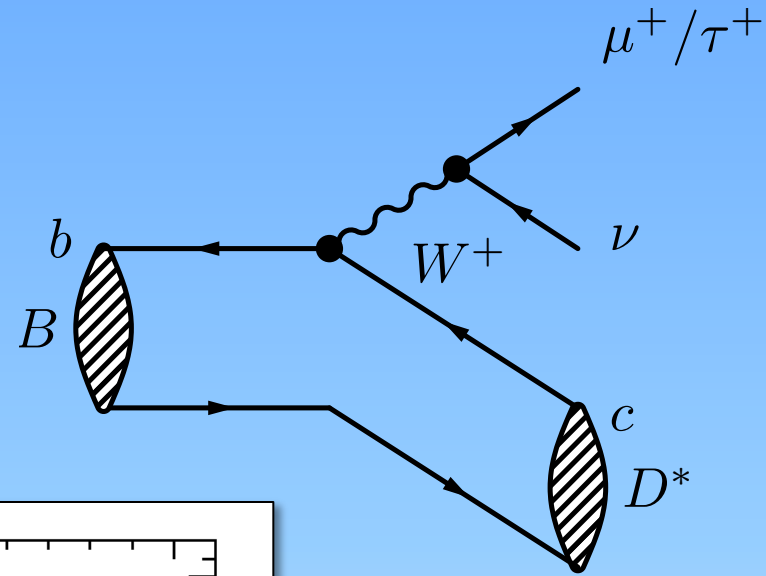
LHCb: hot topic

Ook hoekverdeling is anders...



LHCb: hot topic

En muonen en tau-deeltjes
gedragen zich anders??



LHCb: wat kan het zijn?

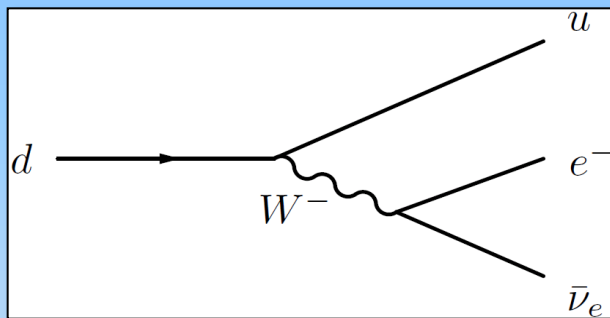
deVolkskrant

Moeder aller deeltjes: de zoektocht naar de leptoquark

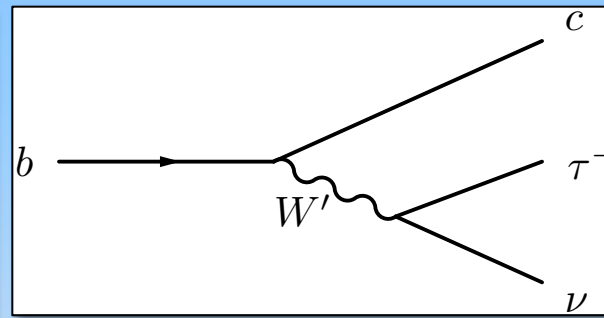
Is het fundamenteelste deeltje in het universum altijd over het hoofd gezien? Komende week kan de wereld opgeschud worden, als natuurkundigen in Seoul hun resultaten bekendmaken. Leptoquark, onthoud dat woord.

Martijn van Calmthout 29 juni 2018, 11:25

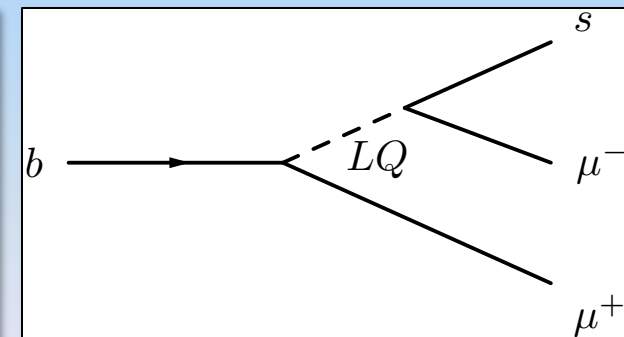
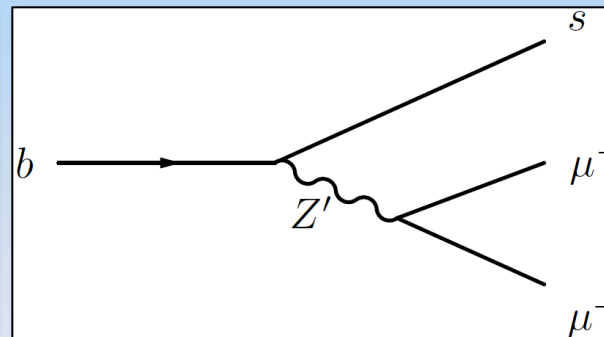
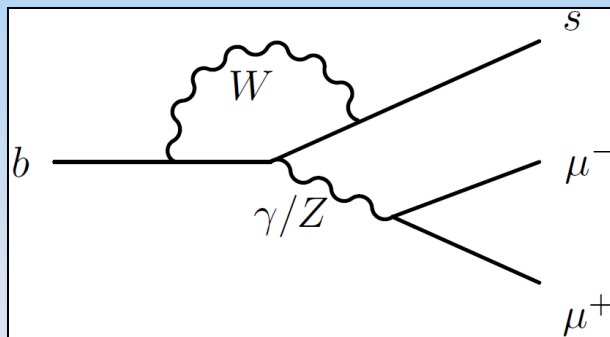
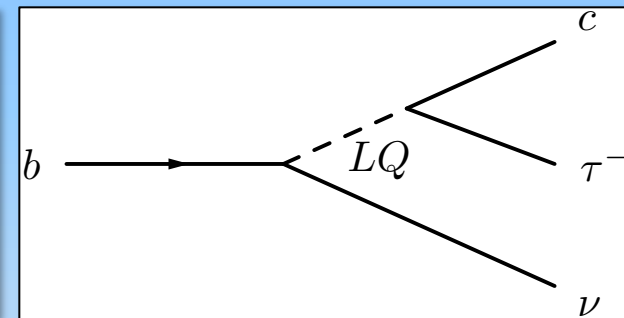
SM



SU(2)'



Leptoquark



Leptoquark, onthoud dat woord.

M. Van Calmthout

LHCb zoekt naar nieuwe deeltjes
om antwoorden te zoeken op grote vragen

II. Higgs??

II. Higgs??

(wat maakt deeltjes zwaar)

I. Anti-materie??

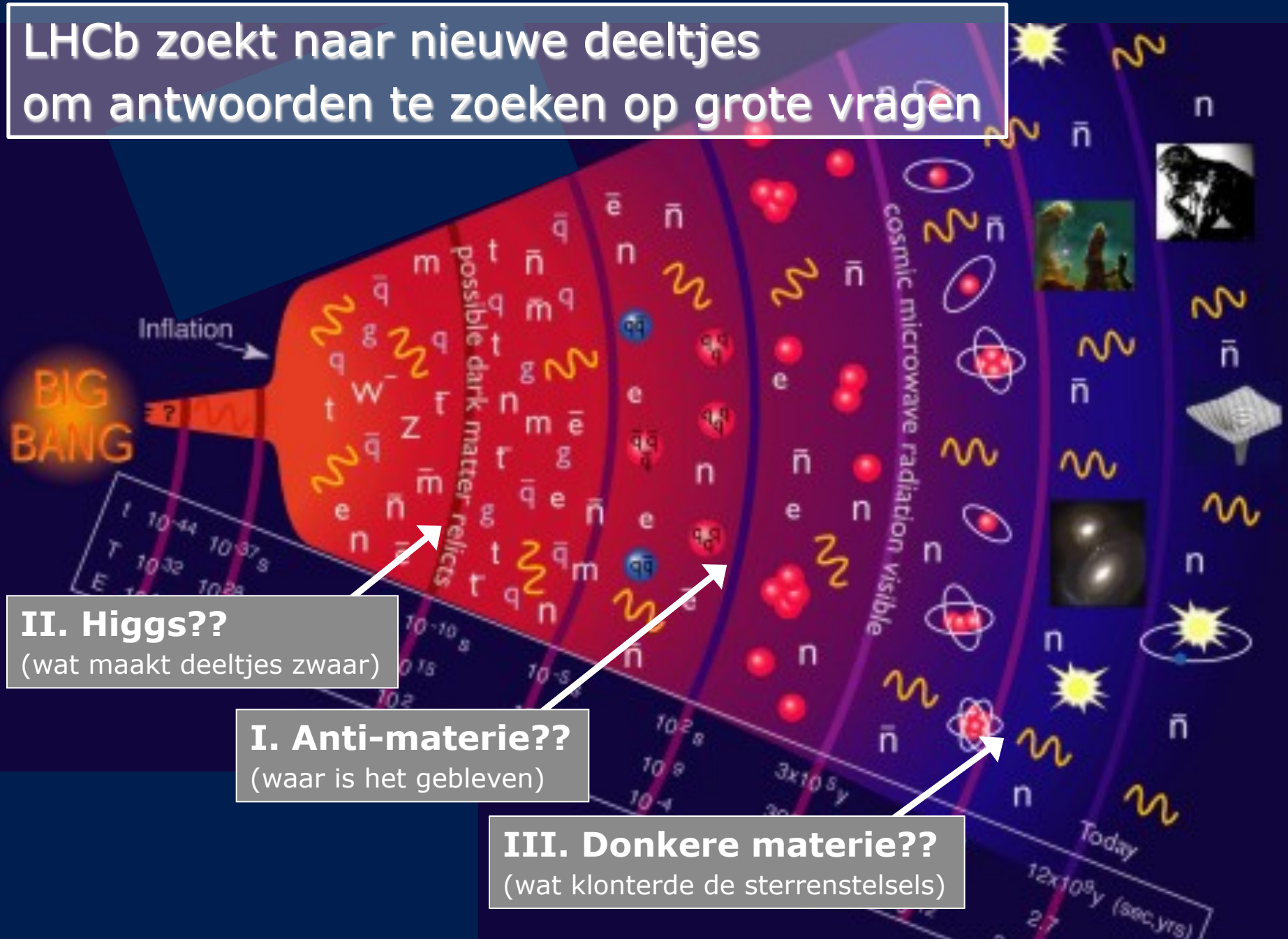
(waar is het gebleven)

I. Anti-materie??

(waar is het gebleven)

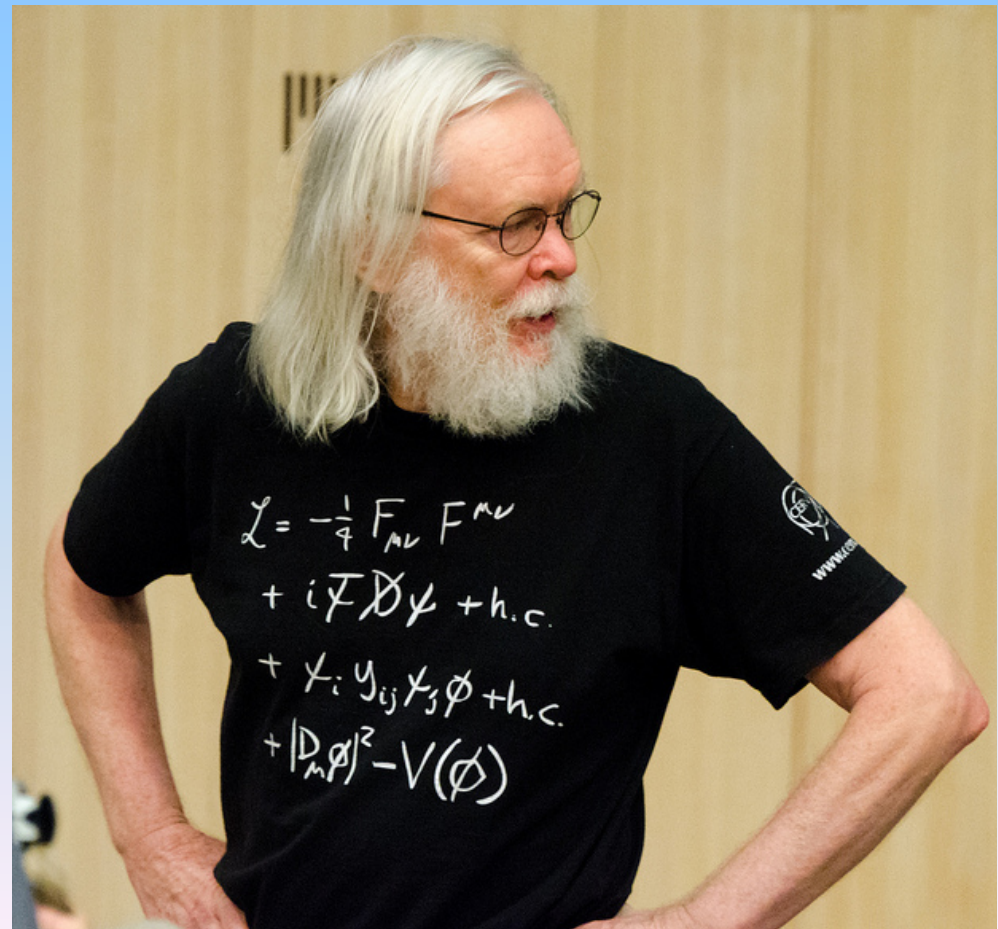
III. Donkere materie?? (wat klonterde de sterrenstelsels)

III. Donkere materie?? (wat klonterde de sterrenstelsels)



Higgs en LHCb

Waarom is de Higgs zo bijzonder?



ψ : "normale" deeltjes

φ : Higgs

De helft van het T-shirt gaat
over Higgs!

$$\mathcal{L} = -\frac{1}{4} F_{\mu\nu} F^{\mu\nu} + i\bar{\psi}\not{D}\psi + \bar{\psi}_i y_{ij} \psi_j \phi + |D_\mu \phi|^2 - V(\phi)$$

Quarks	u up	c charm	t top
	d down	s strange	b bottom

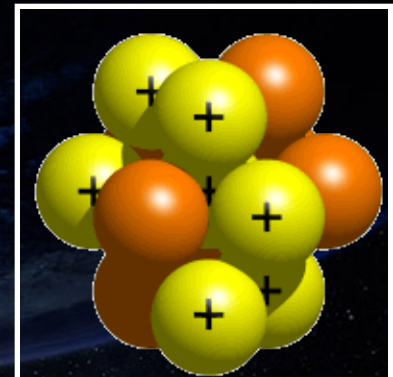
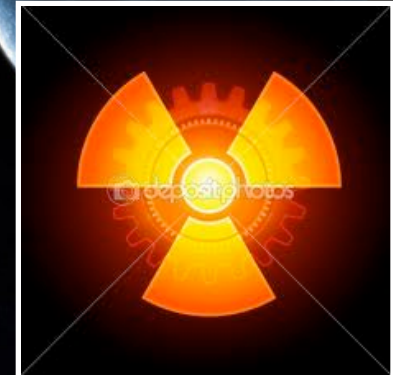
Leptons	ν_e electron neutrino	ν_μ muon neutrino	ν_τ tau neutrino
	e electron	μ muon	τ tau

γ photon	Force carriers
Z Z boson	
W W boson	
g gluon	

12 deeltjes

4 krachten

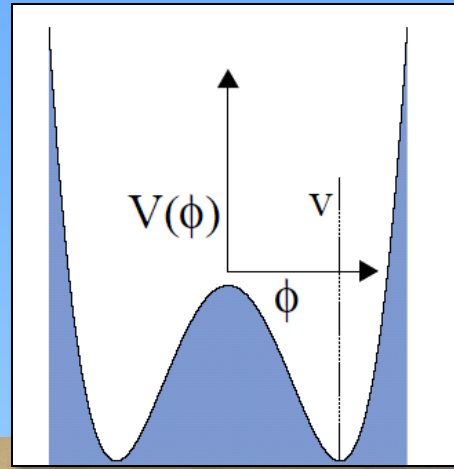
+ Higgs



Higgs en LHCb?

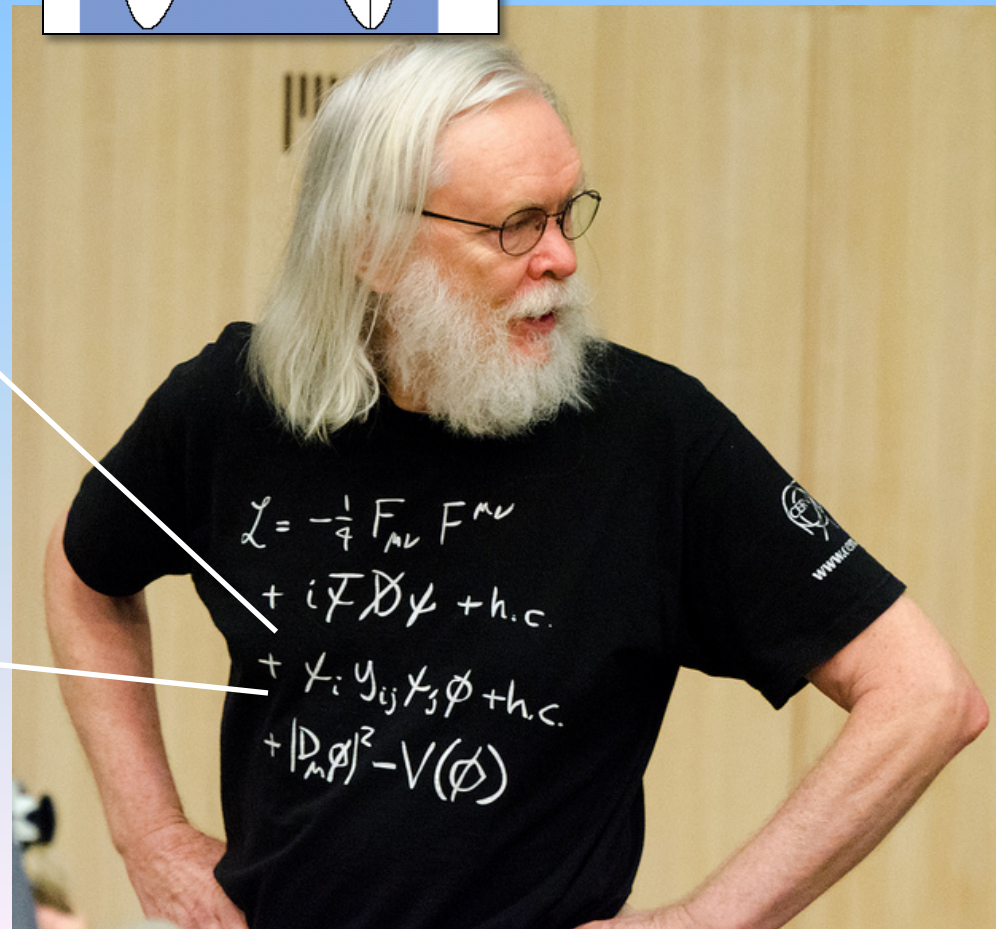
$$Y_{ij} \psi_i \psi_j \phi \rightarrow \underbrace{Y_{ij} \psi_i \psi_j}_{m: Y_{ij} v} (v + H) / \sqrt{2}$$

$$m: Y_{ij} v$$



$$\phi = \frac{v + h}{\sqrt{2}} e^{i\chi/v}$$

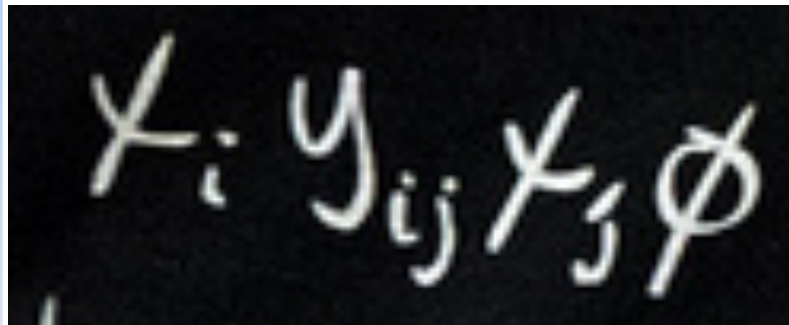
$$\mathcal{L} = y_{ij} \psi_i \psi_j \phi$$

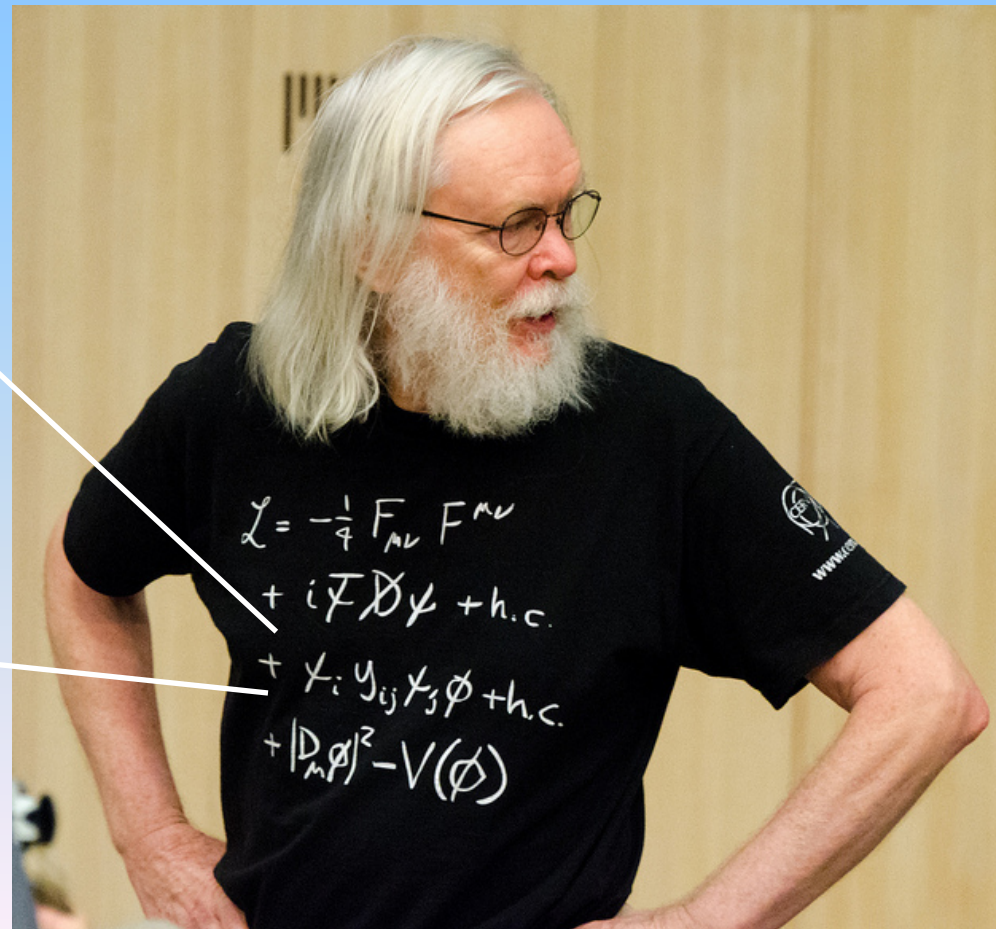


Higgs en LHCb?

ψ : quarks

Y_{ij} : koppeling tussen verschillende quarks i, j

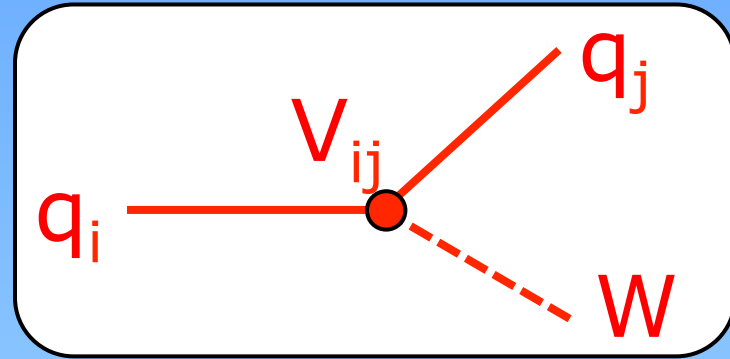

$$\mathcal{L} = -\frac{1}{4} F_{\mu\nu} F^{\mu\nu} + i\bar{\psi}\not{D}\psi + h.c. + \bar{\psi}_i Y_{ij} \psi_j \phi + h.c. + |D_\mu \phi|^2 - V(\phi)$$



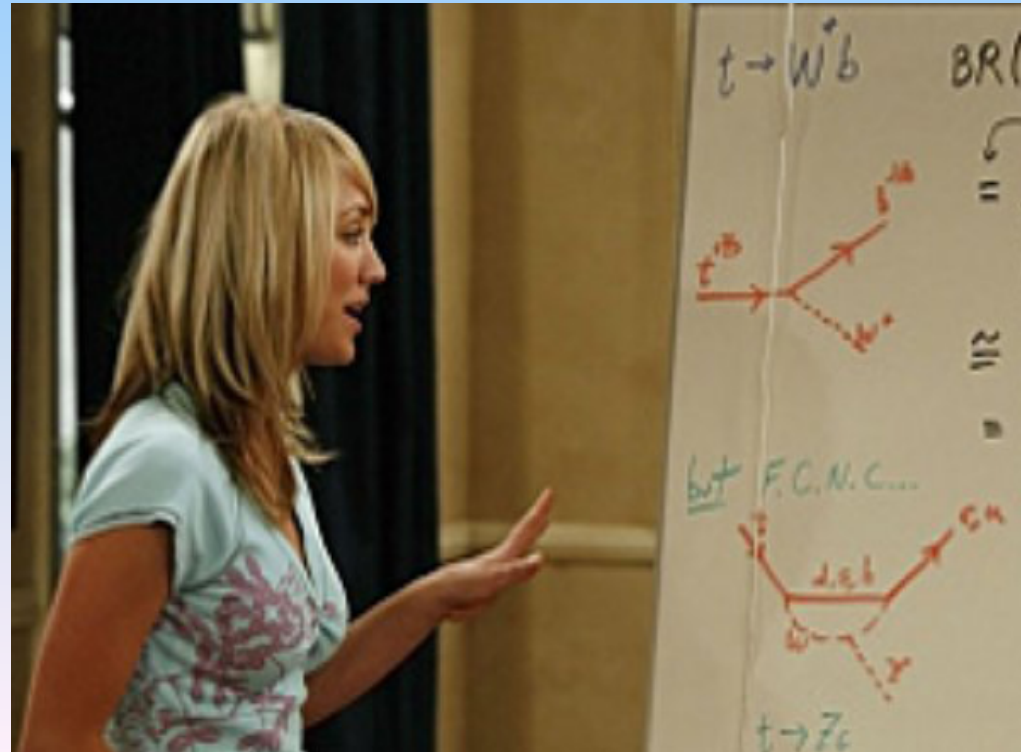
Higgs en LHCb?

ψ : quarks

Y_{ij} : koppeling tussen verschillende quarks i, j



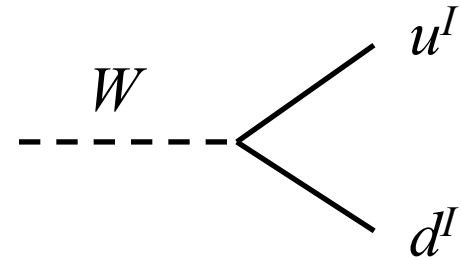
χ, y_{ij}, χ, ϕ



$$L_{SM} = L_{Kinetic} + L_{Higgs} + L_{Yukawa}$$

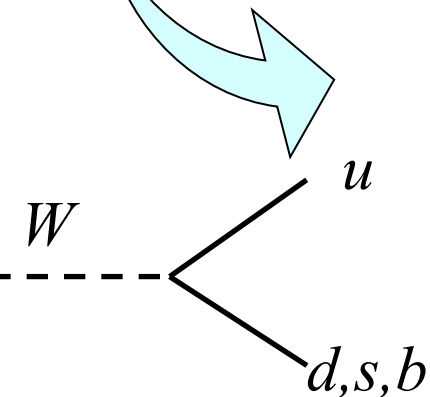
$$-L_{Yuk} = Y_{ij}^d (\bar{u}_L^I, \bar{d}_L^I)_i \begin{pmatrix} \varphi^+ \\ \varphi^0 \end{pmatrix} d_{Rj}^I + \dots$$

$$L_{Kinetic} = \frac{g}{\sqrt{2}} \bar{u}_{Li}^I \gamma^\mu W_\mu^- d_{Li}^I + \frac{g}{\sqrt{2}} \bar{d}_{Li}^I \gamma^\mu W_\mu^+ u_{Li}^I + \dots$$



- Diagonalize Yukawa matrix Y_{ij}
 - Mass terms
 - Quarks rotate
 - Off diagonal terms in charged current couplings

$$\begin{pmatrix} d^I \\ s^I \\ b^I \end{pmatrix} \rightarrow V_{CKM} \begin{pmatrix} d \\ s \\ b \end{pmatrix}$$



$$-L_{Mass} = (\bar{d}, \bar{s}, \bar{b})_L \begin{pmatrix} m_d & & \\ & m_s & \\ & & m_b \end{pmatrix} \begin{pmatrix} d \\ s \\ b \end{pmatrix}_R + (\bar{u}, \bar{c}, \bar{t})_L \begin{pmatrix} m_u & & \\ & m_c & \\ & & m_t \end{pmatrix} \begin{pmatrix} u \\ c \\ t \end{pmatrix}_R + \dots$$

$$L_{CKM} = \frac{g}{\sqrt{2}} \bar{u}_i \gamma^\mu W_\mu^- V_{ij} (1 - \gamma^5) d_j + \frac{g}{\sqrt{2}} \bar{d}_j \gamma^\mu W_\mu^+ V_{ij}^* (1 - \gamma^5) u_i + \dots$$

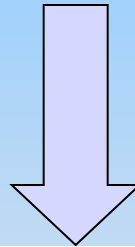
$$L_{SM} = L_{CKM} + L_{Higgs} + L_{Mass}$$

What do we know about the CKM matrix?

Magnitudes of elements have been measured over time

- Result of a *large* number of measurements and calculations

$$\begin{pmatrix} d' \\ s' \\ b' \end{pmatrix} = \begin{pmatrix} V_{ud} & V_{us} & V_{ub} \\ V_{cd} & V_{cs} & V_{cb} \\ V_{td} & V_{ts} & V_{tb} \end{pmatrix} \begin{pmatrix} d \\ s \\ b \end{pmatrix}$$

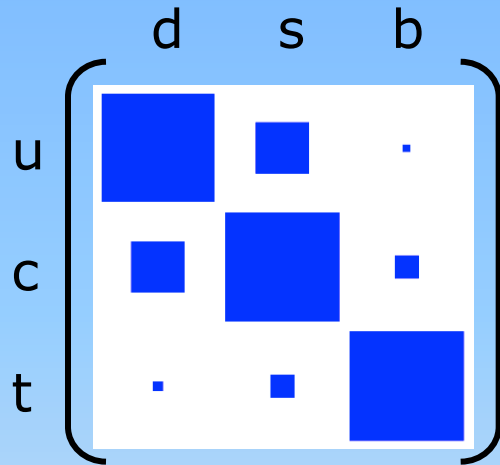


$$\begin{pmatrix} |V_{ud}| & |V_{us}| & |V_{ub}| \\ |V_{cd}| & |V_{cs}| & |V_{cb}| \\ |V_{td}| & |V_{ts}| & |V_{tb}| \end{pmatrix} = \begin{pmatrix} 0.97419 & 0.2257 & 0.00359 \\ 0.2256 & 0.97334 & 0.0415 \\ 0.00874 & 0.0407 & 0.999133 \end{pmatrix} \pm \begin{pmatrix} 0.00022 & 0.0010 & 0.00016 \\ 0.0010 & 0.00023 & 0.0011 \\ 0.00037 & 0.0010 & 0.000044 \end{pmatrix}$$

• **Magnitude of elements shown only, no information of phase**

Higgs en LHCb?

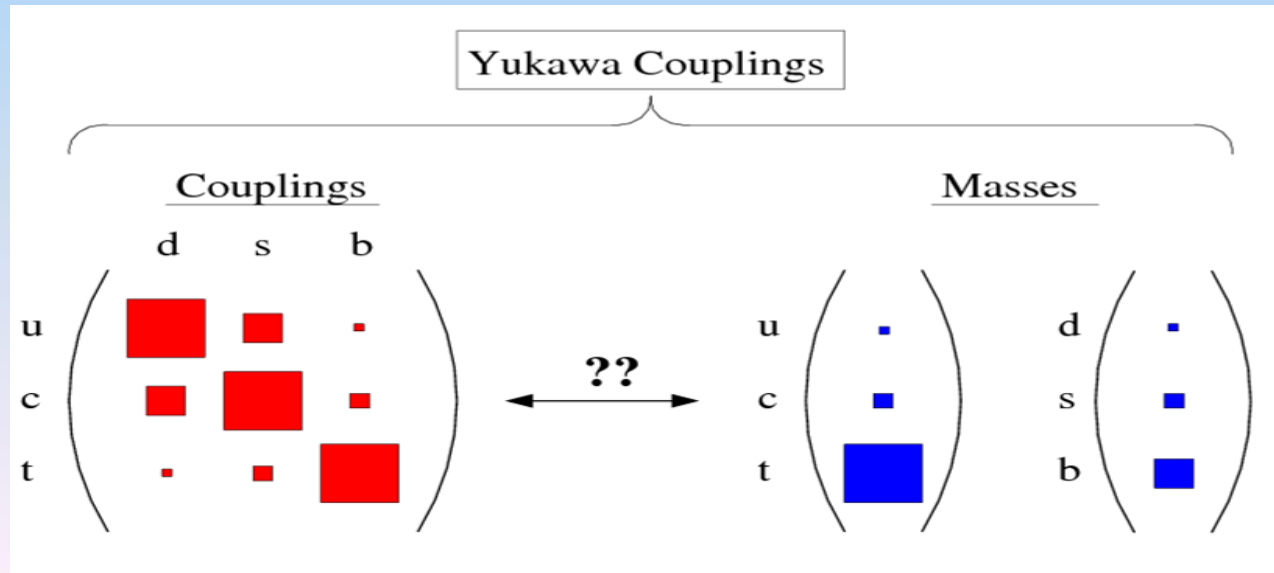
Quark koppelingen:



Waarom dit patroon in quark koppelingen?

Waarom dit patroon in quark massa's?

→ **Is er een verband?**



Intermezzo: How about the leptons?

the equivalent of the CKM matrix

– *Pontecorvo-Maki-Nakagawa-Sakata matrix*

$$\begin{bmatrix} \nu_e \\ \nu_\mu \\ \nu_\tau \end{bmatrix} = \begin{bmatrix} U_{e1} & U_{e2} & U_{e3} \\ U_{\mu1} & U_{\mu2} & U_{\mu3} \\ U_{\tau1} & U_{\tau2} & U_{\tau3} \end{bmatrix} \begin{bmatrix} \nu_1 \\ \nu_2 \\ \nu_3 \end{bmatrix} \quad \bullet \text{vs} \quad \begin{bmatrix} |d'\rangle \\ |s'\rangle \\ |b'\rangle \end{bmatrix} = \begin{bmatrix} V_{ud} & V_{us} & V_{ub} \\ V_{cd} & V_{cs} & V_{cb} \\ V_{td} & V_{ts} & V_{tb} \end{bmatrix} \begin{bmatrix} |d\rangle \\ |s\rangle \\ |b\rangle \end{bmatrix}.$$

a completely different hierarchy!

$$U_{MNSP} \approx \begin{pmatrix} 0.85 & 0.53 & 0 \\ -0.37 & 0.60 & 0.71 \\ -0.37 & 0.60 & -0.71 \end{pmatrix}$$

$$V_{CKM} = \begin{pmatrix} 0.97428 & 0.2253 & 0.00347 \\ 0.2252 & 0.97345 & 0.0410 \\ 0.00862 & 0.0403 & 0.999152 \end{pmatrix}$$

Intermezzo: How about the leptons?

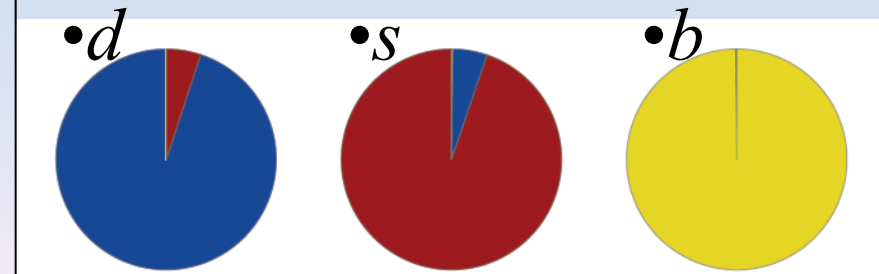
the equivalent of the CKM matrix

– Pontecorvo-Maki-Nakagawa-Sakata matrix

$$\begin{bmatrix} \nu_e \\ \nu_\mu \\ \nu_\tau \end{bmatrix} = \begin{bmatrix} U_{e1} & U_{e2} & U_{e3} \\ U_{\mu1} & U_{\mu2} & U_{\mu3} \\ U_{\tau1} & U_{\tau2} & U_{\tau3} \end{bmatrix} \begin{bmatrix} \nu_1 \\ \nu_2 \\ \nu_3 \end{bmatrix} \quad \bullet \text{vs} \quad \begin{bmatrix} |d'\rangle \\ |s'\rangle \\ |b'\rangle \end{bmatrix} = \begin{bmatrix} V_{ud} & V_{us} & V_{ub} \\ V_{cd} & V_{cs} & V_{cb} \\ V_{td} & V_{ts} & V_{tb} \end{bmatrix} \begin{bmatrix} |d\rangle \\ |s\rangle \\ |b\rangle \end{bmatrix}.$$

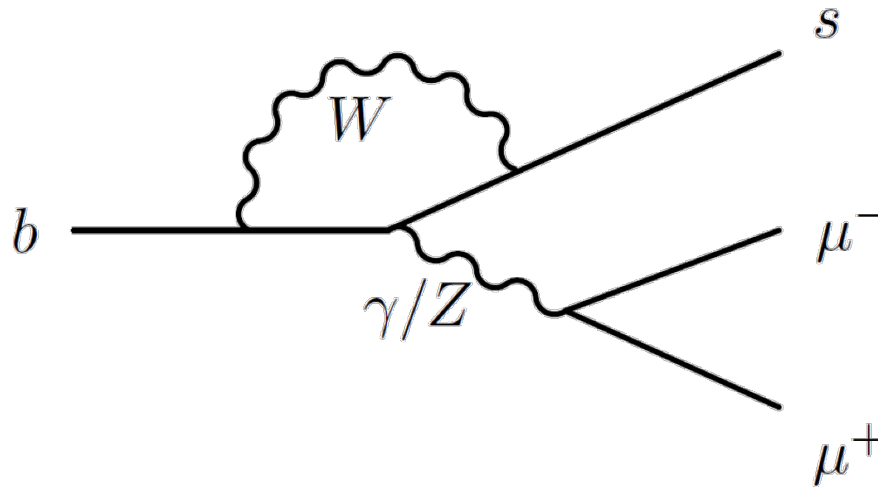
a completely different hi

$$\begin{pmatrix} |U_{e1}|^2 & |U_{e2}|^2 & |U_{e3}|^2 \\ |U_{\mu1}|^2 & |U_{\mu2}|^2 & |U_{\mu3}|^2 \\ |U_{\tau1}|^2 & |U_{\tau2}|^2 & |U_{\tau3}|^2 \end{pmatrix} \approx \begin{pmatrix} \frac{2}{3} & \frac{1}{3} & 0 \\ \frac{1}{6} & \frac{1}{3} & \frac{1}{2} \\ \frac{1}{6} & \frac{1}{3} & \frac{1}{2} \end{pmatrix}$$



Take home message

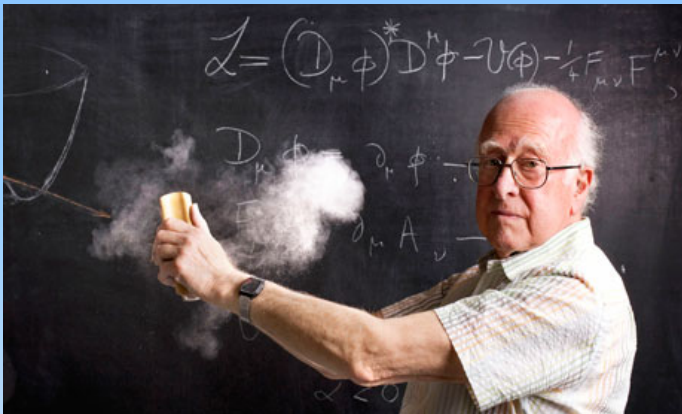
- 1) LHCb zoekt verschillen tussen materie en antimaterie
- 2) LHCb kan zeer zware deeltjes vinden (maar alleen *virtueel*)
- 3) Nieuwe deeltjes helpen om grote vragen te beantwoorden



Einde

Wat snappen we nog niet?

Massa van deeltjes



Bijzondere voorspelling:

Het Higgs boson:

zorgt ervoor dat deeltjes massa kunnen hebben in de theorie

Neutrino's

- Elektron

- Muon

- Tau

- up, down, strange

- charm

Top quark

- bottom

Wat is massa ?? Anno 1687

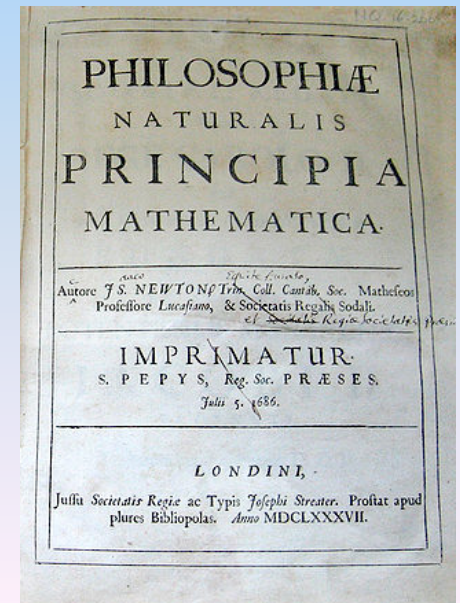
Massa is de 'wisselkoers' tussen kracht en versnelling:

$$F = m \times a$$

Beschrijft niet wat massa **is** ...



Newton



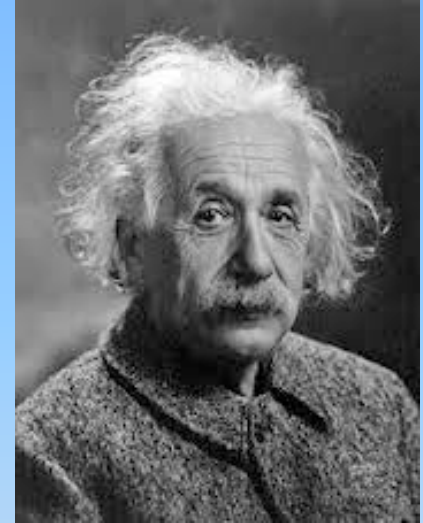
Wat is massa ?? Anno 1905

Massa is energie

$$E = m \times c^2$$

Beschrijft wel wat massa **is** !

Maar niet waar het vandaan komt ...



Einstein

13. *Ist die Trägheit eines Körpers von seinem Energieinhalt abhängig?*
von A. Einstein.

Die Resultate einer jüngst in diesen Annalen von mir publizierten elektrodynamischen Untersuchung¹⁾ führen zu einer sehr interessanten Folgerung, die hier abgeleitet werden soll.

Ich legte dort die Maxwell-Hertz'schen Gleichungen für den leeren Raum nebst dem Maxwellschen Ausdruck für die elektromagnetische Energie des Raumes zugrunde und außerdem das Prinzip:

Die Gesetze, nach denen sich die Zustände der physikalischen Systeme ändern, sind unabhängig davon, auf welches von zwei relativ zueinander in gleichförmiger Parallel-Translationsbewegung befindlichen Koordinatensystemen diese Zustandsänderungen bezogen werden (Relativitätsprinzip).

Gestützt auf diese Grundlagen²⁾ leitete ich unter anderem das nachfolgende Resultat ab (l. c. § 8):

Ein System von ebenen Lichtwellen besitze, auf das Koordinatensystem (x, y, z) bezogen, die Energie l ; die Strahlrichtung (Wellennormale) bilde den Winkel φ mit der x -Achse des Systems. Führt man ein neues, gegen das System (x, y, z) in gleichförmiger Paralleltranslation begriffenes Koordinatensystem (ξ, η, ζ) ein, dessen Ursprung sich mit der Geschwindigkeit v längs der x -Achse bewegt, so besitzt die genannte Lichtmenge — im System (ξ, η, ζ) gemessen — die Energie:

$$l' = l \frac{1 - \frac{v}{V} \cos \varphi}{\sqrt{1 - \left(\frac{v}{V}\right)^2}}$$

wobei V die Lichtgeschwindigkeit bedeutet. Von diesem Resultat machen wir im folgenden Gebrauch.

1) A. Einstein, Ann. d. Phys. 17. p. 891. 1905.

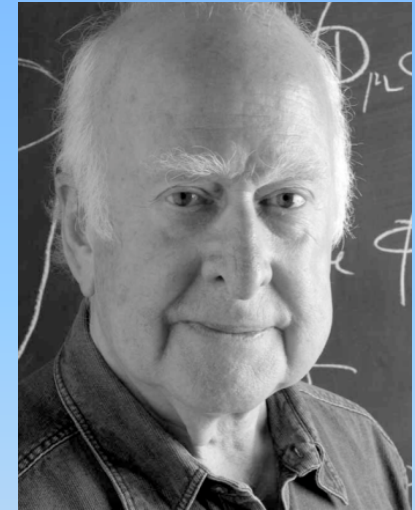
2) Das dort benutzte Prinzip der Konstanz der Lichtgeschwindigkeit ist natürlich in den Maxwellschen Gleichungen enthalten.

Wat is massa ?? Anno 1964

Massa van elementaire deeltjes komt door
“wrijving” met alomtegenwoordig ‘Higgs veld’

$$m: \psi\psi H$$

Huh?



Higgs



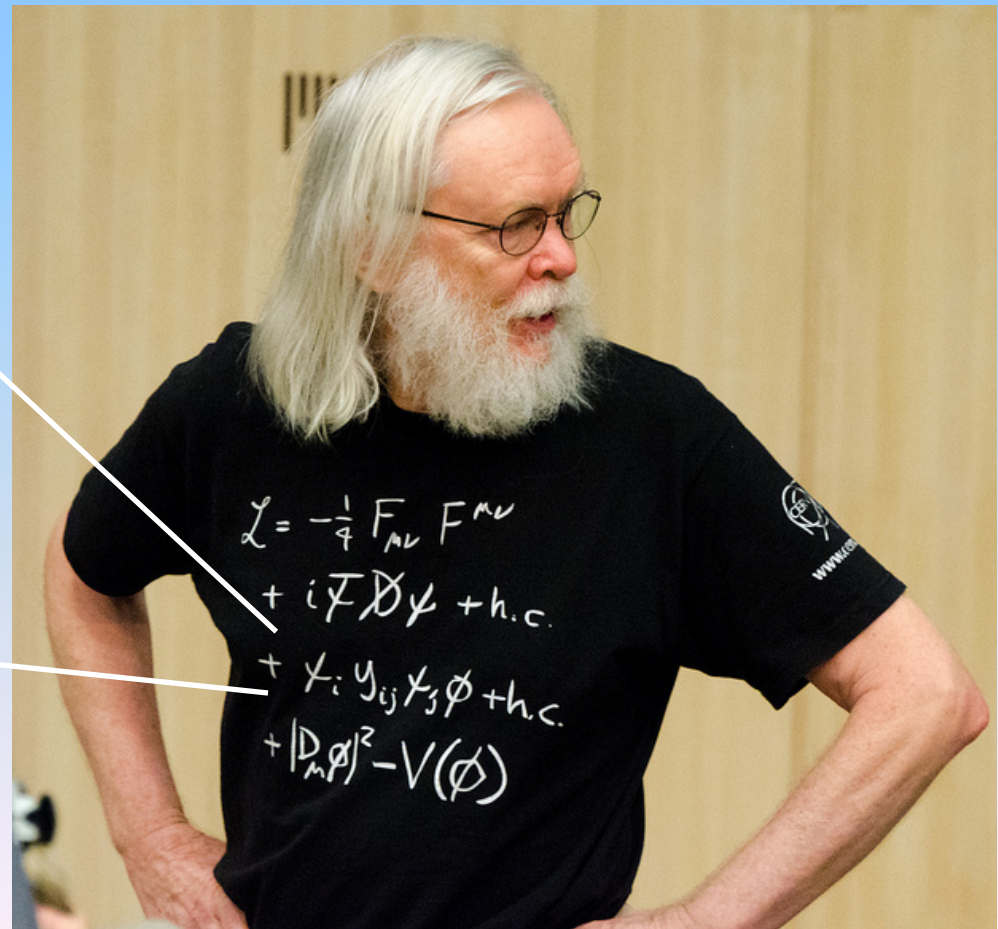
Wat is massa ?? Anno 1964

Massa van elementaire deeltjes komt door
“wrijving” met alomtegenwoordig ‘Higgs veld’

$$m: \psi\psi H$$



$$\mathcal{L} = -\frac{1}{4} F_{\mu\nu} F^{\mu\nu} + i\bar{\psi}\not{D}\psi + h.c. + \psi_i y_{ij} \psi_j \phi + h.c. + |D_\mu \phi|^2 - V(\phi)$$



Nee, dit is niet Pierre, dit is John Ellis

Modelleren van interactie

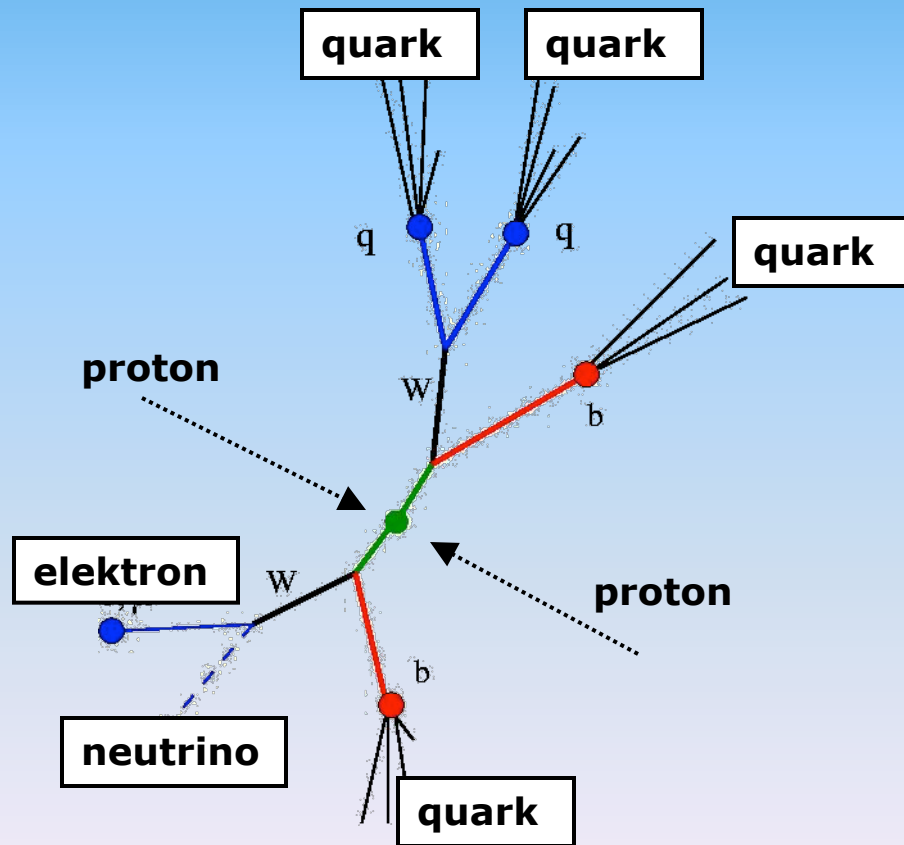
Standaard Model Lagrangiaan

$$\begin{aligned}
 & -\frac{1}{2}\partial_\nu g_\mu^a \partial_\nu g_\mu^a - g_s f^{abc} \partial_\mu g_\mu^a g_\mu^b g_\mu^c - \frac{1}{4}g_s^2 f^{abc} f^{ade} g_\mu^a g_\mu^b g_\mu^c g_\mu^d g_\mu^e + \frac{1}{2}ig_2^2 (\bar{q}_i^\alpha \gamma^\mu q_j^\alpha) g_\mu^a + \\
 & \bar{G}^a \partial^2 G^a + g_s f^{abc} \partial_\mu \bar{G}^a G^b g_\mu^c - \partial_\mu W_\mu^+ \partial_\nu W_\nu^- - M^2 W_\mu^+ W_\mu^- - \frac{1}{2}\partial_\nu Z_\mu^0 \partial_\nu Z_\mu^0 - \frac{1}{2}M^2 Z_\mu^0 Z_\mu^0 - \\
 & \frac{1}{2}\partial_\mu A_\nu \partial_\mu A_\nu - \frac{1}{2}\partial_\mu H \partial_\mu H - \frac{1}{2}m_H^2 H^2 - \partial_\mu \phi^+ \partial_\mu \phi^- - M^2 \phi^+ \phi^- - \frac{1}{2}\partial_\mu \phi^0 \partial_\mu \phi^0 - \\
 & \frac{1}{2c_w^2} M \phi^0 \phi^0 - \beta_h \left[\frac{2M^2}{g^2} + \frac{2M}{g} H + \frac{1}{2} (H^2 + \phi^0 \phi^0 + 2\phi^+ \phi^-) \right] + \frac{2M^2}{g^2} \alpha_h - ig_{cw} [\partial_\nu Z_\mu^0 (W_\mu^+ W_\nu^- - \\
 & W_\mu^- W_\nu^+) - Z_\mu^0 (W_\mu^+ \partial_\nu W_\nu^- - W_\mu^- \partial_\nu W_\nu^+) + Z_\mu^0 (W_\nu^+ \partial_\nu W_\mu^- - W_\nu^- \partial_\nu W_\mu^+)] - ig_{sw} [\partial_\nu A_\mu (W_\mu^+ W_\nu^- - \\
 & W_\mu^- W_\nu^+) - A_\nu (W_\mu^+ \partial_\nu W_\mu^- - W_\mu^- \partial_\nu W_\mu^+) + A_\nu (W_\nu^+ \partial_\nu W_\mu^- - W_\nu^- \partial_\nu W_\mu^+)] - \frac{1}{2}g^2 W_\mu^+ W_\mu^- W_\nu^+ W_\nu^- + \\
 & \frac{1}{2}g^2 W_\mu^+ W_\nu^- W_\nu^+ W_\mu^- + g^2 c_w^2 (Z_\mu^0 W_\nu^+ Z_\nu^0 W_\mu^- - Z_\mu^0 Z_\nu^0 W_\mu^+ W_\nu^-) + g^2 s_w^2 (A_\mu W_\nu^+ A_\nu W_\mu^- - \\
 & A_\mu A_\nu W_\mu^+ W_\nu^-) + g^2 s_w c_w [A_\mu Z_\nu^0 (W_\mu^+ W_\nu^- - W_\mu^- W_\nu^+) - 2A_\nu Z_\mu^0 W_\mu^+ W_\nu^-] - g\alpha [H^3 + \\
 & H\phi^0 \phi^0 + 2H\phi^+ \phi^-] - \frac{1}{8}g^2 \alpha_h [H^4 + (\phi^0)^4 + 4(\phi^+ \phi^-)^2 + 4(\phi^0)^2 \phi^+ \phi^- + 4H^2 \phi^+ \phi^- + \\
 & 2(\phi^0)^2 H^2] - gMW_\mu^+ W_\mu^- H - \frac{1}{2}g \frac{M}{c_w} Z_\mu^0 Z_\mu^0 H - \frac{1}{2}ig [W_\mu^+ (\phi^0 \partial_\mu \phi^- - \phi^- \partial_\mu \phi^0) - W_\mu^- (\phi^0 \partial_\mu \phi^+ - \\
 & \phi^+ \partial_\mu \phi^0)] + \frac{1}{2}g [W_\mu^+ (H\partial_\mu \phi^- - \phi^- \partial_\mu H) - W_\mu^- (H\partial_\mu \phi^+ - \phi^+ \partial_\mu H)] + \frac{1}{2}g \frac{1}{c_w} [Z_\mu^0 (H\partial_\mu \phi^0 - \\
 & \phi^0 \partial_\mu H) - ig \frac{s_w}{c_w} M Z_\mu^0 (W_\mu^+ \phi^- - W_\mu^- \phi^+) + ig_{sw} M A_\mu (W_\mu^+ \phi^- - W_\mu^- \phi^+) - ig \frac{1-2c_w^2}{2c_w} Z_\mu^0 (\phi^+ \partial_\mu \phi^- - \\
 & \phi^- \partial_\mu \phi^+) + ig_{sw} A_\mu (\phi^+ \partial_\mu \phi^- - \phi^- \partial_\mu \phi^+) - \frac{1}{4}g^2 W_\mu^+ W_\mu^- [H^2 + (\phi^0)^2 + 2\phi^+ \phi^-] - \\
 & \frac{1}{4}g^2 \frac{1}{c_w^2} Z_\mu^0 Z_\mu^0 [H^2 + (\phi^0)^2 + 2(2s_w^2 - 1)^2 \phi^+ \phi^-] - \frac{1}{2}g^2 \frac{s_w^2}{c_w^2} Z_\mu^0 \phi^0 (W_\mu^+ \phi^- + W_\mu^- \phi^+) - \\
 & \frac{1}{2}ig^2 \frac{s_w^2}{c_w^2} Z_\mu^0 H (W_\mu^+ \phi^- - W_\mu^- \phi^+) + \frac{1}{2}g^2 s_w A_\mu \phi^0 (W_\mu^+ \phi^- + W_\mu^- \phi^+) + \frac{1}{2}ig^2 s_w A_\nu H (W_\mu^+ \phi^- - \\
 & W_\mu^- \phi^+) - g^2 \frac{s_w}{c_w} (2c_w^2 - 1) Z_\mu^0 A_\mu \phi^+ \phi^- - g^2 s_w^2 A_\mu A_\mu \phi^+ \phi^- - e^2 (\gamma \partial + m_\phi^2) e^\lambda - \\
 & \bar{\nu}^\lambda \gamma \partial \nu^\lambda - \bar{u}_j^\lambda (\gamma \partial + m_u^2) u_j^\lambda - \bar{d}_j^\lambda (\gamma \partial + m_d^2) d_j^\lambda + ig_{sw} A_\mu [-(\bar{e}^\lambda \gamma^\mu e^\lambda) + \frac{2}{3}(\bar{u}_j^\lambda \gamma^\mu u_j^\lambda) - \\
 & \frac{1}{3}(\bar{d}_j^\lambda \gamma^\mu d_j^\lambda)] + \frac{ig}{4c_w} Z_\mu^0 [(\bar{\nu}^\lambda \gamma^\mu \nu^\lambda) + (\bar{e}^\lambda \gamma^\mu e^\lambda) + 4s_w^2 (1 - \gamma^5) e^\lambda] + (\bar{u}_j^\lambda \gamma^\mu (\frac{2}{3}s_w^2 - \\
 & 1 - \gamma^5) u_j^\lambda) + (\bar{d}_j^\lambda \gamma^\mu (1 - \frac{2}{3}s_w^2 - \gamma^5) d_j^\lambda)] + \frac{ig}{2\sqrt{2}} W_\mu^+ [(\bar{\nu}^\lambda \gamma^\mu (1 + \gamma^5) e^\lambda) + (\bar{u}_j^\lambda \gamma^\mu (1 + \\
 & \gamma^5) C_{\lambda\kappa} d_j^\lambda)] + \frac{ig}{2\sqrt{2}} W_\mu^- [(\bar{e}^\lambda \gamma^\mu (1 + \gamma^5) \nu^\lambda) + (\bar{d}_j^\lambda C_{\lambda\kappa}^\dagger \gamma^\mu (1 + \gamma^5) u_j^\lambda)] + \frac{ig}{2\sqrt{2}} \frac{m_\lambda^2}{M} [-\phi^+ (\bar{\nu}^\lambda (1 - \\
 & \gamma^5) e^\lambda) + \phi^- (\bar{e}^\lambda (1 + \gamma^5) \nu^\lambda)] - \frac{g}{2} \frac{m_\lambda^2}{M} [H (\bar{e}^\lambda e^\lambda) + i\phi^0 (\bar{e}^\lambda \gamma^5 e^\lambda)] + \frac{ig}{2M\sqrt{2}} \phi^+ [-m_\lambda^2 (\bar{u}_j^\lambda C_{\lambda\kappa} (1 - \\
 & \gamma^5) d_j^\lambda) + m_\lambda^2 (\bar{u}_j^\lambda C_{\lambda\kappa} (1 + \gamma^5) u_j^\lambda)] + \frac{ig}{2M\sqrt{2}} \phi^- [m_\lambda^2 (\bar{d}_j^\lambda C_{\lambda\kappa}^\dagger (1 + \gamma^5) u_j^\lambda) - m_\lambda^2 (\bar{d}_j^\lambda C_{\lambda\kappa}^\dagger (1 - \\
 & \gamma^5) u_j^\lambda)] - \frac{g}{2} \frac{m_\lambda^2}{M} H (\bar{u}_j^\lambda u_j^\lambda) - \frac{g}{2} \frac{m_\lambda^2}{M} H (\bar{d}_j^\lambda d_j^\lambda) + \frac{ig}{2} \frac{m_\lambda^2}{M} \phi^0 (\bar{u}_j^\lambda \gamma^5 u_j^\lambda) - \frac{ig}{2} \frac{m_\lambda^2}{M} \phi^0 (\bar{d}_j^\lambda \gamma^5 d_j^\lambda) + \\
 & \bar{X} + (\partial^2 - M^2) X + \bar{X} - (\partial^2 - M^2) X - X^0 (\partial^2 - \frac{M^2}{c_w^2}) X^0 + Y \partial^2 Y + ig_{cw} W_\mu^+ (\partial_\mu \bar{X}^0 X - \\
 & \partial_\mu \bar{X} X^0) + ig_{sw} W_\mu^+ (\partial_\mu \bar{Y} X - \partial_\mu \bar{X} Y) + ig_{cw} W_\mu^- (\partial_\mu \bar{X} X^0 - \partial_\mu \bar{X}^0 X) + \\
 & ig_{sw} W_\mu^- (\partial_\mu \bar{X} X - \partial_\mu \bar{X} Y) + ig_{cw} Z_\mu^0 (\partial_\mu \bar{X} X^0 - \partial_\mu \bar{X} X^0) + ig_{sw} A_\mu (\partial_\mu \bar{X} X^0 - \\
 & \partial_\mu \bar{X} X^0) - \frac{1}{2}gM [\bar{X} X^0 + H + \bar{X} X - H + \frac{1}{c_w} \bar{X}^0 X^0 H] + \frac{1-2c_w^2}{2c_w} igM [\bar{X} X^0 \phi^+ - \\
 & \bar{X} X^0 \phi^-] + \frac{1}{2c_w} igM [\bar{X}^0 X - \phi^+ - \bar{X}^0 X^0 \phi^- + igM s_w [\bar{X}^0 X - \phi^+ - \bar{X}^0 X^0 \phi^-] + \\
 & \frac{1}{2}igM [\bar{X} X^0 \phi^0 - \bar{X} X^0 \phi^0]
 \end{aligned}$$

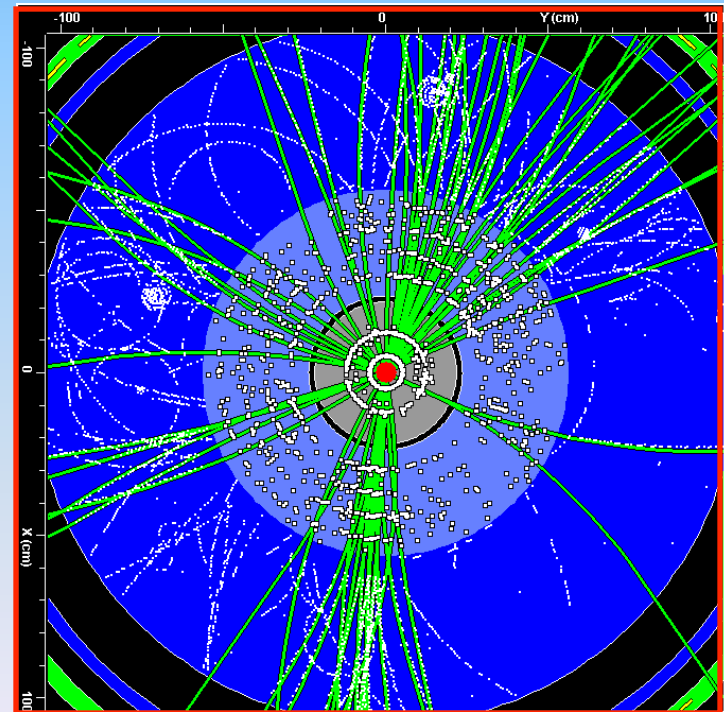
Bladmuziek (J.S. Bach) bladmuziek



Hoe zien die botsingen er nou uit ?



Simulatie top quark productie



Hoe ontdek je nou nieuwe dingen

Nieuwe afstandschaal EN nieuwe detector

Nieuw ?

muon

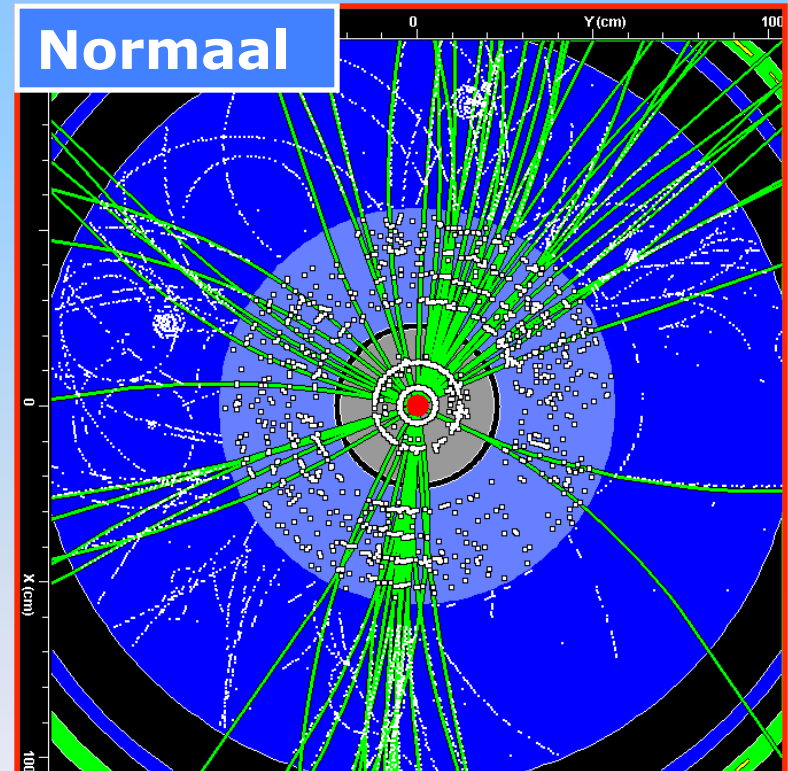
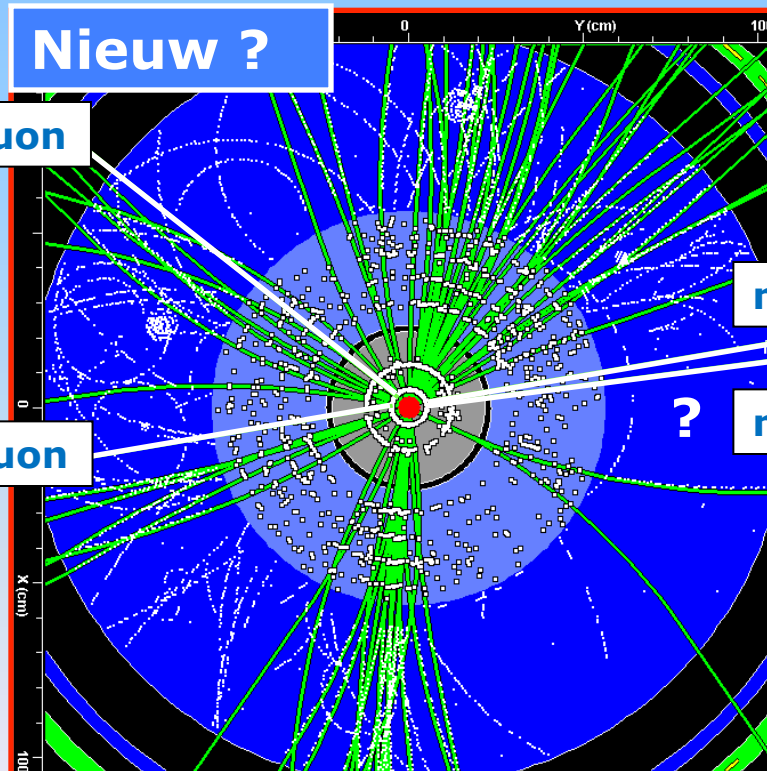
muon

muon

muon

?

Normaal



Higgs \rightarrow ZZ \rightarrow 4 leptonen

klein aantal schitterende botsingen

120.000 Higgs bosonen

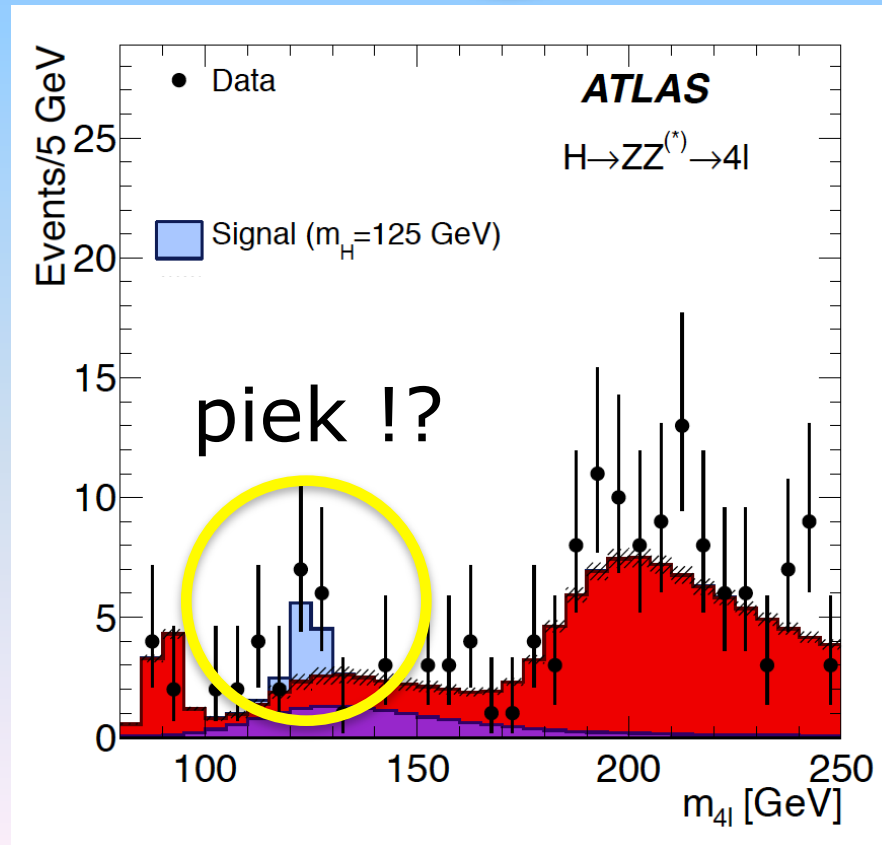
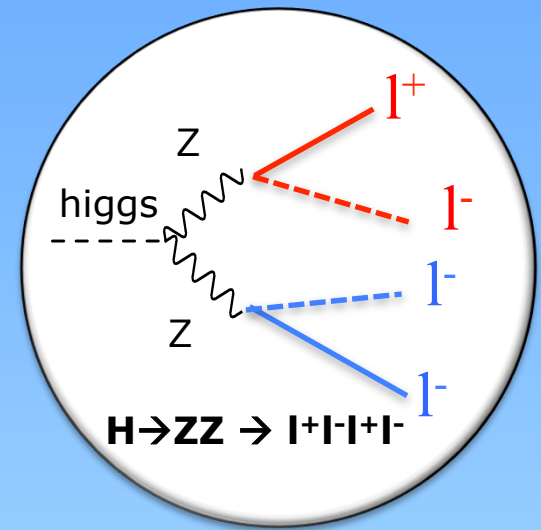


- Maar 1 op de 1000 Higgs bosonen vervalt naar 4 leptonen
- 50% kans dat ATLAS detector ze allemaal goed terugvindt



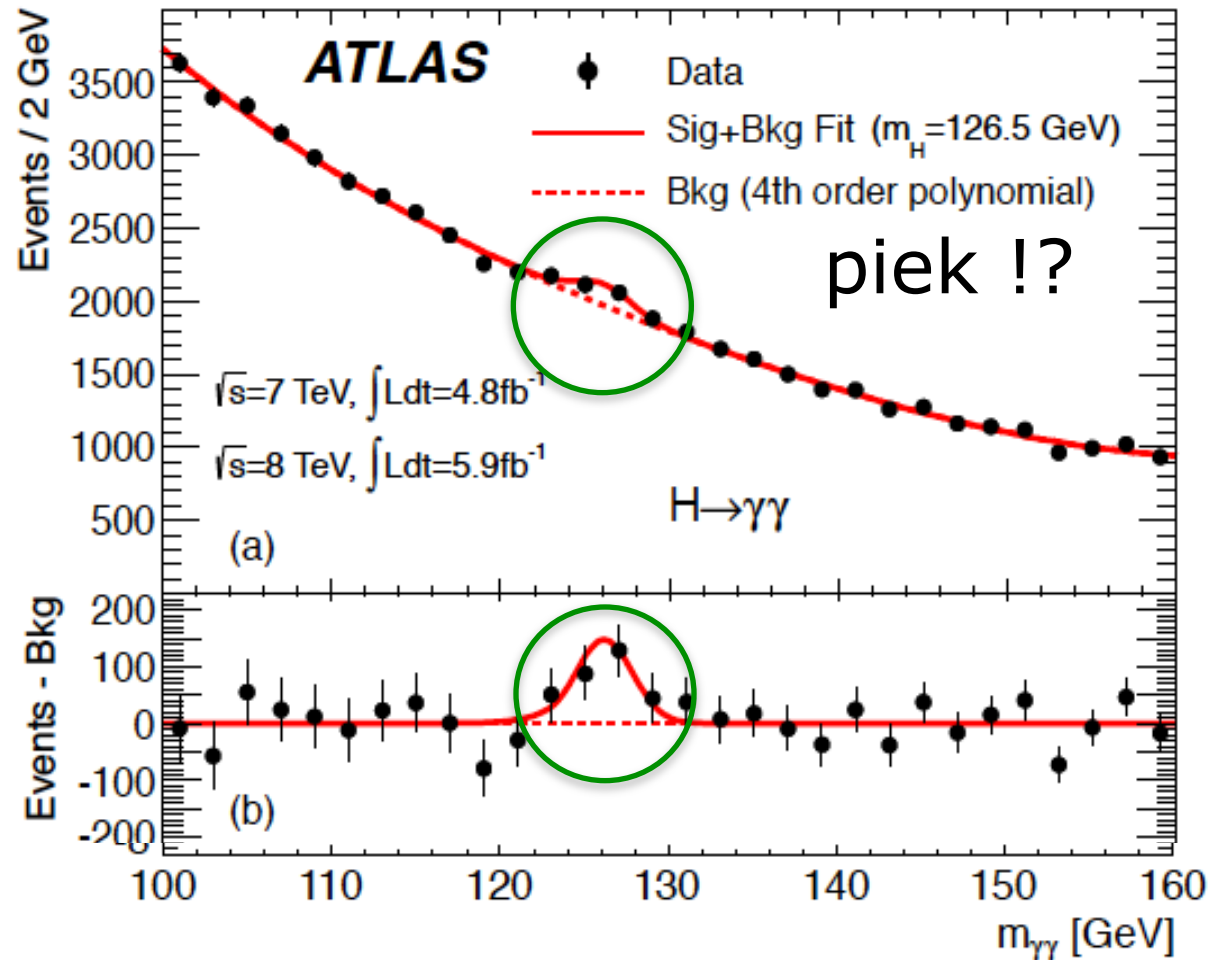
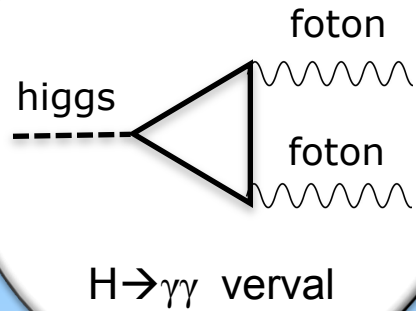
60 (Higgs \rightarrow 4 lepton) events

'overig'	52 events
Met Higgs	68 events



Higgs \rightarrow 2 fotonen

foton



Interpretatie overschot in ATLAS



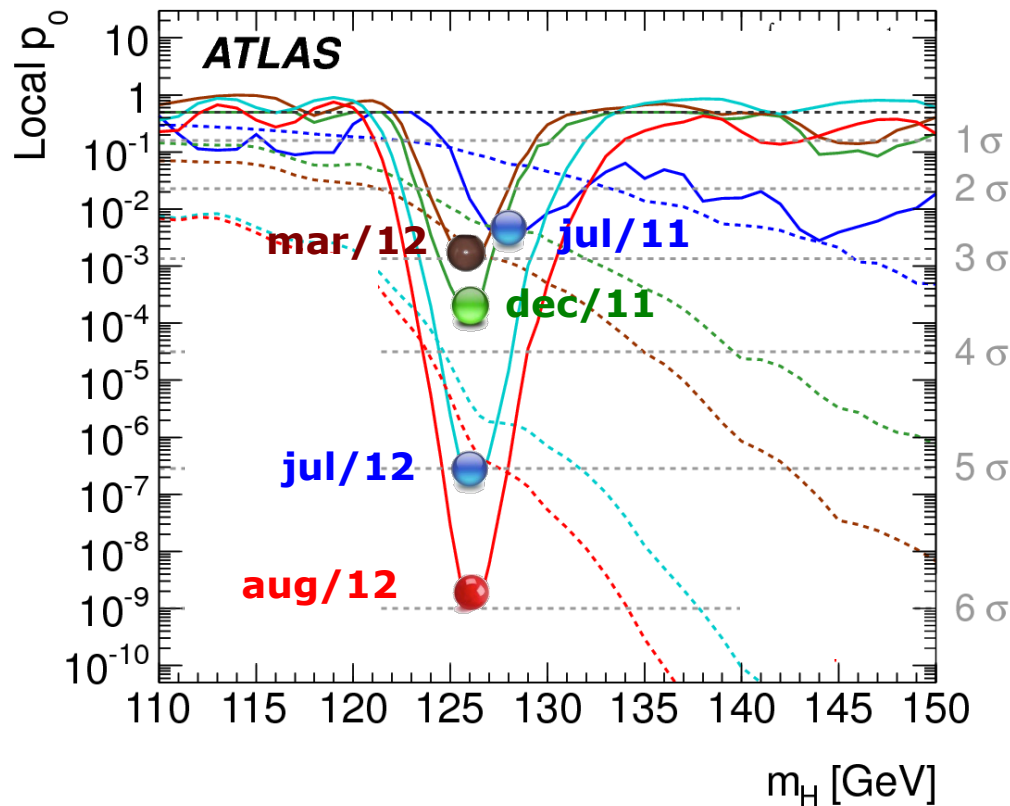
Claim pas ontdekking als:

Kans op toevallige fluctuatie zoals geobserveerd kleiner dan 1 op 1 miljoen

8 keer 6 gooien achter elkaar

Een ontdekking in slow-motion

Time-line higgs ontdekking



EUROPEAN ORGANISATION FOR NUCLEAR RESEARCH (CERN)



CERN-PH-EP-2012-218
Accepted by: Physics Letters B

Observation of a New Particle in the Search for the Standard Model Higgs Boson with the ATLAS Detector at the LHC

The ATLAS Collaboration

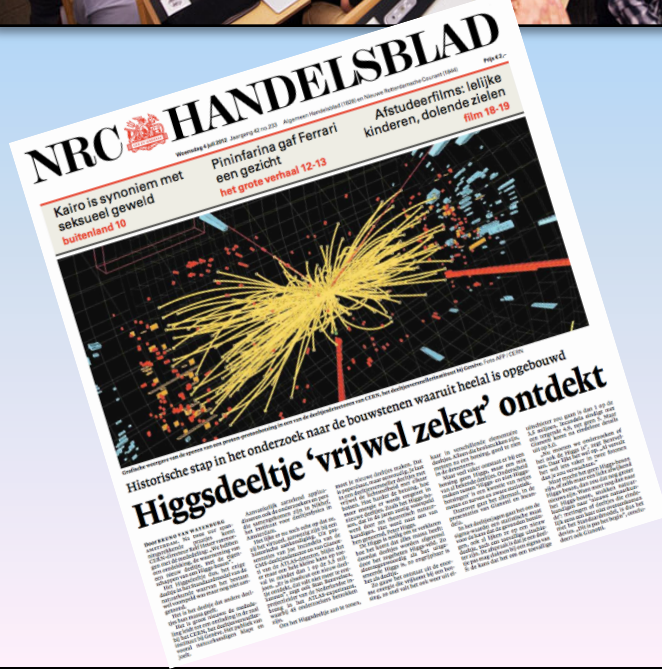
This paper is dedicated to the memory of our ATLAS colleagues who did not live to see the full impact and significance of their contributions to the experiment.

Abstract

A search for the Standard Model Higgs boson in proton-proton collisions with the ATLAS detector at the LHC is presented. The datasets used correspond to integrated luminosities of approximately 4.8 fb^{-1} collected at $\sqrt{s} = 7 \text{ TeV}$ in 2011 and 5.8 fb^{-1} at $\sqrt{s} = 8 \text{ TeV}$ in 2012. Individual searches in the channels $H \rightarrow ZZ^{(0)} \rightarrow 4\ell$, $H \rightarrow \gamma\gamma$ and $H \rightarrow WW^{(0)} \rightarrow \ell\nu\ell\nu$ in the 8 TeV data are combined with previously published results of searches for $H \rightarrow ZZ^{(0)}$, $WW^{(0)}$, $h\bar{h}$ and $\gamma\gamma$ in the 7 TeV data and results from improved analyses of the $H \rightarrow ZZ^{(0)} \rightarrow 4\ell$ and $H \rightarrow \gamma\gamma$ channels in the 7 TeV data. Clear evidence for the production of a neutral boson with a measured mass of $126.0 \pm 0.4 (\text{stat}) \pm 0.4 (\text{sys}) \text{ GeV}$ is presented. This observation, which has a significance of 5.9 standard deviations, corresponding to a background fluctuation probability of 1.7×10^{-4} , is compatible with the production and decay of the Standard Model Higgs boson.

arXiv:1207.7214v2 [hep-ex] 31 Aug 2012

Ontdekking van het Higgs deeltje op 4 juli 2012



Nog een paar 'kleine' dingetjes:

1

Waar is alle anti-materie gebleven ?

2

80% van de materie in het heelal is onbekend
→ donkere materie

3

Higgs boson en quark koppelingen?
(wat is het verband) ?

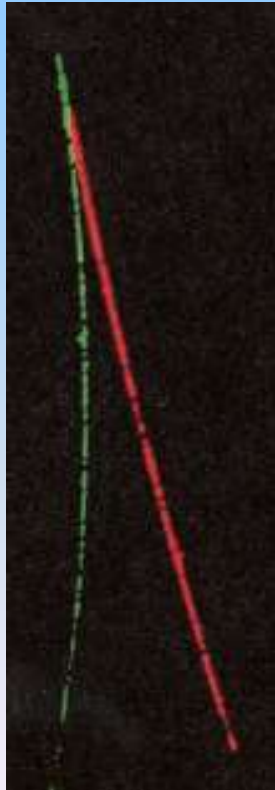
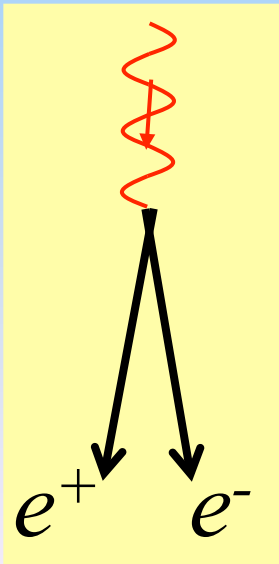
- waarom past gravitatie niet in SM, extra dimensies, waarom 3 families, fermionen fundamentele deeltjes, supersymmetrie, protonen stabiel, quantisatie elektrische lading, exploderende quantumcorrecties, kleine neutrino massa's, string theorie, ...

Higgs en het Universum

Higgs: Deeltje? Veld?

Deeltje

Foton (lichtdeeltje)



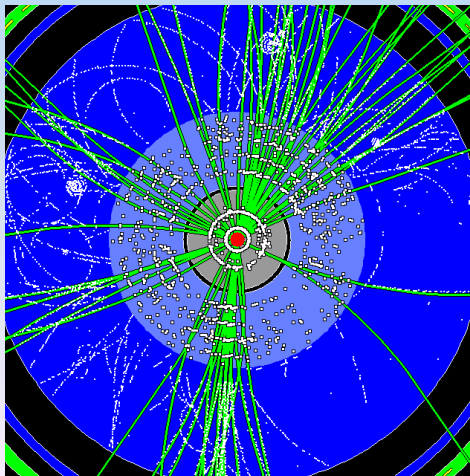
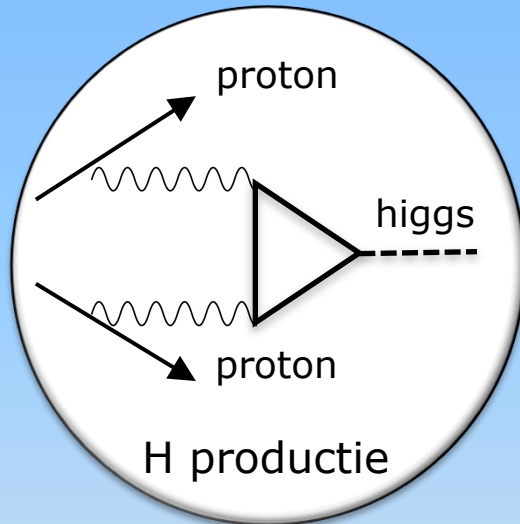
Veld

Elektrisch veld

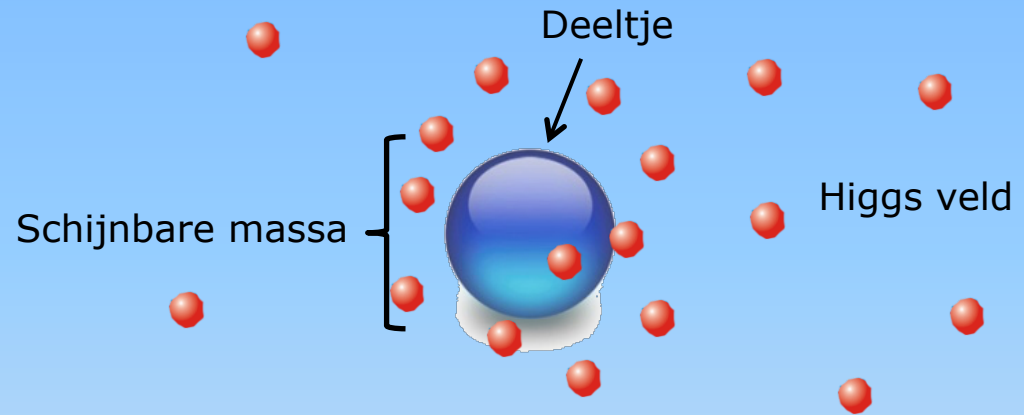


Waarom is de Higgs zo bijzonder?

Deeltje



Veld



Alsof de vis het water heeft ontdekt...

Het Higgs veld – kun je het zien?

Het Higgs veld is uniform – als het meer in deze foto

Het maken van een Higgs deeltje is als een rimpeling op het meer

De theorie van Higgs:

als het veld bestaat is er
ook een bijbehorend deeltje



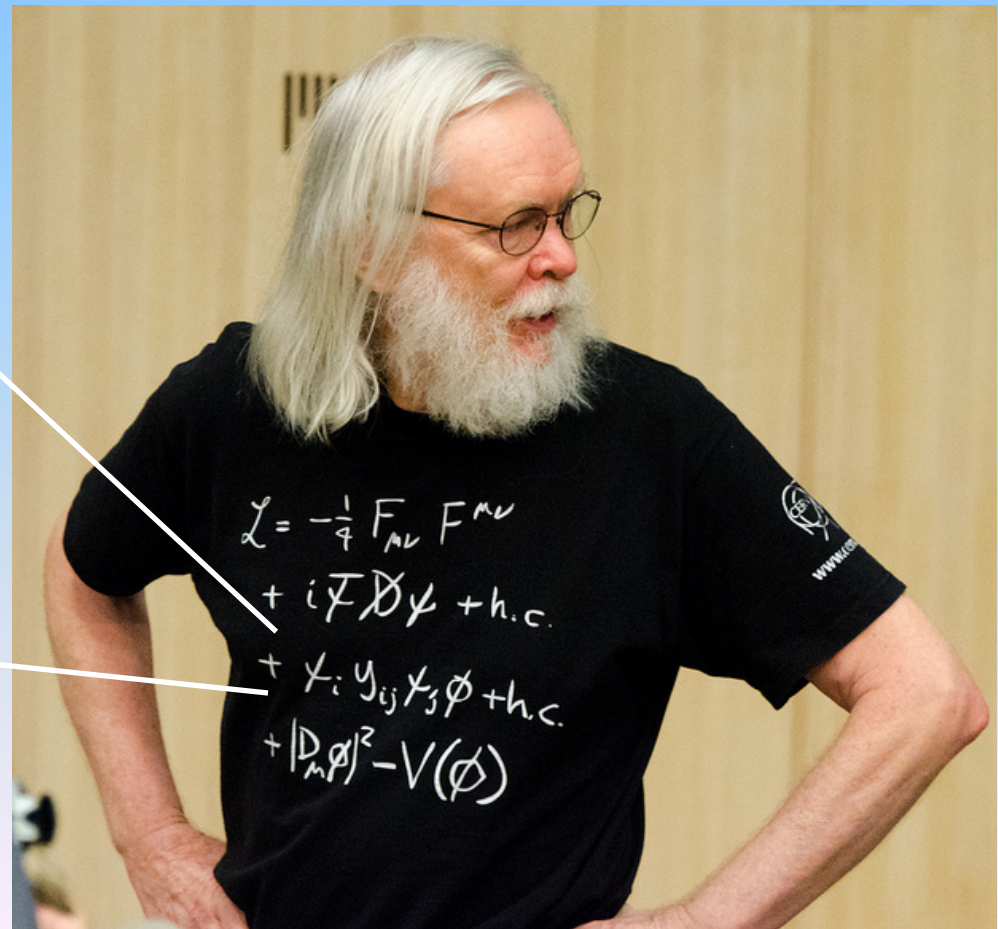
Wat is massa ?? Anno 1964

Massa van elementaire deeltjes komt door
“wrijving” met alomtegenwoordig ‘Higgs veld’

$$m: \psi\psi H$$



$$\psi_i y_{ij} \psi_j \phi$$



Nee, dit is niet Pierre, dit is John Ellis

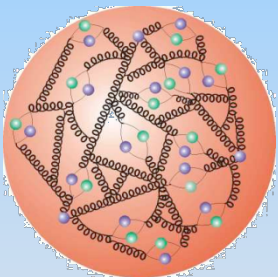
Wat is massa ?

Massa van elementaire deeltjes komt door

“wrijving” met alomtegenwoordig ‘Higgs veld’

Einstein:

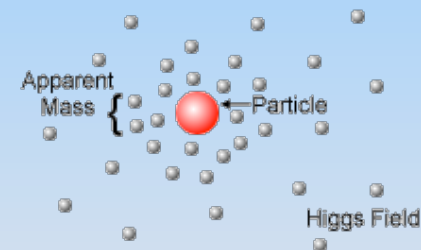
proton massa =
bindings energie



Elementair deeltje
in lege ruimte:
geen rust-energie=
geen massa



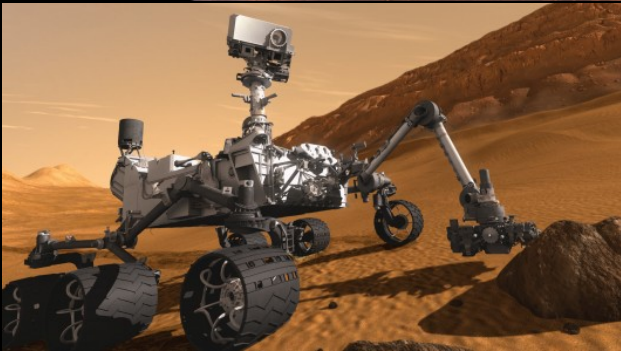
Elementair deeltje
in Higgs veld:
rust energie =
interactie met Higgs veld
= massa



Revolutionair – met spectaculaire consequenties :

de ruimte is *niet* leeg, maar gevuld met soort ‘ether’

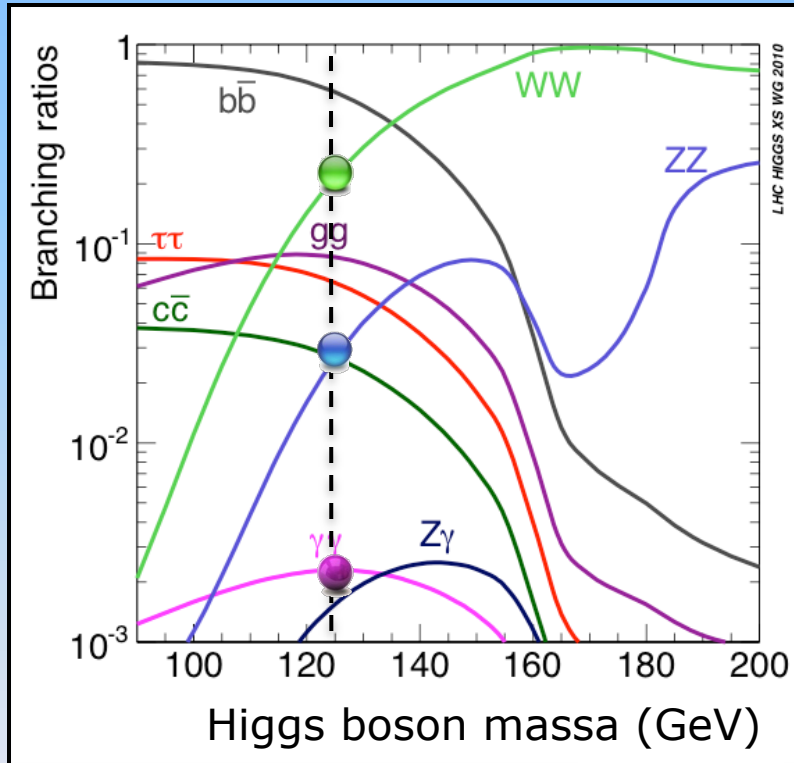
Als de marslander
leven vindt ...



... heb je 1000
nieuwe vragen

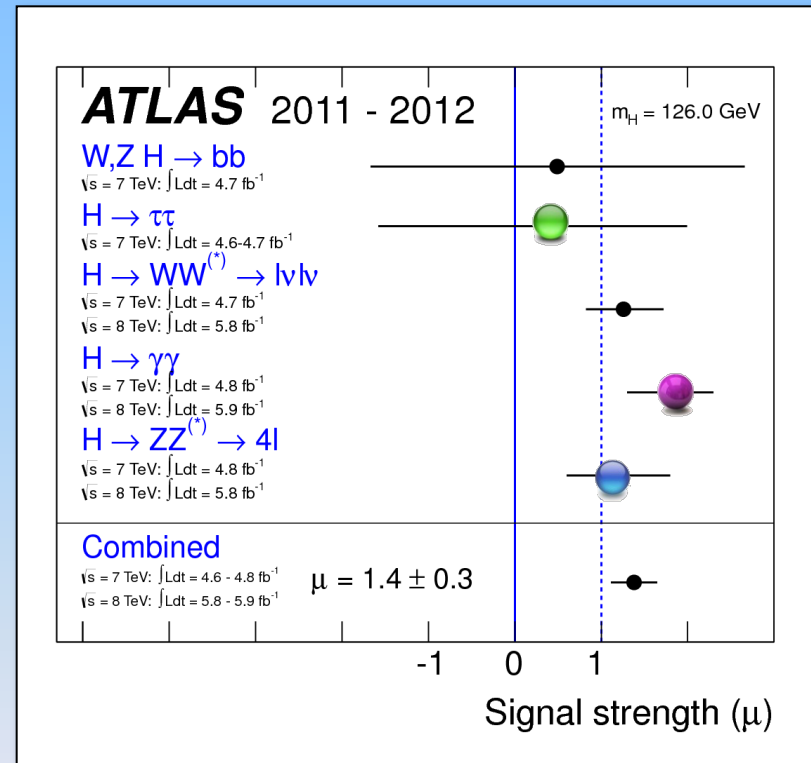
Kloppen Higgs' eigenschappen ?

$m_h = 125 \text{ GeV}$



voorspelling

Standaard Model



meting

Kloppen Higgs' eigenschappen ?

Zijn er nog meer soorten Higgs deeltjes ?

$$\begin{aligned}\mathcal{L}_{\text{susy}} = & -\frac{g^2}{8}(H_u^\dagger \sigma^a H_u + H_d^\dagger \sigma^a H_d)^2 - \frac{g'^2}{8}(H_u^\dagger H_u - H_d^\dagger H_d)^2 \\ & + \lambda_{ij}^u H_u^T \epsilon \bar{u}_i q_j - \lambda_{ij}^d H_d^T \epsilon \bar{d}_i q_j - \lambda_{ij}^e H_e^T \epsilon \bar{e}_i \ell_j \\ & - \frac{H_u^\dagger}{\sqrt{2}}(g\sigma^a \tilde{W}^a + g'\tilde{B})\tilde{H}_u - \frac{H_d^\dagger}{\sqrt{2}}(g\sigma^a \tilde{W}^a - g'\tilde{B})\tilde{H}_d + \text{h.c.}\end{aligned}$$

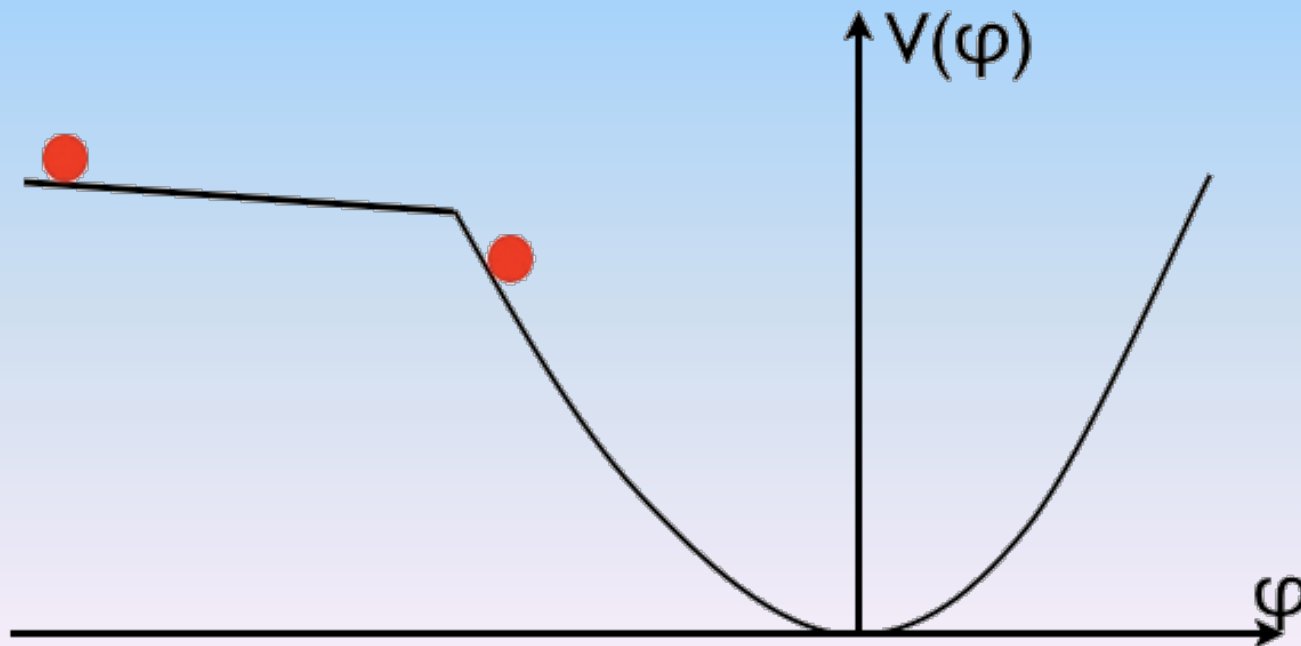
Een stap verder...



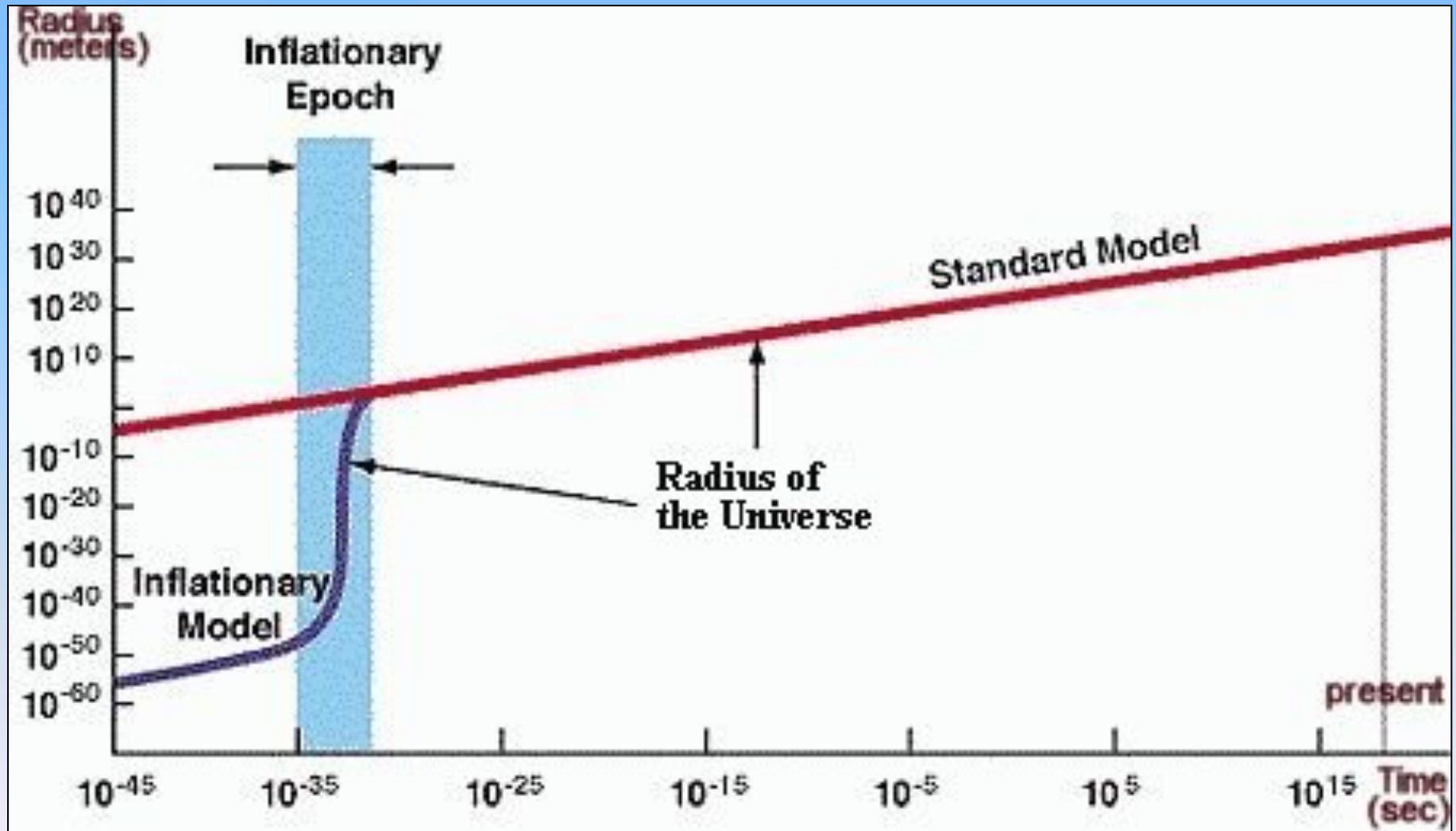
Een ander veld: de Big Bang

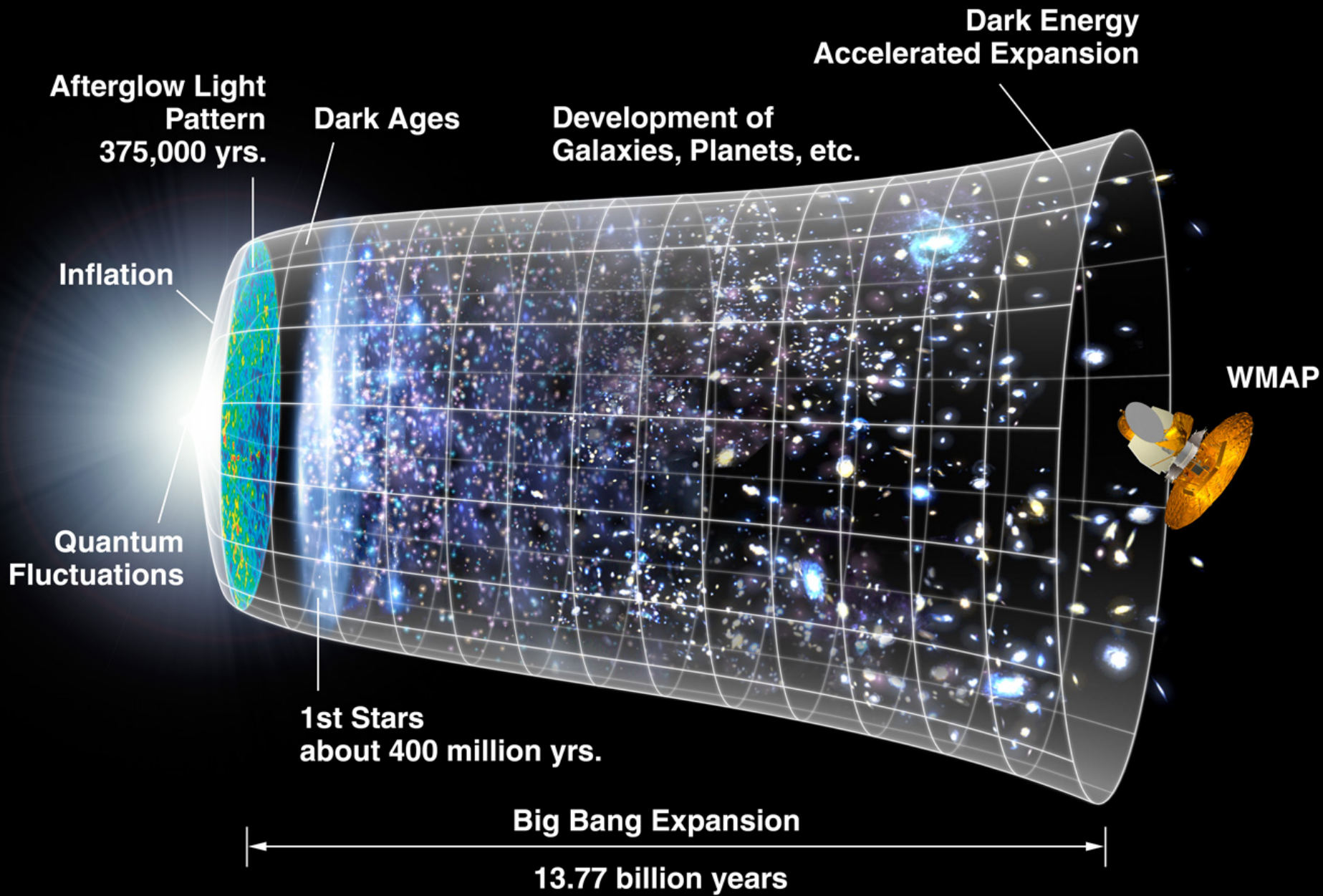
Een van Higgs' eigenschappen komt overeen met een ander veld...

Het *inflaton* dat de het heelal opblies tussen 10^{-33} en 10^{-32} seconde na de Big Bang



Een ander veld: de Big Bang





Higgs:

1

Een Higgs deeltje gevonden in Geneve

2

Heelal gevuld met Higgs veld

3

Kloppen zijn eigenschappen?

Nog een paar 'kleine' dingetjes:

4

80% van de materie in het heelal is onbekend
→ donkere materie

5

Waar is alle anti-materie gebleven ?

6

Higgs boson (hoe krijgen deeltjes massa) ?

- waarom past gravitatie niet in SM, extra dimensies, waarom 3 families, fermionen fundamentele deeltjes, supersymmetrie, protonen stabiel, quantisatie elektrische lading, exploderende quantumcorrecties, kleine neutrino massa's, string theorie, ...

EINDE

Wat is het nut van dit onderzoek?

Fundamenteel onderzoek

- Kan leiden tot verrassingen,
 - Soms zelfs nuttig...
 - Maar per definitie van te voren onbekend



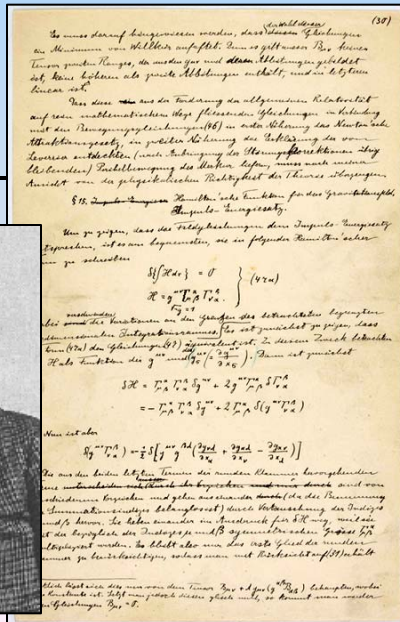
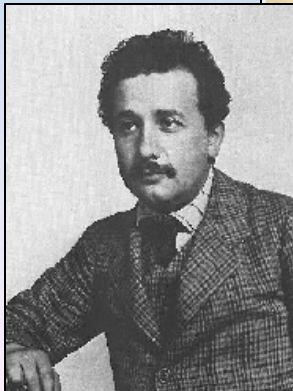
“Oneindig veel toegepast onderzoek aan de kaars zou ons nooit het elektrische licht hebben gebracht.”



Wat is het nut van dit onderzoek?

Fundamenteel onderzoek

- Kan leiden tot verrassingen,
 - Soms zelfs nuttig...
 - Maar per definitie van te voren onbekend



“Zonder relativiteitstheorie zit de GPS er 10km/dag naast!”



Wat is het nut van dit onderzoek?

Fundamenteel onderzoek

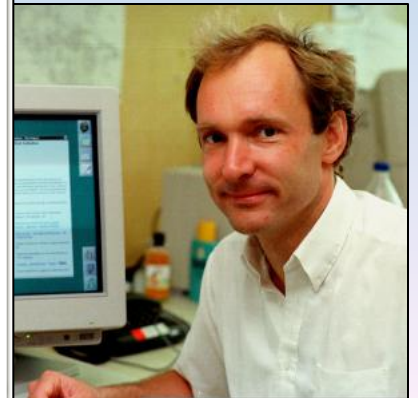
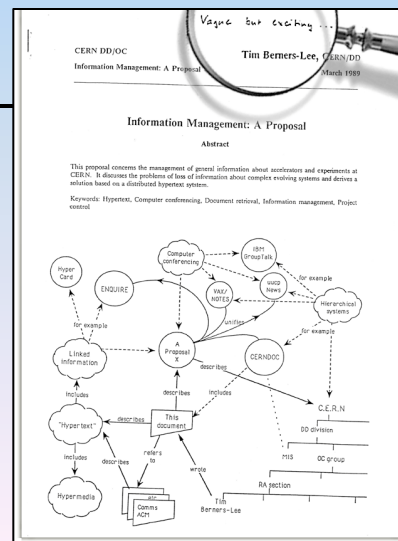
– Heeft nuttige bij-effecten

- Medische toepassingen
- Internet
- Opleiden van onderzoekers voor de maatschappij (Philips, ASML, etc, etc)

PET scan

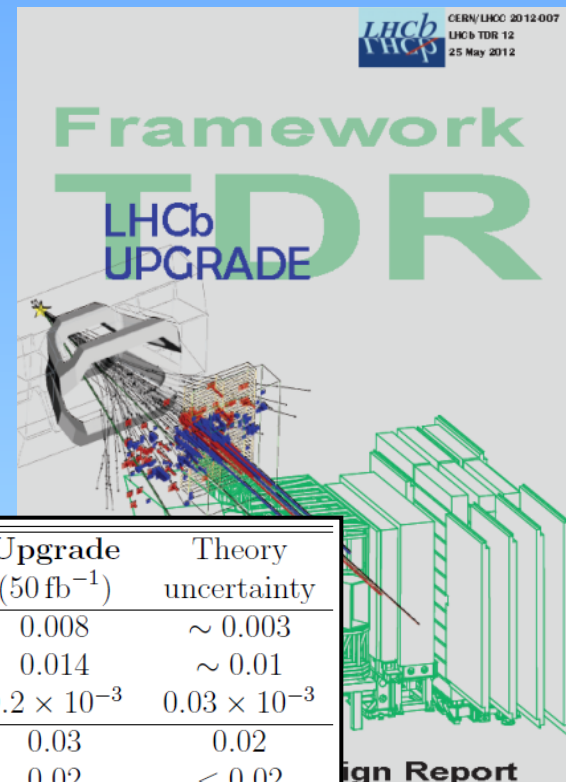


WWW



LHCb: Hoe verder?

- Preciezer! → Upgrade (2018)



Type	Observable	Current precision	LHCb 2018	Upgrade (50 fb ⁻¹)	Theory uncertainty
B_s^0 mixing	$2\beta_s (B_s^0 \rightarrow J/\psi \phi)$	0.10 [30]	0.025	0.008	~ 0.003
	$2\beta_s (B_s^0 \rightarrow J/\psi f_0(980))$	0.17 [32]	0.045	0.014	~ 0.01
	a_{sl}^s	6.4×10^{-3} [63]	0.6×10^{-3}	0.2×10^{-3}	0.03×10^{-3}
Gluonic penguins	$2\beta_s^{\text{eff}} (B_s^0 \rightarrow \phi \phi)$	—	0.17	0.03	0.02
	$2\beta_s^{\text{eff}} (B_s^0 \rightarrow K^{*0} \bar{K}^{*0})$	—	0.13	0.02	< 0.02
	$2\beta_s^{\text{eff}} (B^0 \rightarrow \phi K_S^0)$	0.17 [63]	0.30	0.05	0.02
Right-handed currents	$2\beta_s^{\text{eff}} (B_s^0 \rightarrow \phi \gamma)$	—	0.09	0.02	< 0.01
	$\tau^{\text{eff}} (B_s^0 \rightarrow \phi \gamma) / \tau_{B_s^0}$	—	5 %	1 %	0.2 %
Electroweak penguins	$S_3(B^0 \rightarrow K^{*0} \mu^+ \mu^-; 1 < q^2 < 6 \text{ GeV}^2/c^4)$	0.08 [64]	0.025	0.008	0.02
	$s_0 A_{\text{FB}}(B^0 \rightarrow K^{*0} \mu^+ \mu^-)$	25 % [64]	6 %	2 %	7 %
	$A_I(K \mu^+ \mu^-; 1 < q^2 < 6 \text{ GeV}^2/c^4)$	0.25 [9]	0.08	0.025	~ 0.02
	$\mathcal{B}(B^+ \rightarrow \pi^+ \mu^+ \mu^-) / \mathcal{B}(B^+ \rightarrow K^+ \mu^+ \mu^-)$	25 % [29]	8 %	2.5 %	$\sim 10 \%$
Higgs penguins	$\mathcal{B}(B_s^0 \rightarrow \mu^+ \mu^-)$	1.5×10^{-9} [4]	0.5×10^{-9}	0.15×10^{-9}	0.3×10^{-9}
	$\mathcal{B}(B^0 \rightarrow \mu^+ \mu^-) / \mathcal{B}(B_s^0 \rightarrow \mu^+ \mu^-)$	—	$\sim 100 \%$	$\sim 35 \%$	$\sim 5 \%$
Unitarity triangle angles	$\gamma (B \rightarrow D^{(*)} K^{(*)})$	$\sim 10\text{--}12^\circ$ [40, 41]	4°	0.9°	negligible
	$\gamma (B_s^0 \rightarrow D_s K)$	—	11°	2.0°	negligible
	$\beta (B^0 \rightarrow J/\psi K_S^0)$	0.8° [63]	0.6°	0.2°	negligible
Charm	A_Γ	2.3×10^{-3} [63]	0.40×10^{-3}	0.07×10^{-3}	—
CP violation	ΔA_{CP}	2.1×10^{-3} [8]	0.65×10^{-3}	0.12×10^{-3}	—

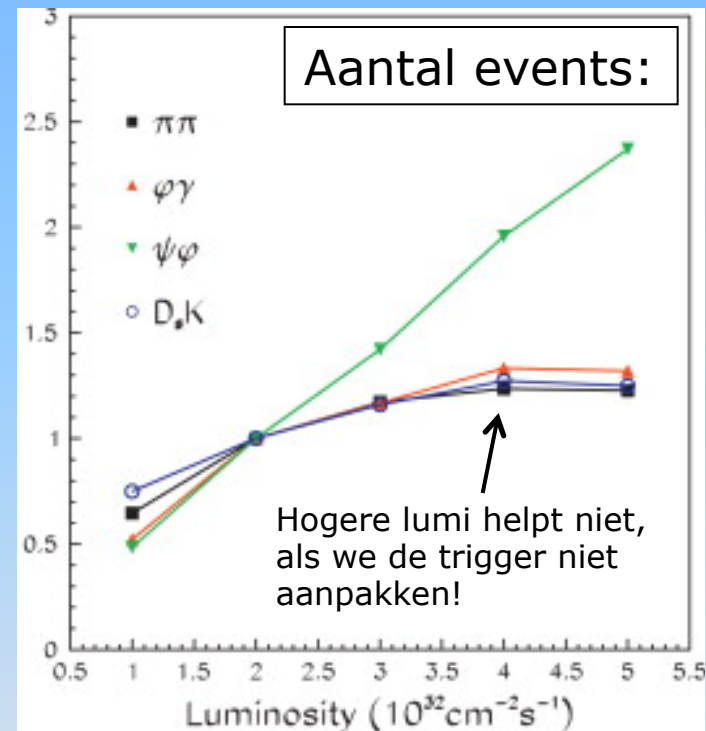
LHCb: Upgrade - Trigger

- Precisie meting → Meer luminositeit
- Meer luminositeit → ~~Hogere trigger rate~~
- Meer luminositeit → Hogere threshold
- Hogere threshold → ~~Minder events ...~~

Oplossing:

Slimmere trigger → *alle* events naar CPU farm:

➤ Readout @40 MHz, niet 1 MHz ...

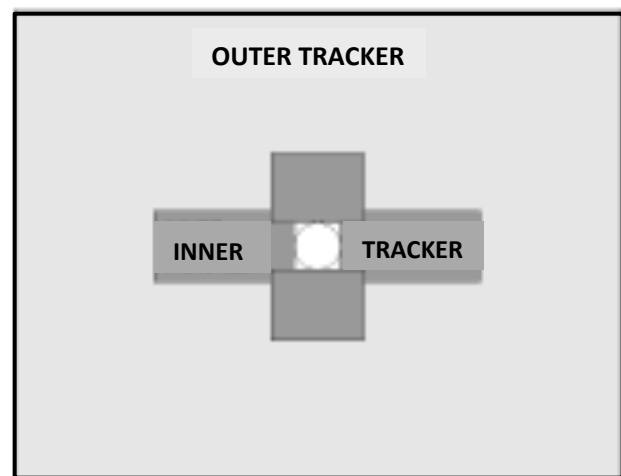
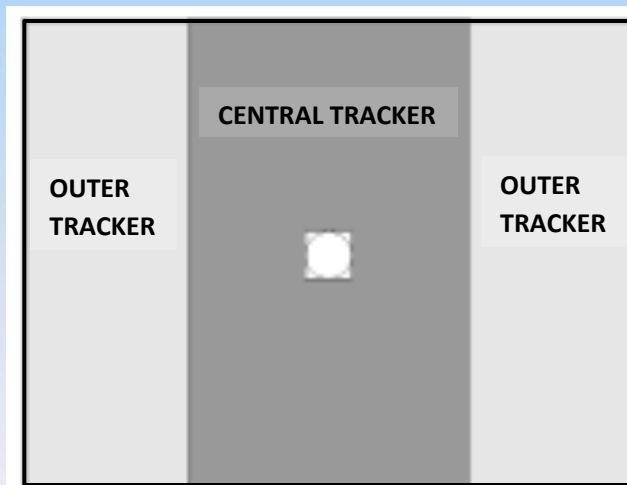


LHCb: Upgrade - Detectors

- Precisie meting → Meer luminositeit
- Meer luminositeit → Hogere particle rate
- Hogere particle rate → **Occupancy te hoog** in de Outer Tracker

➤ 2 opties:

Beslissing in 2013



**1) Inner Tracker wordt Scintil. Fiber,
Outer Tracker wordt minder**

**2) Inner Tracker wordt groter,
Outer Tracker wordt kleiner**